

Tamari,  
m-Tamari,  
(a,b)-Tamari,  
and beyond ...



joint work with  
Louis-François Préville-Ratelle  
U. Talca, Chile

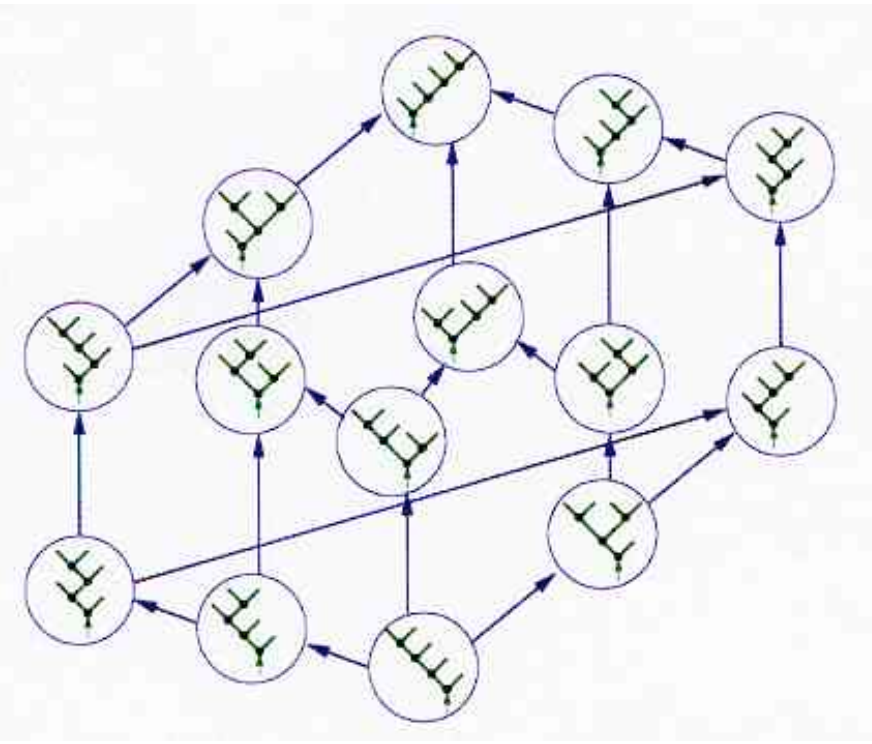
Oberwolfach  
6 March 2014

Xavier Viennot  
LaBRI, CNRS, Bordeaux  
(visiting U. Talca)

Introduction

Tamari

m-Tamari



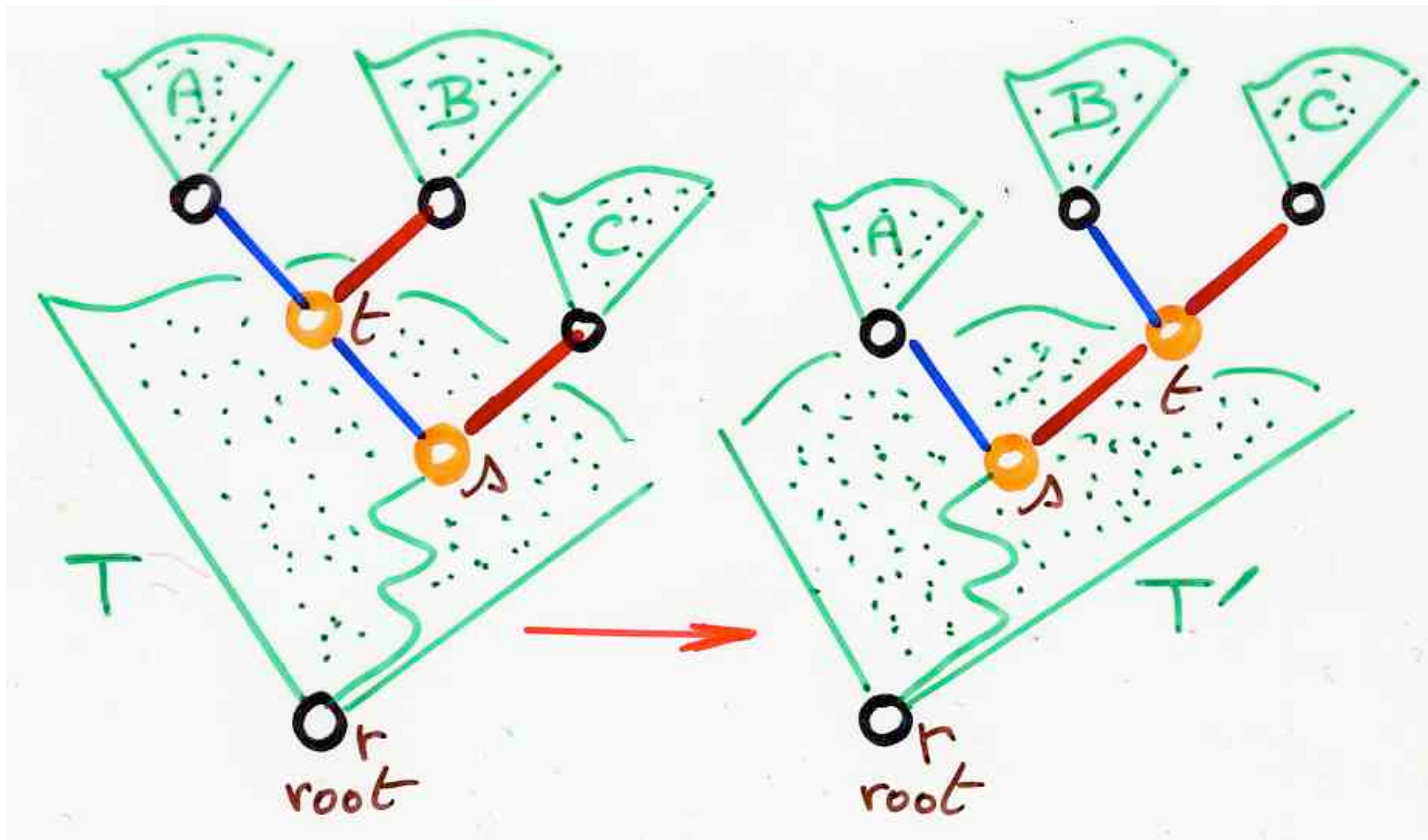
## Tamari lattice



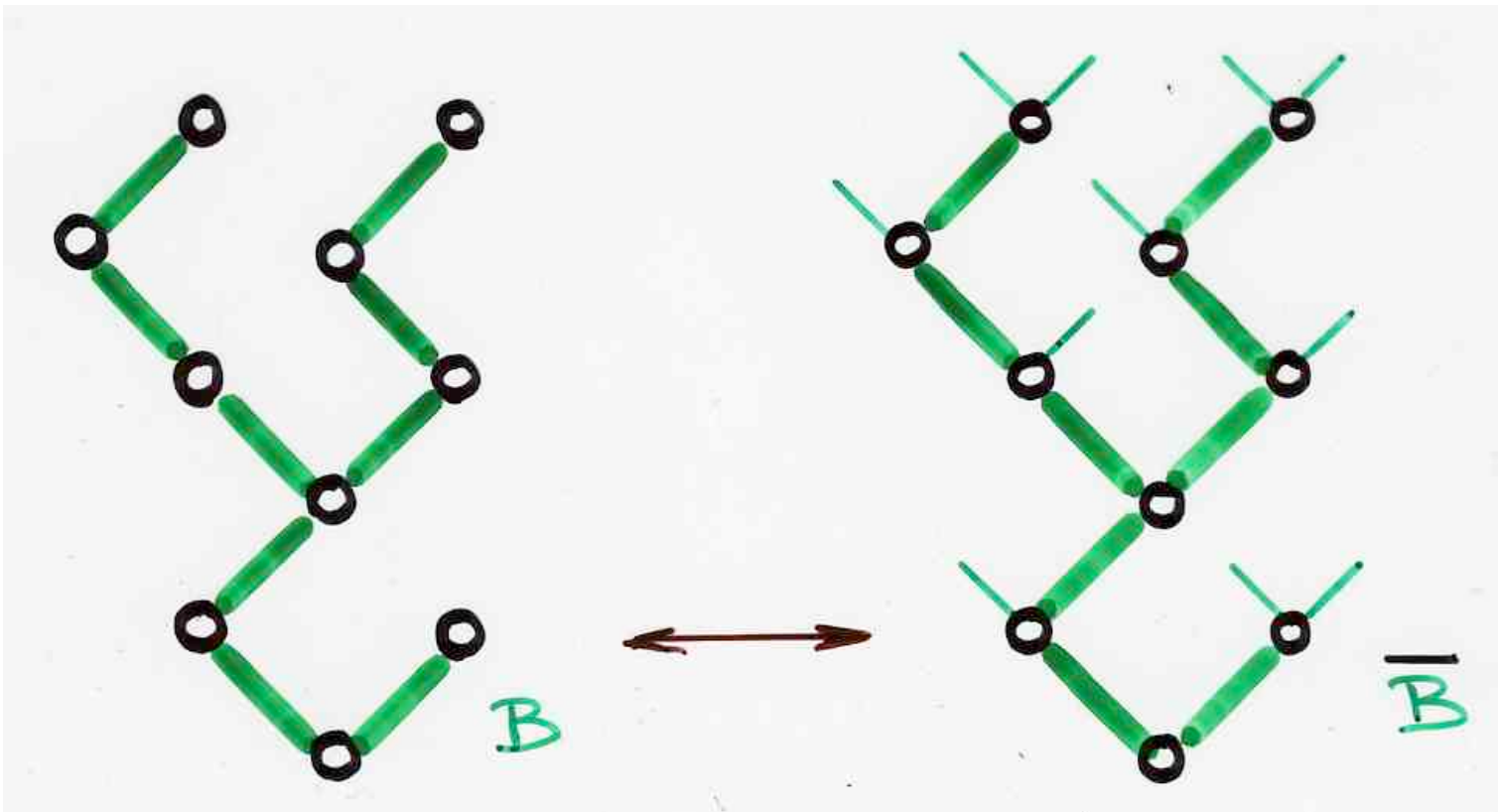
$$C_4 = 14$$

Catalan

Dov Tamari (1951) thèse Sorbone  
 "Monoides préordonnés et chaînes de Malcev"

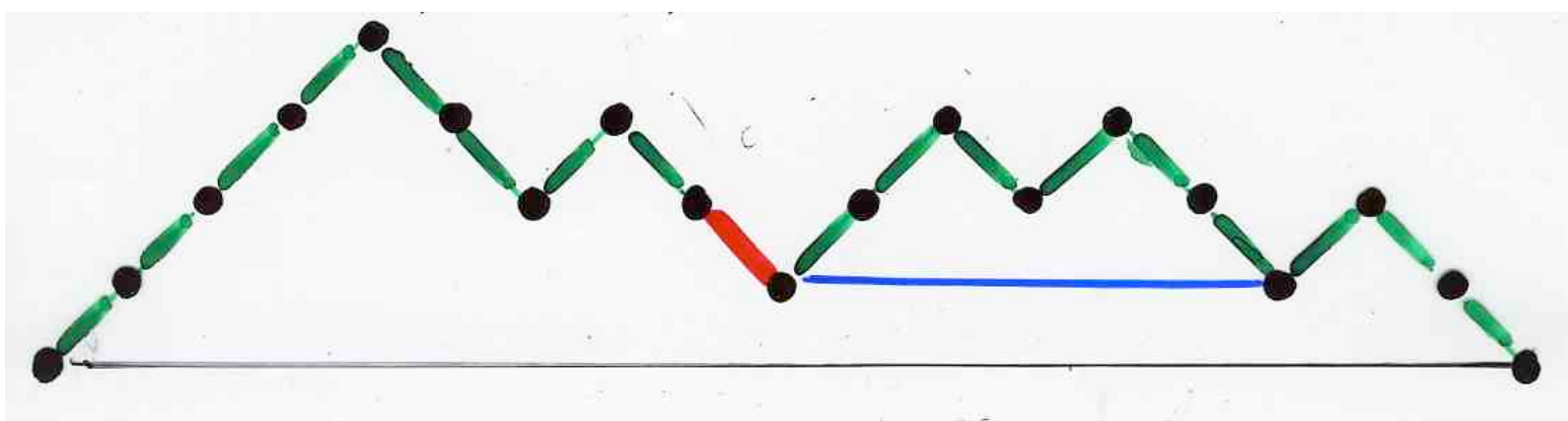


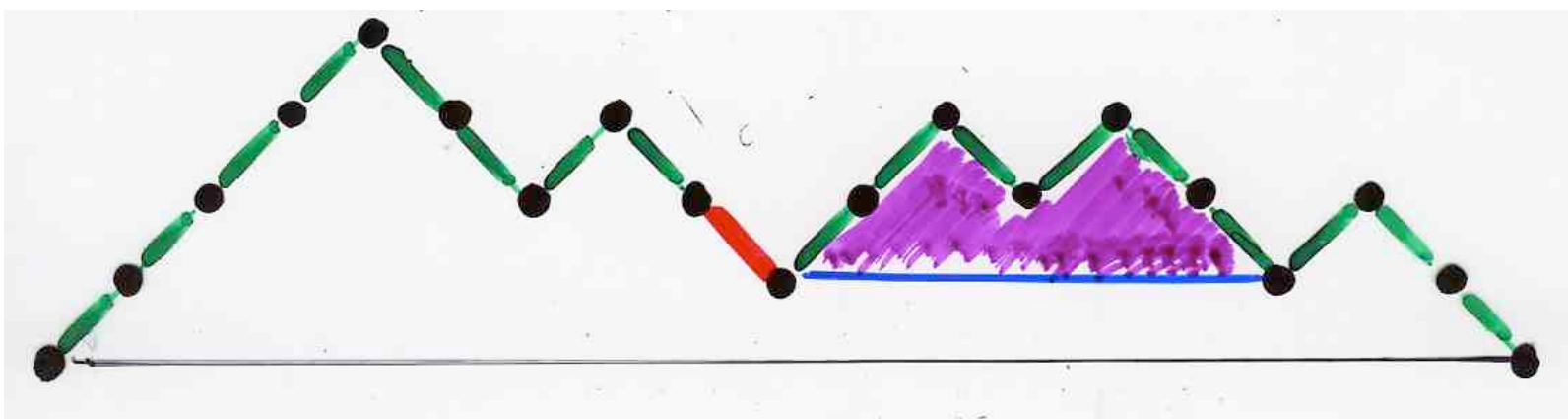
Rotation in a binary tree:  
 the covering relation in the  
 Tamari lattice



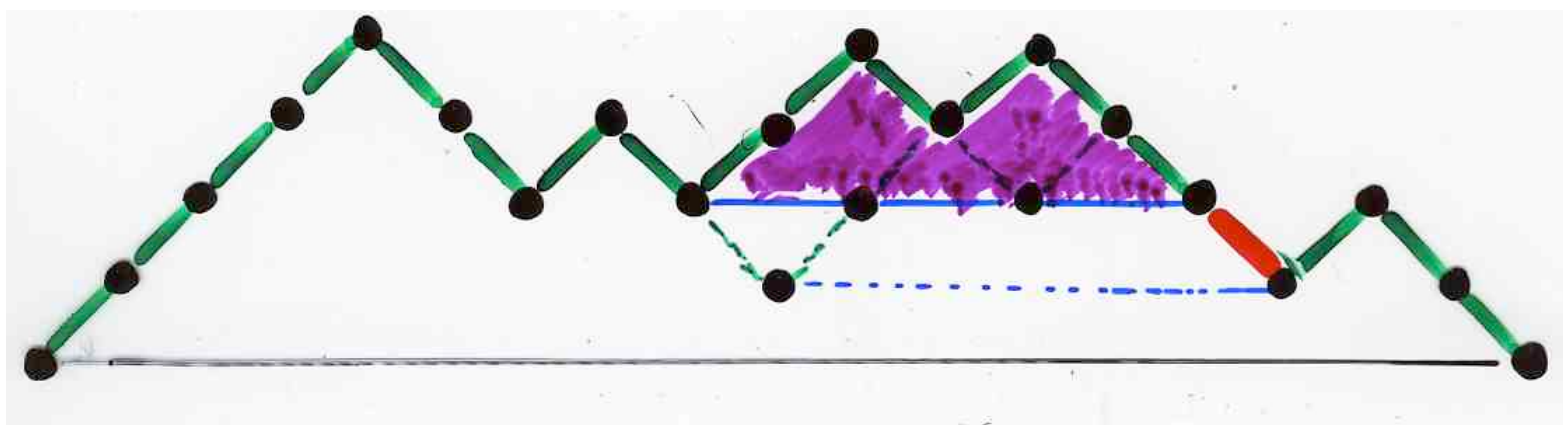
a binary tree  $B$   
and its associated ~~complete~~ <sup>(full)</sup> binary tree  $\bar{B}$

the Tamari lattice  
in term  
of Dyck paths

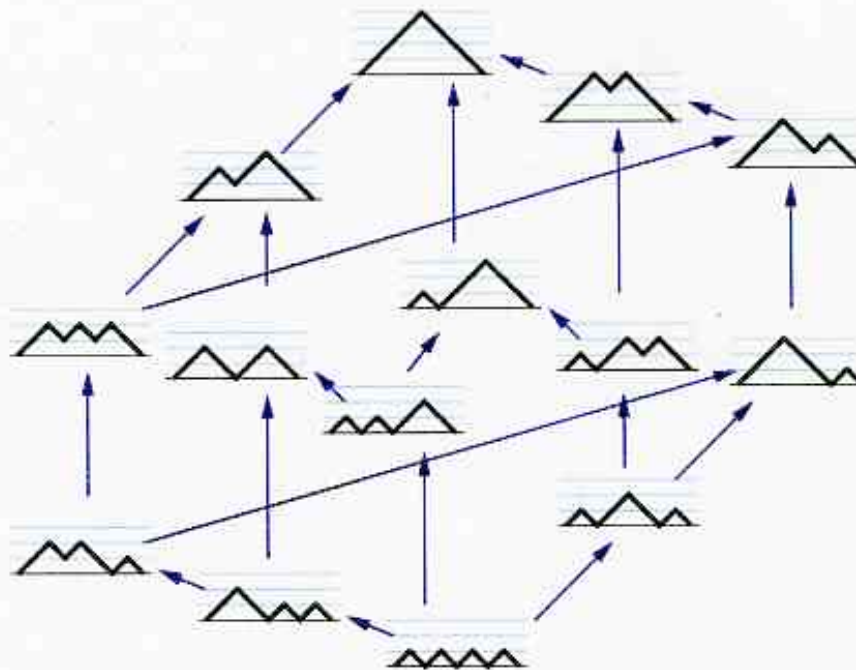
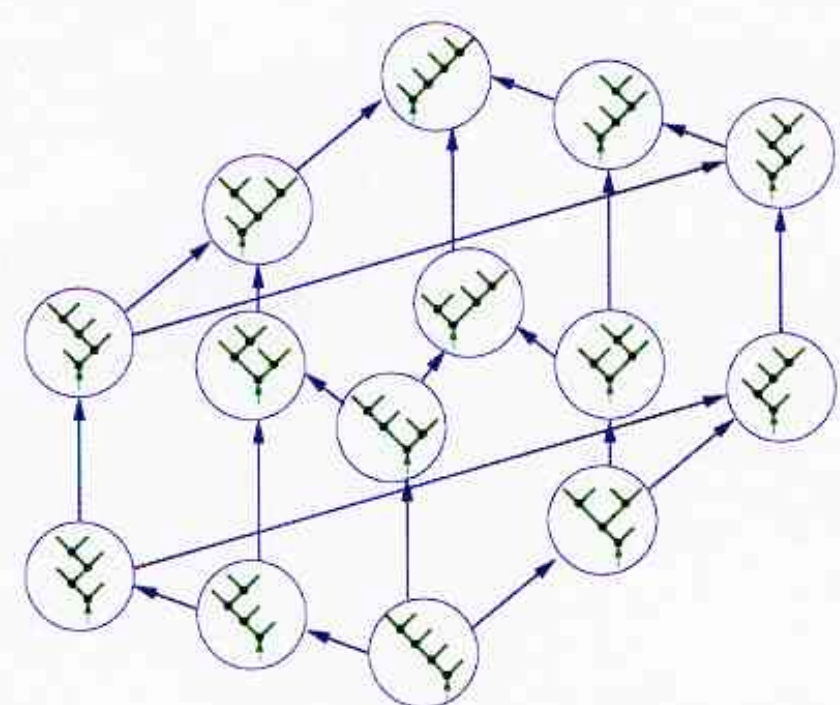




factor Dyck primitif

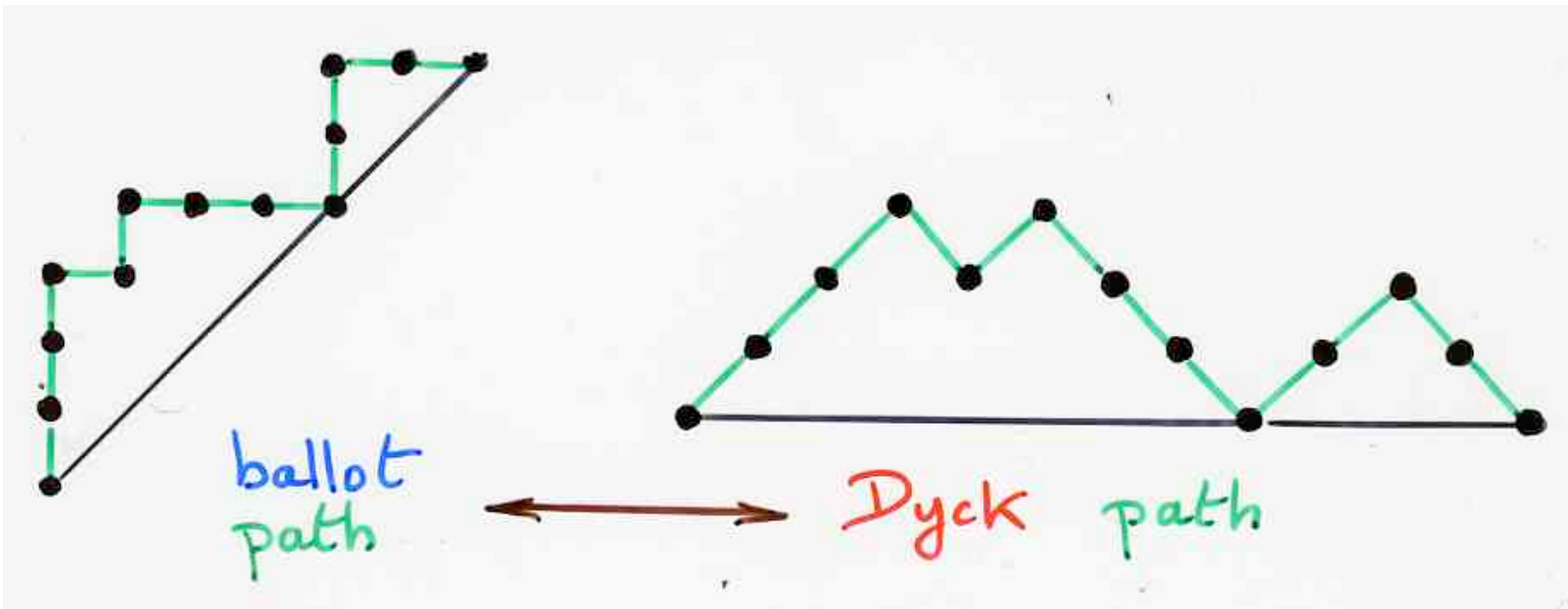


factor Dyck primitif

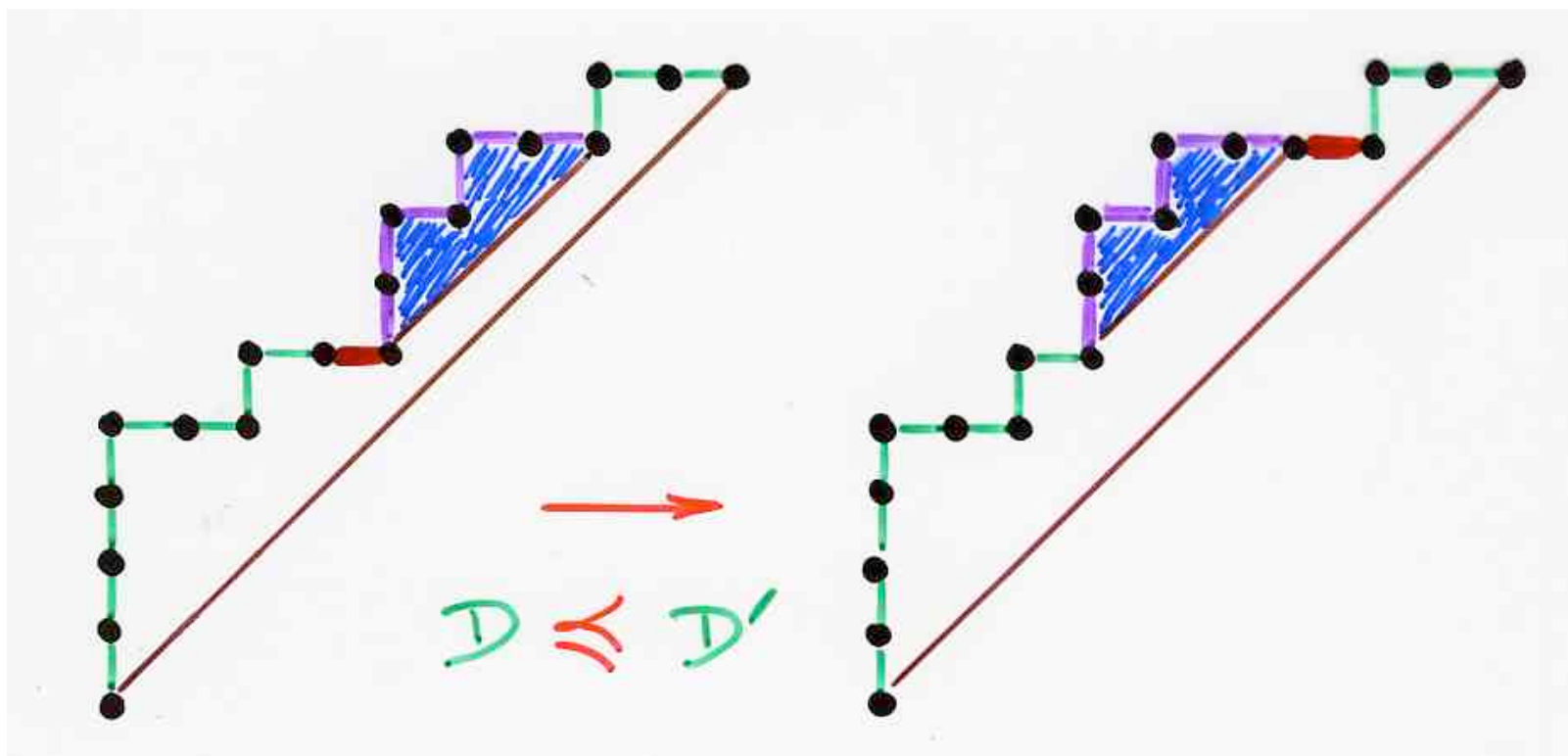


$$C_4 = 14$$

Catalan



vocabulary: *ballot* *Dyck* *path* *path*



the Tamari covering relation  
for ballot (Dyck) path

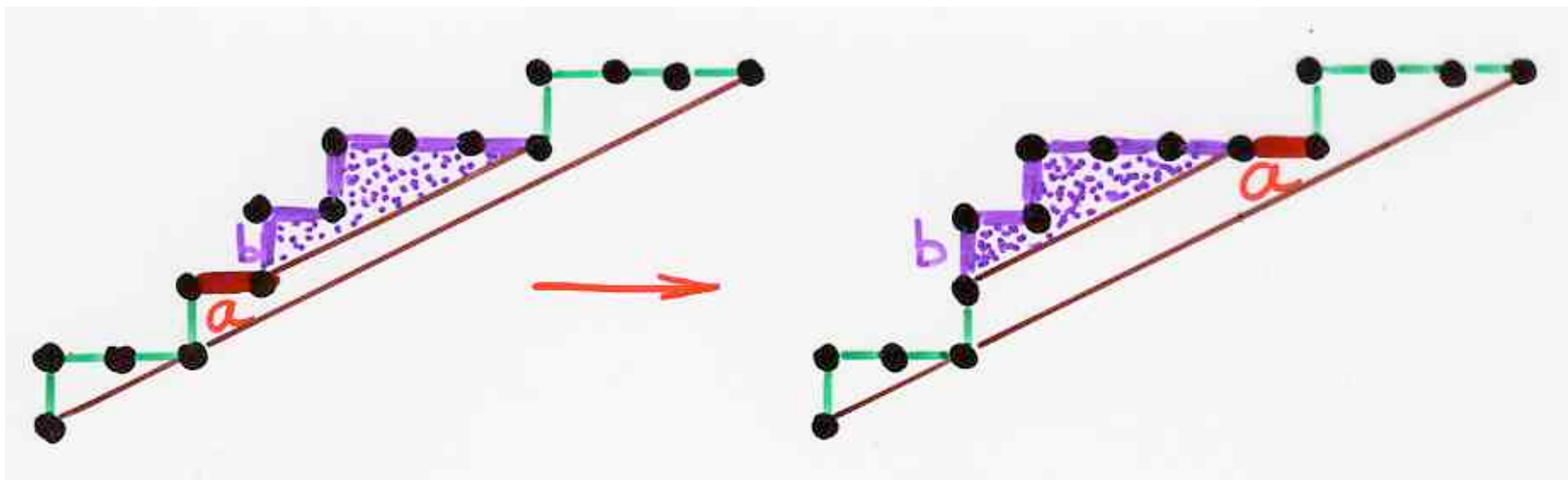
diagonal coinvariant spaces

higher diagonal coinvariant spaces

F. Bergeron (2008) introduced the  $m$ -Tamari lattice

dimension  $\frac{1}{(m+1)^n + 1} \binom{(m+1)n + 1}{mn}$

$m$ -ballot paths



the *covering* relation in the  
 *$m$ -Tamari* lattice  
( $m = 2$ )

diagonal coinvariant spaces

higher diagonal coinvariant spaces

F. Bergeron (2008) introduced the  $m$ -Tamari lattice

M. Bousquet-Mélou, E. Fasy, L.-F. Préville-Ratelle (2011)

nb of intervals  $\geq$   $m$ -Tamari lattices

$$\frac{m+1}{n(mn+1)} \binom{(m+1)^2 n + m}{n-1} \quad \text{F. Bergeron}$$

M. Bousquet-Mélou, G. Chapuy, L.-F. Préville-Ratelle (2011)

nb of labelled intervals  $(m+1)^n (mn+1)^{n-2}$

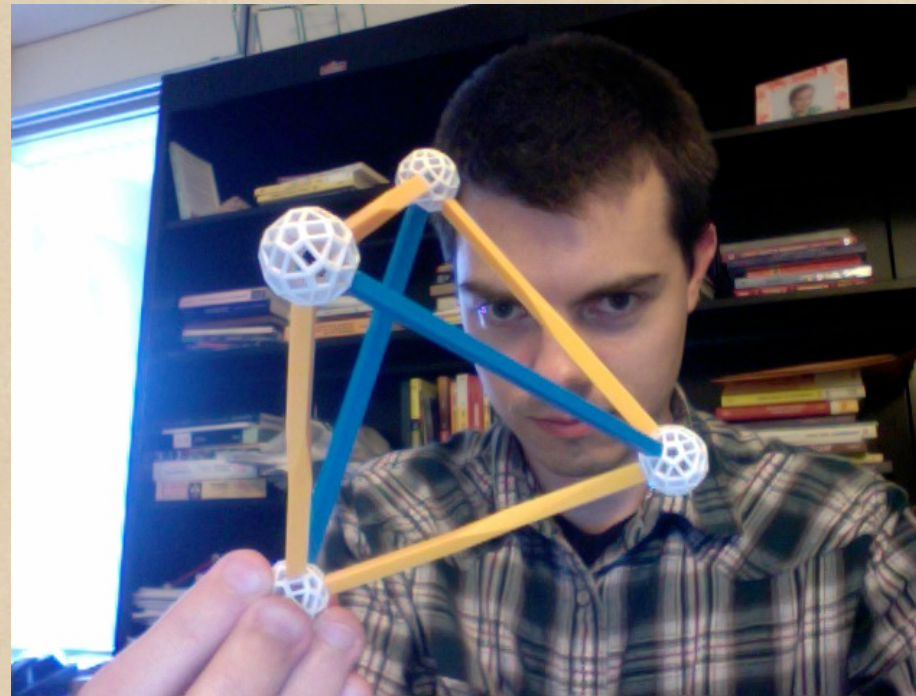


Tamari

Mireille Bousquet-Mélou



# Rational Catalan Combinatorics



# Rational Catalan Combinatorics

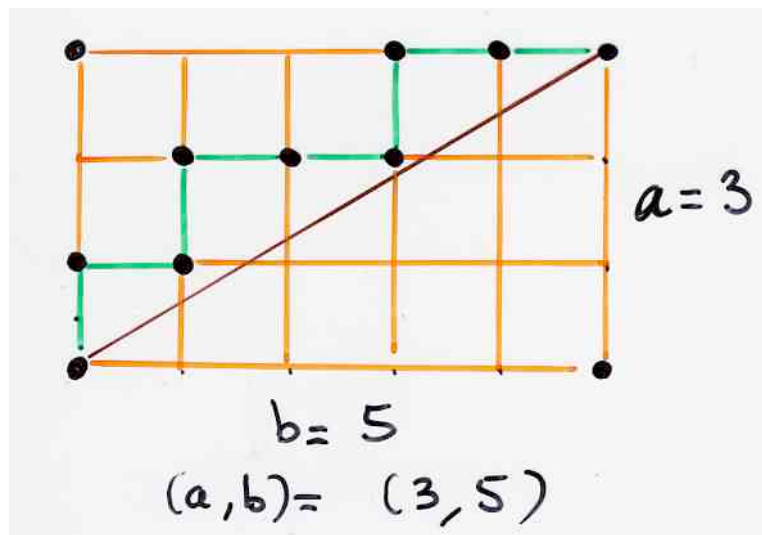
D. Armstrong

$$\text{Cat}(a, b) = \frac{1}{a+b} \binom{a+b}{a, b}$$

number of  
 $(a, b)$ -ballot paths =  $\text{Cat}(a, b)$

Grossman (1950)  
 Birley (1954)

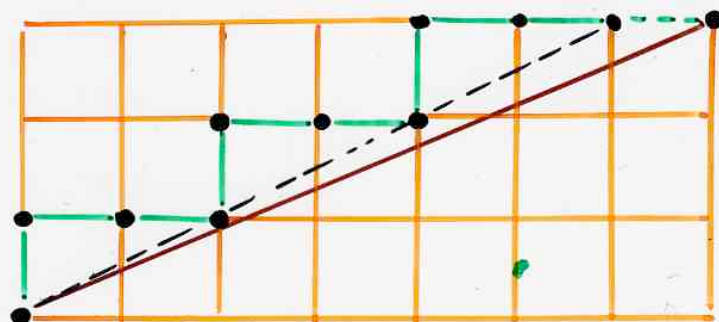
rational  
 ballot (Dyck)  
 paths



$$(a, b) = (n, n+1) \rightarrow C_n \text{ Catalan nb}$$

$$(a, b) = (n, mn+1) \rightarrow \frac{1}{(m+1)n+1} \binom{(m+1)n+1}{n}$$

Fuss-Catalan nb

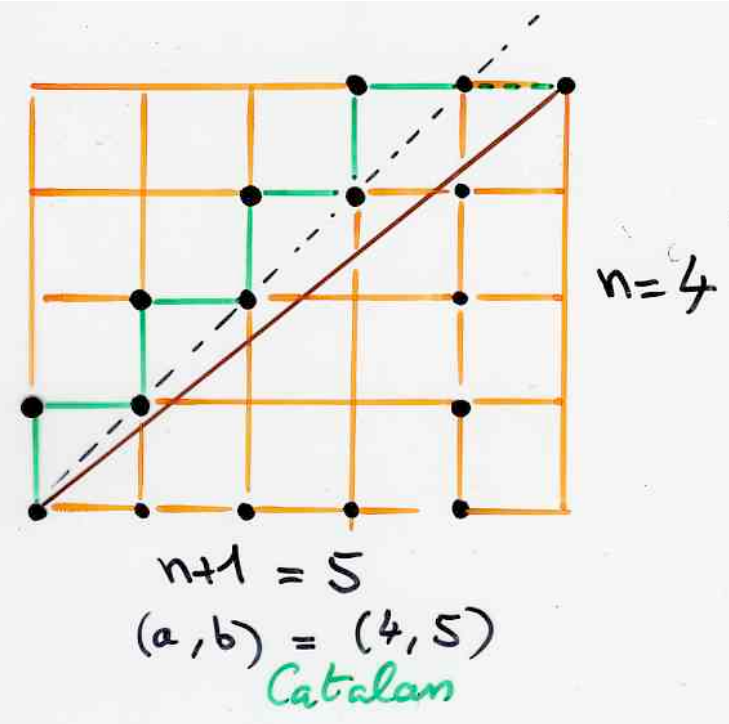


$$m = 2$$

$$mn+1 = 7$$

$$(a, b) = (3, 7)$$

Fuss-Catalan



question :

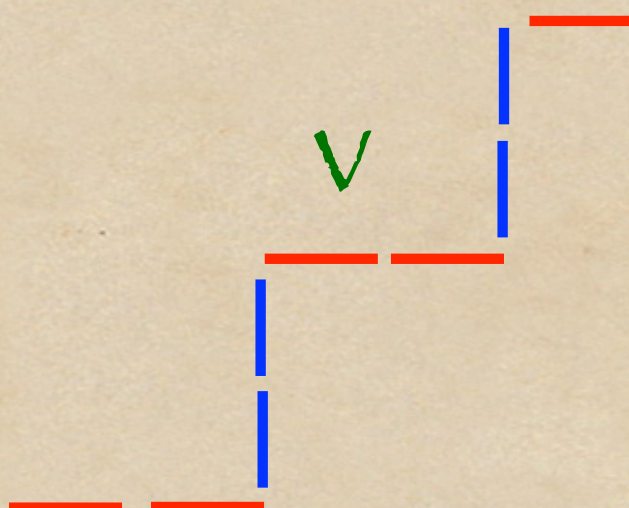
Sergi Elizalde  
(this workshop)



define an  $(a,b)$ - Tamari lattice ?

extension: Tamari  $T_v$

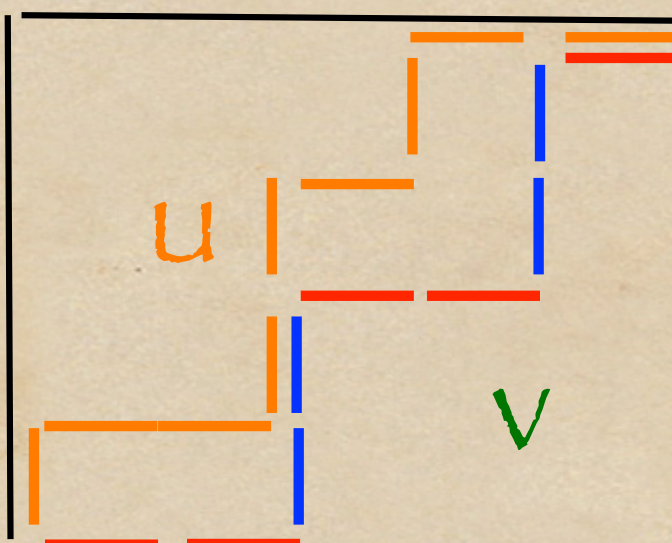
transcental  
Catalan  
combinatorics ?

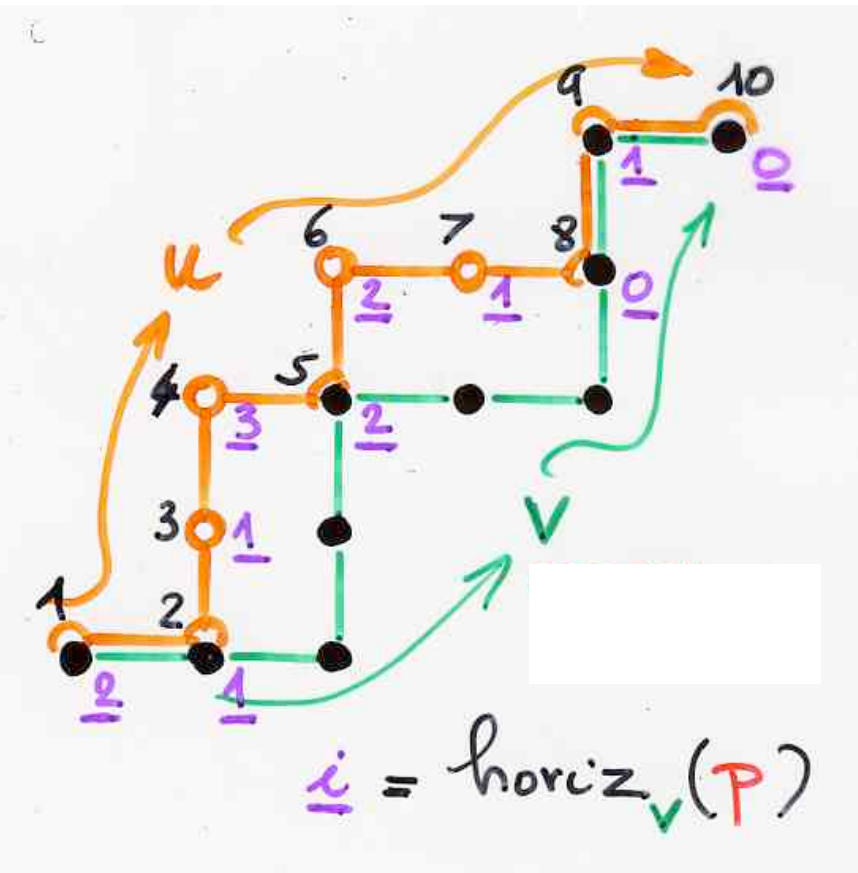


number of pairs ( $u, v$ )

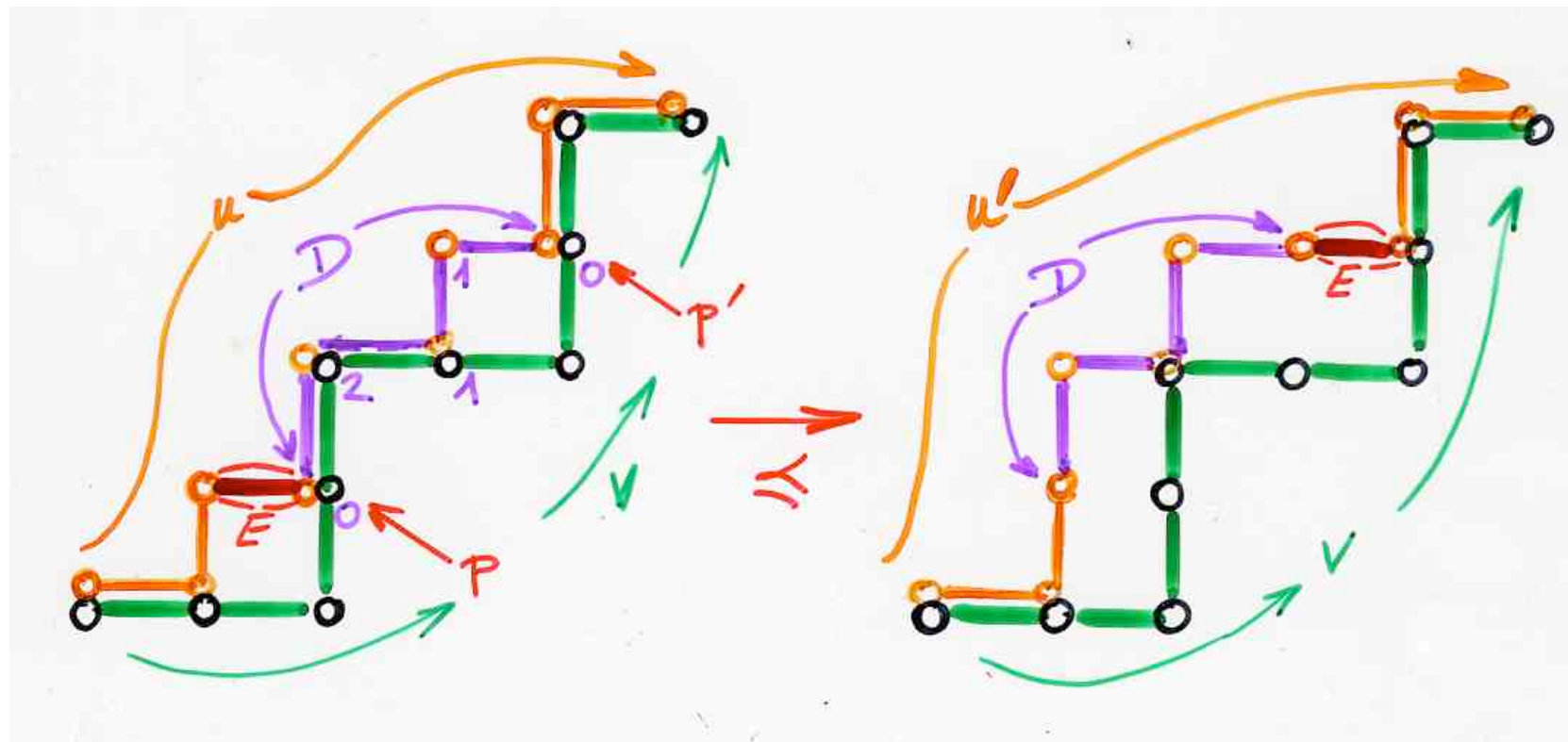
Macmahon determinant

Kreweras determinant





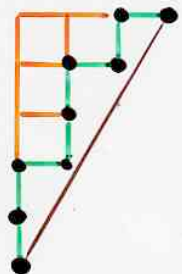
a pair  $(u, v)$  of paths  
with the "horizontal distance"  
 $\text{horiz}_v(P)$



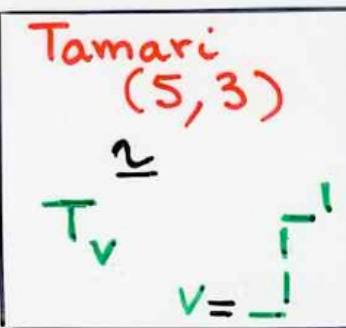
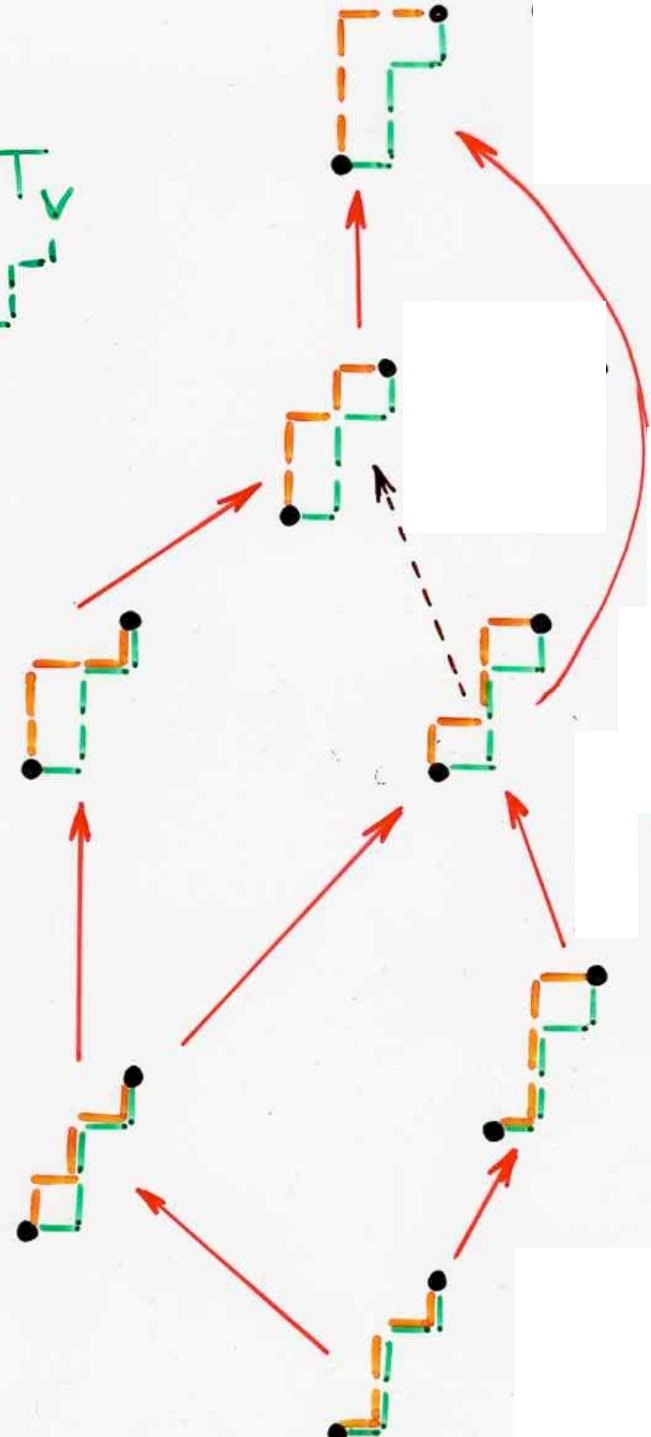
the covering relation  
in the poset  $T_v$

Thm 1. For any path  $\nu$   
 $T_\nu$  is a lattice

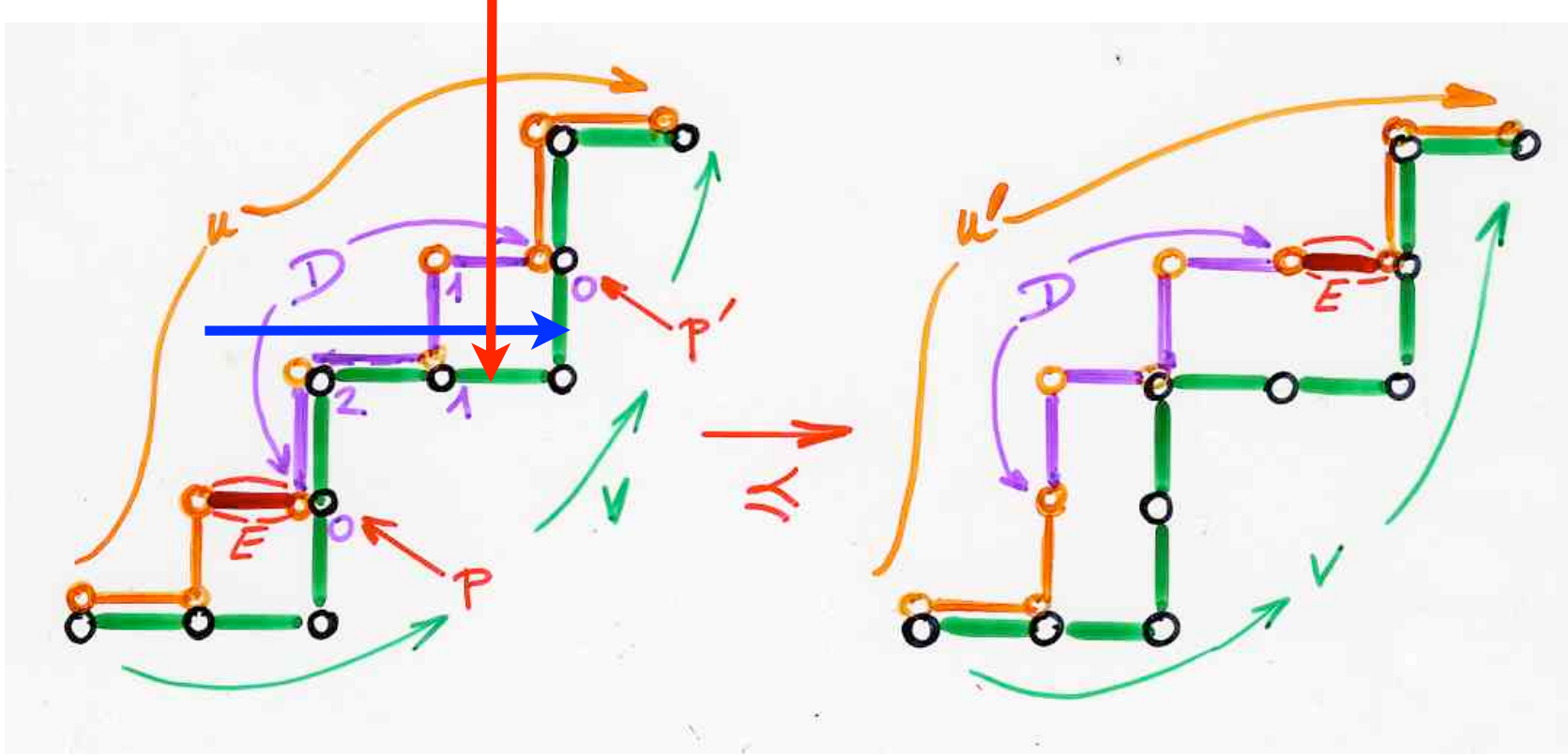
Tamari  
(5,3)



$$\begin{matrix} \textcolor{green}{v} \\ \textcolor{orange}{T}_V \end{matrix}$$



Tamari covering  
Young covering



«row covering relation»



«column covering relation»



mirror image, exchange N and E

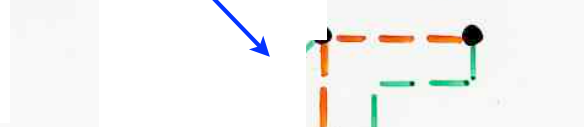
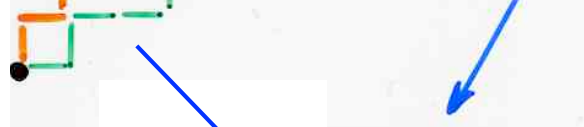
Young  
covering  
relation

Tamari  
covering

Tamari  
(3, 5)

$$\sim_{T_V}$$

$$v = \underline{\underline{1}}$$



Tamari  
(3,5)

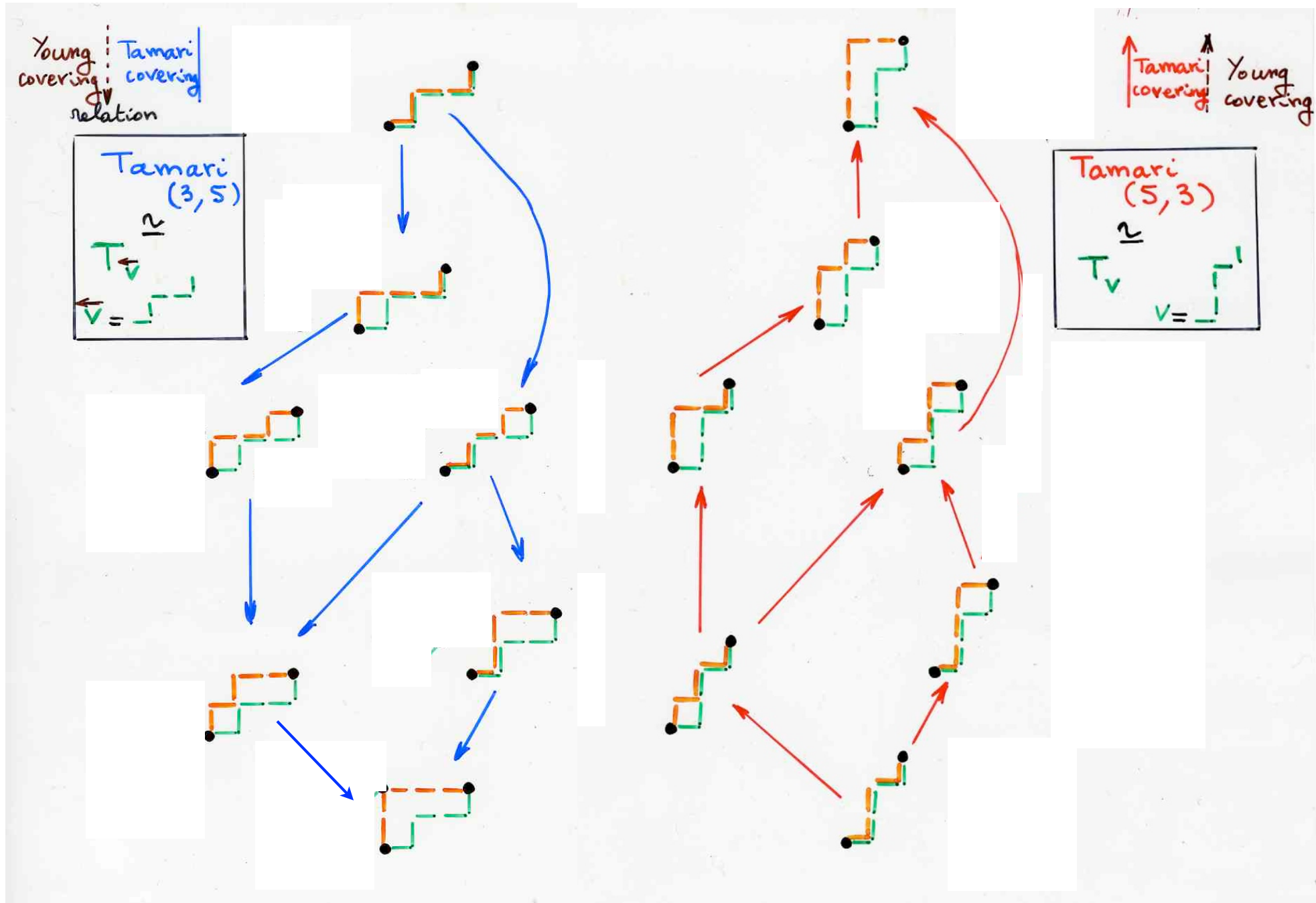
$$\sim_{T_V} \quad T_V$$

$$v = \underline{\underline{1}}$$

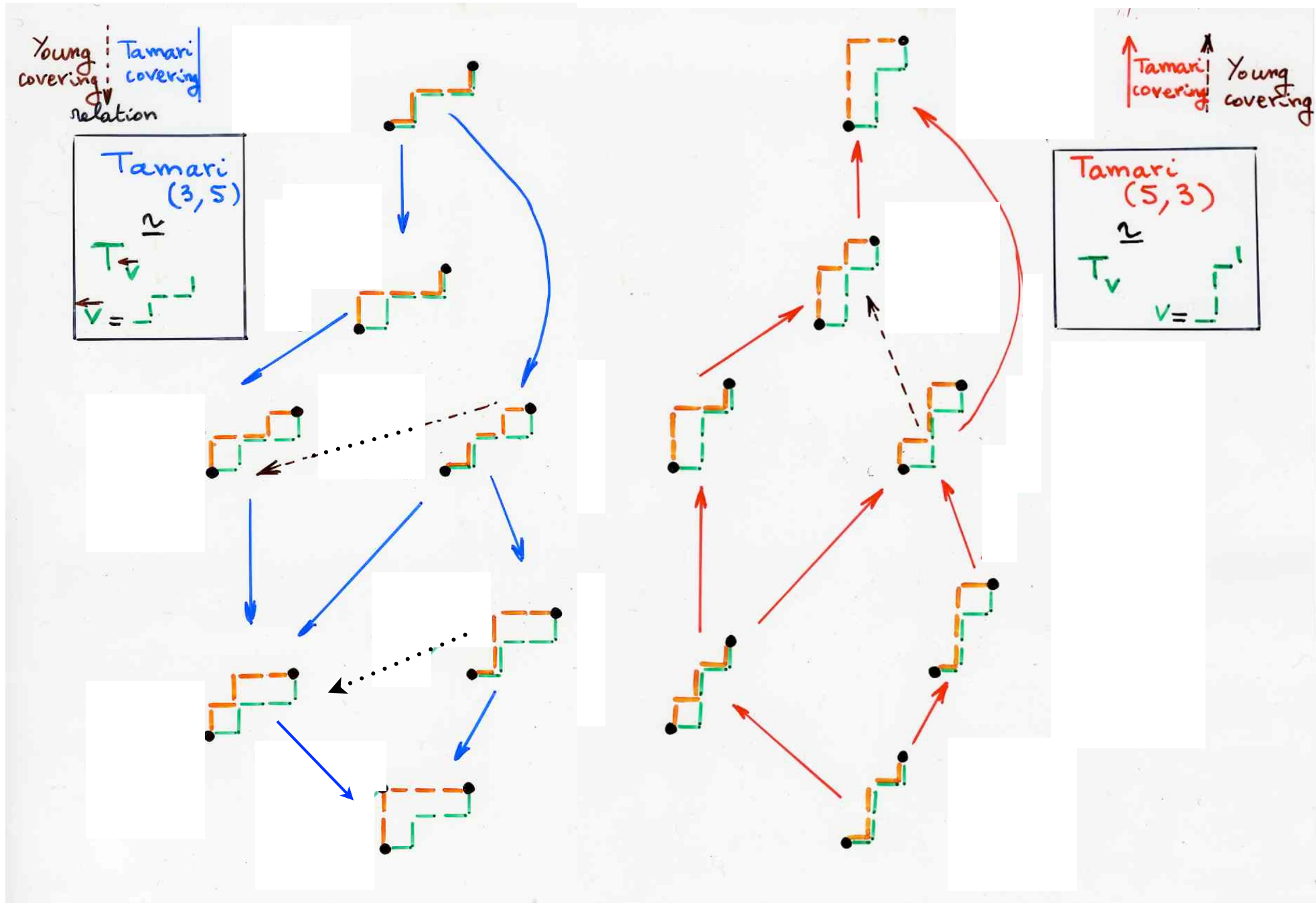
Thm 1. For any path  $v$   
 $T_v$  is a lattice

Thm 2. The lattice  $T_v$   
is isomorphic to the dual of  $T_v^\leftarrow$

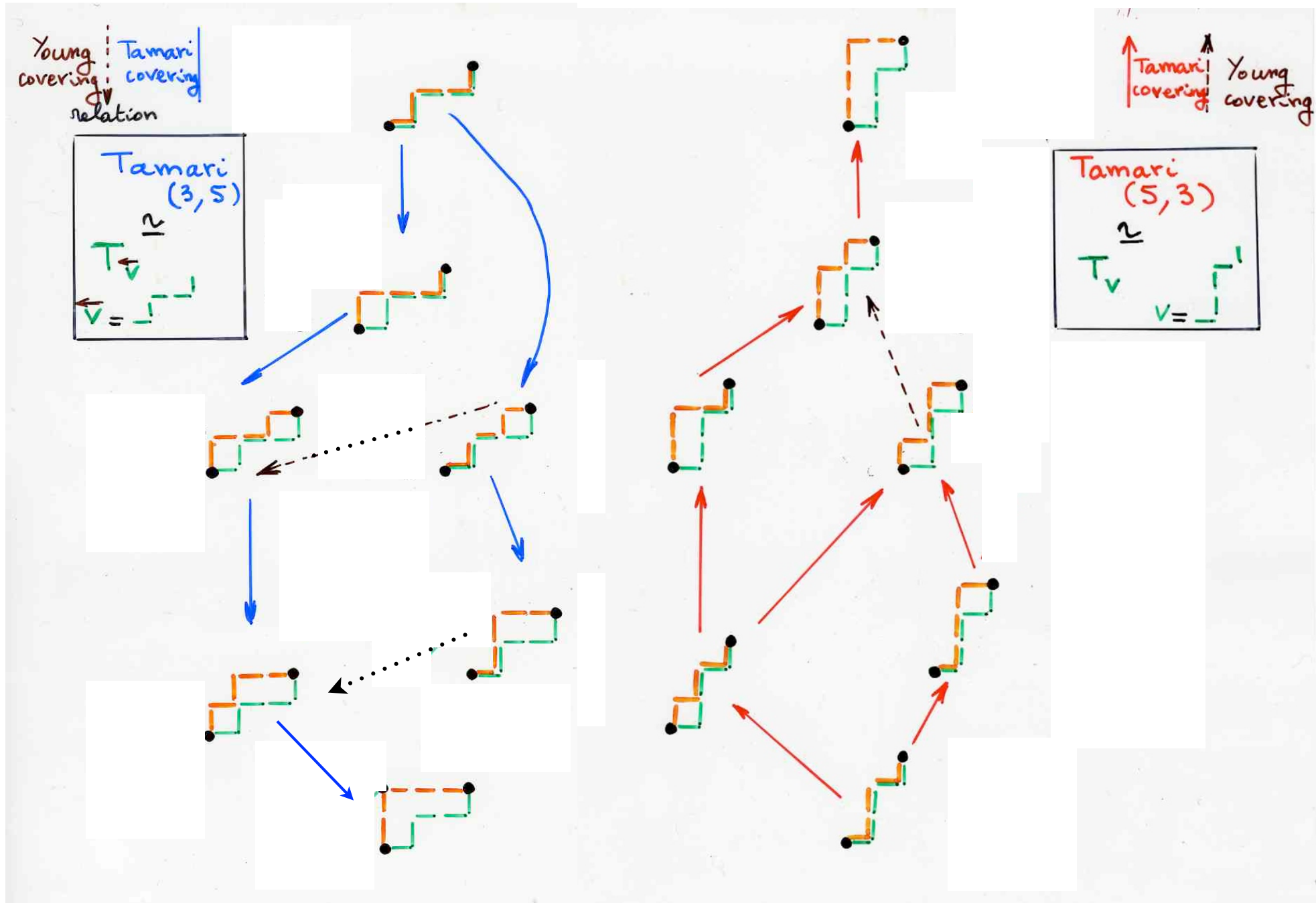
# Duality $T_V \leftrightarrow T_{\check{V}}$



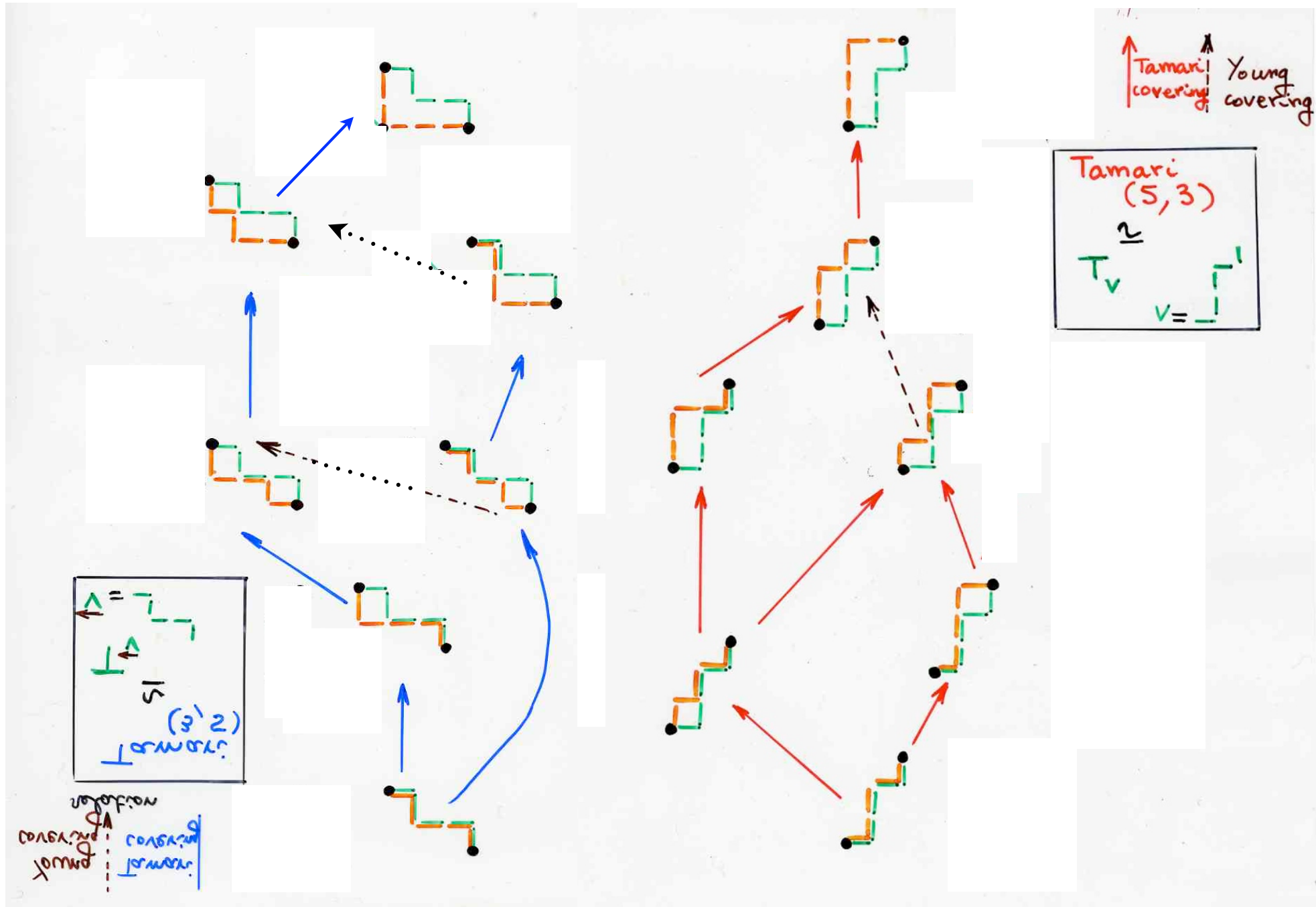
# Duality $T_V \leftrightarrow T_{\check{V}}$



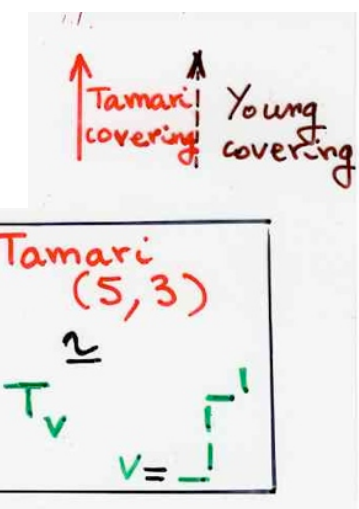
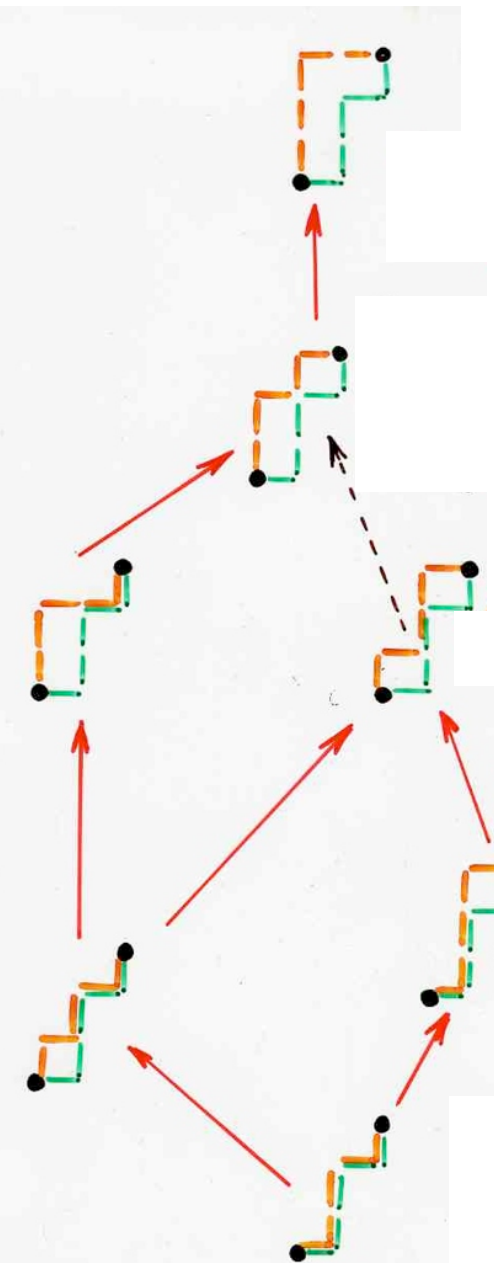
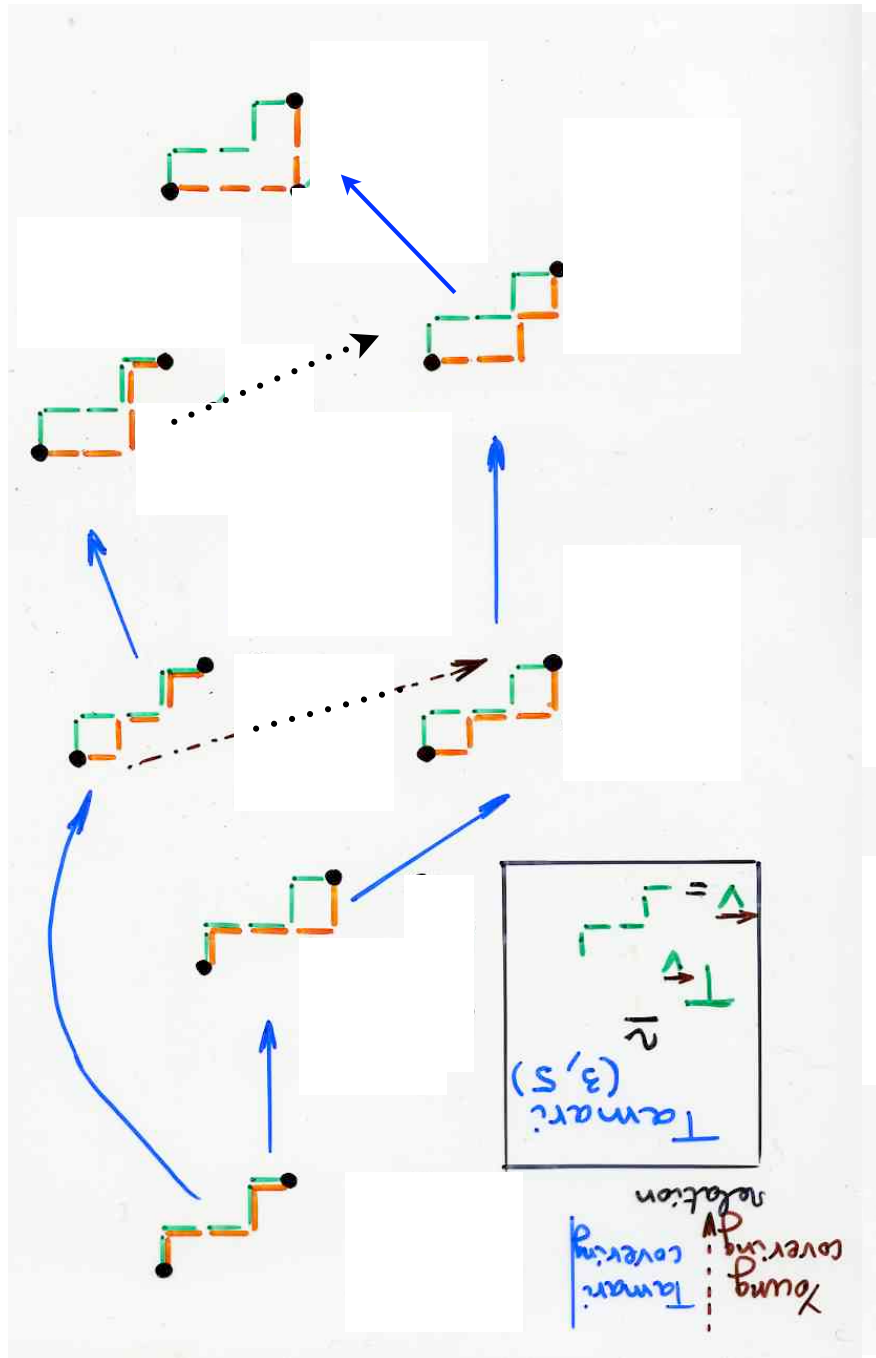
# Duality $T_V \leftrightarrow T_{\check{V}}$



$$Y_v \simeq Y_{\bar{v}}$$

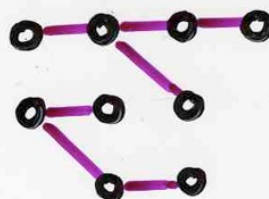
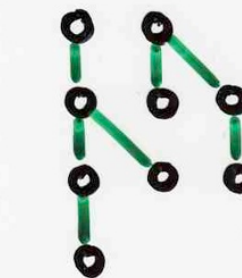
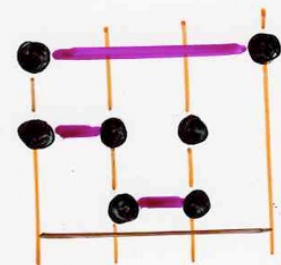
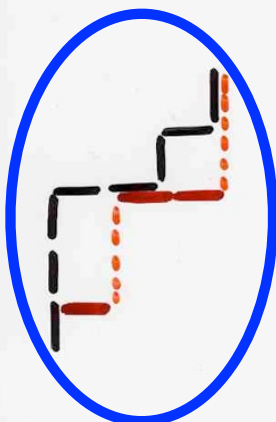
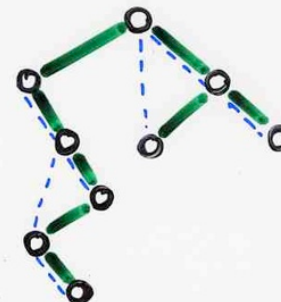
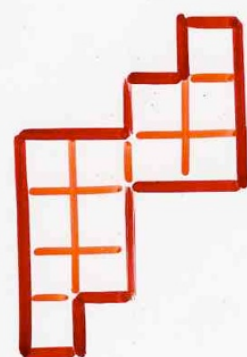
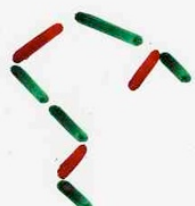
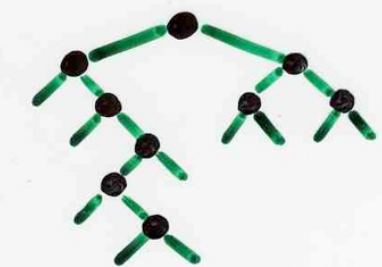


$$Y_v \simeq Y_{\bar{v}}$$

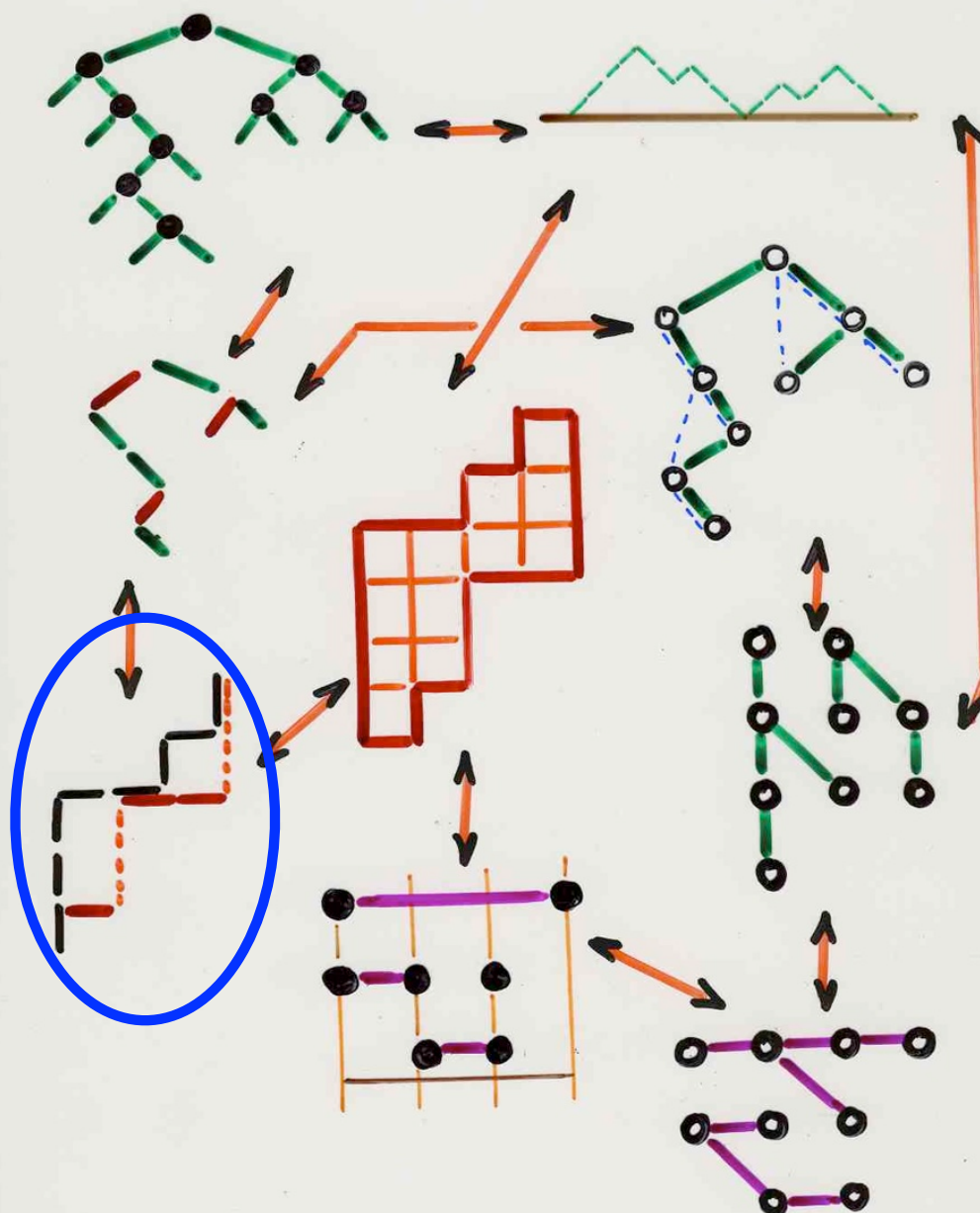


A bijection

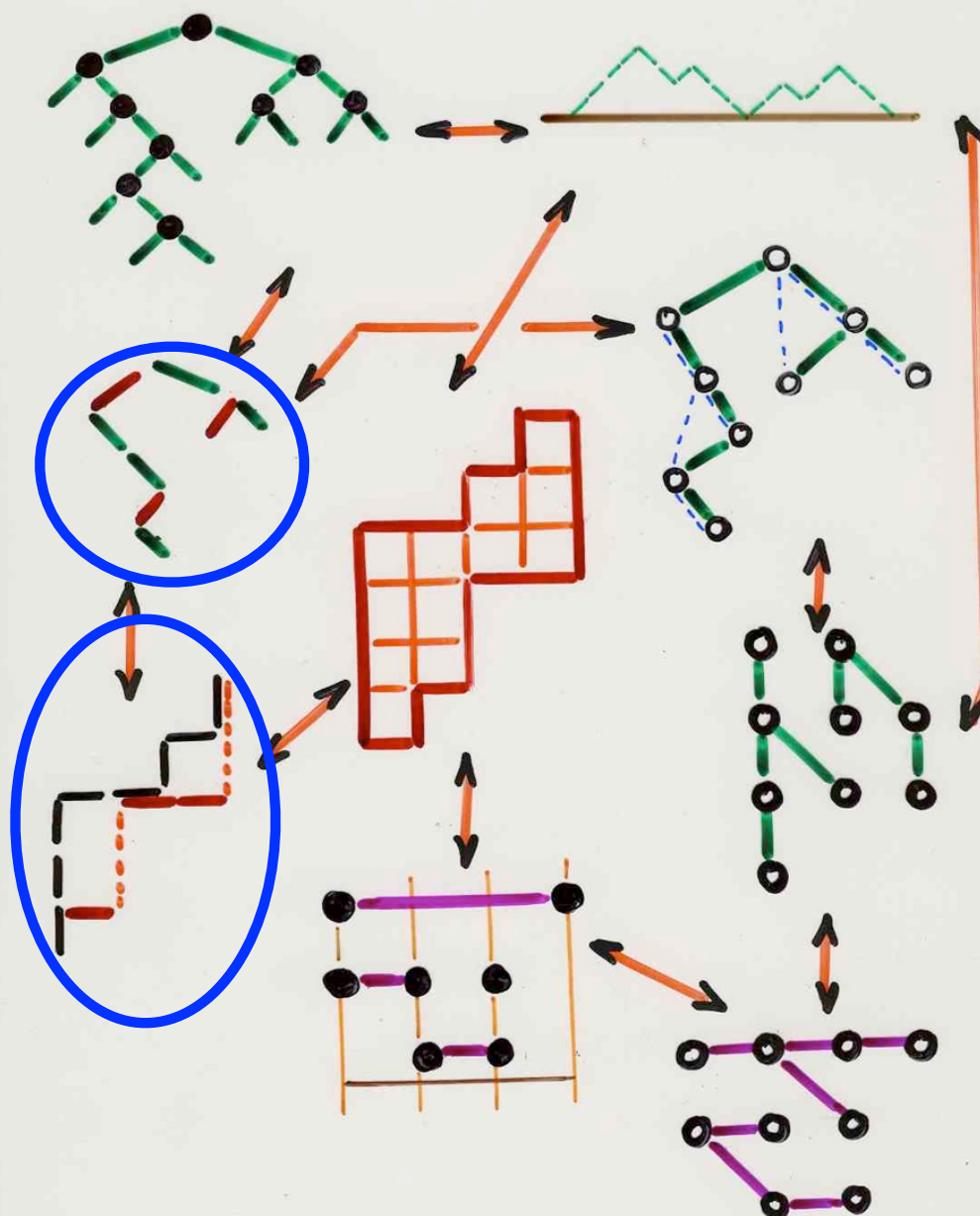
# the Catalan garden



# the Catalan garden

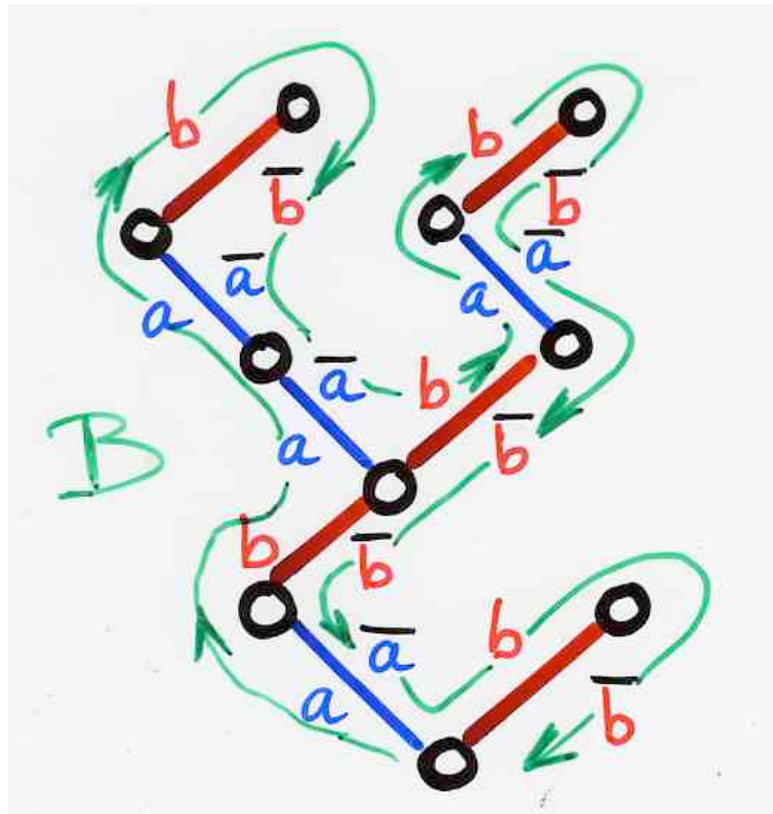


# the Catalan garden



A bijection

binary tree B  $\longrightarrow$  pair of paths  $(u, v)$



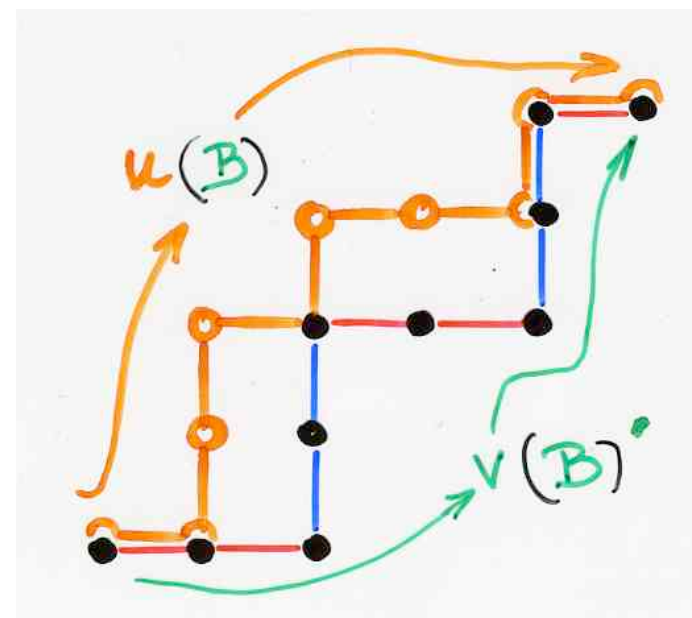
walk around a binary tree  $B$

definition:

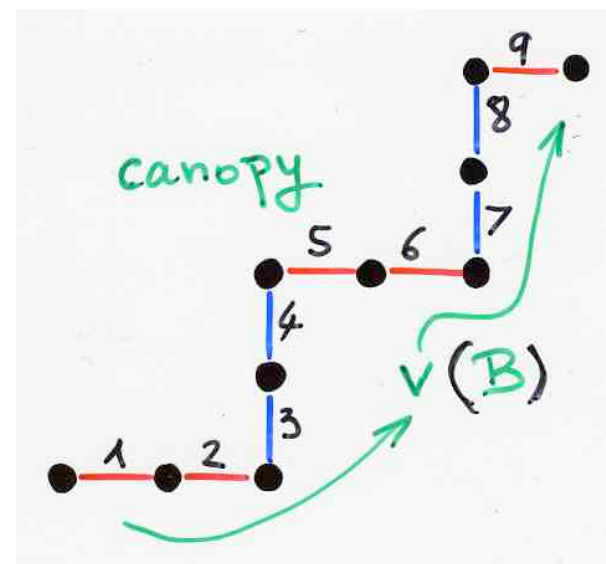
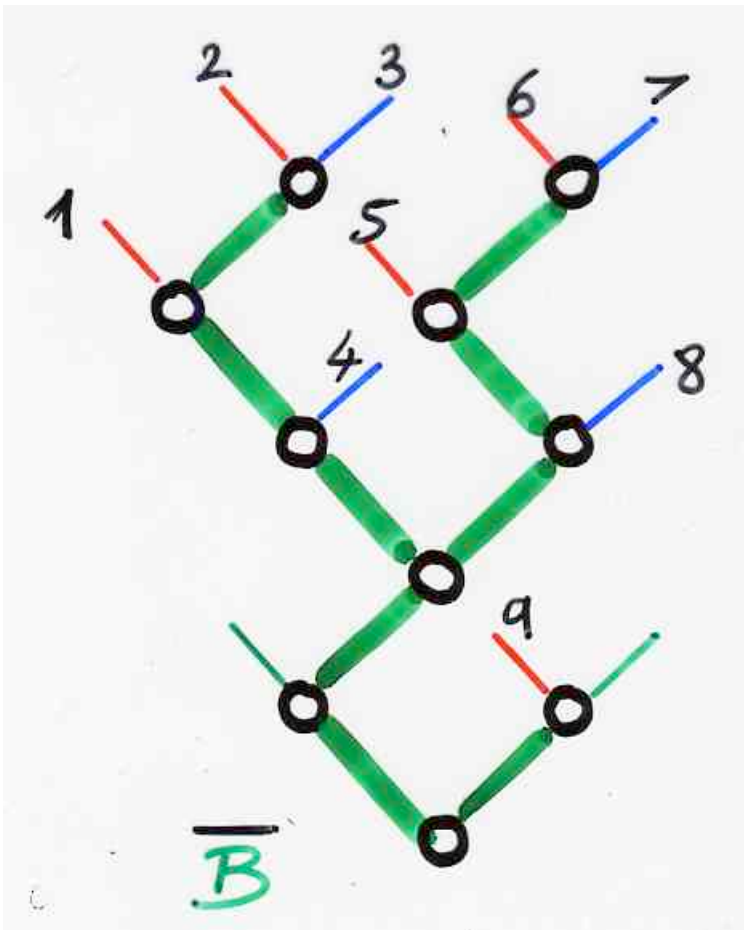
$v(B)$  Canopy

the words  $\{ w(B), u(B), v(B) \}$

$$\begin{aligned}
 w(B) &= abaab\bar{b}\bar{a}\bar{a}bab\bar{b}\bar{a}\bar{b}\bar{b}\bar{a}bb\bar{b} \\
 u(B) &= \bar{b}\bar{a}\bar{a} \quad \bar{b}\bar{a}\bar{b}\bar{b}\bar{a}\bar{b} \\
 v(B) &= b \quad b \quad \bar{a}\bar{a}b \quad b \quad \bar{a} \quad \bar{a}b \\
 \bar{a} \rightarrow N &\quad \frac{b}{b} \} \rightarrow E
 \end{aligned}$$



the pair  $(u, v)$  of paths associated to a binary tree  $B$



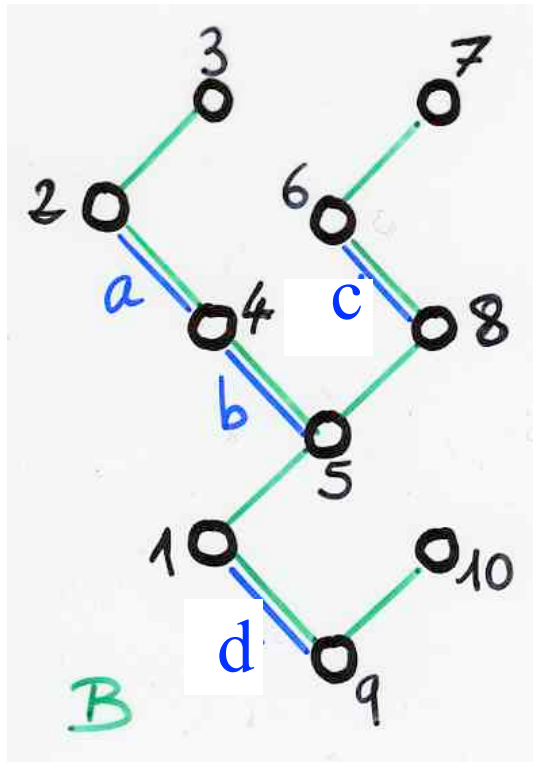
second definition of the canopy

# algebraic structures Hopf algebra

dim  $2^{n-1}$   $C_n$   $n!$   
*Catalan*

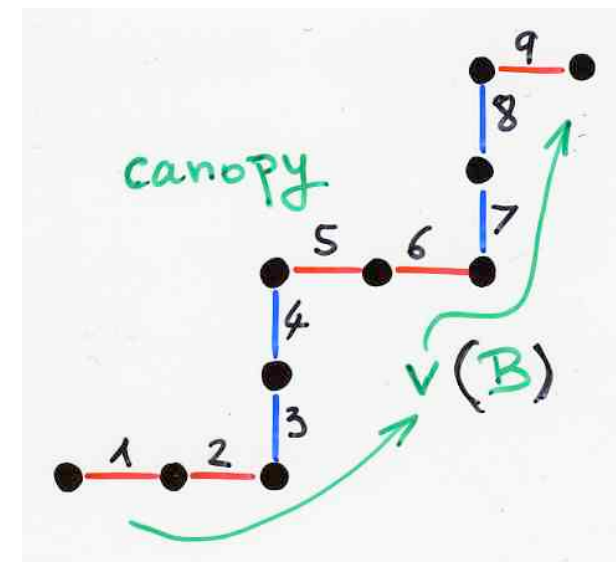
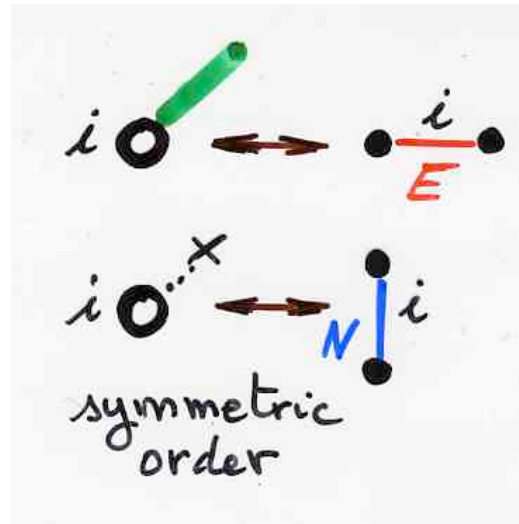
Boolean lattice inclusion  $\leftrightarrow$  Tamari order  $\leftrightarrow$  weak Bruhat order

J.-L.Loday, M. Ronco (1998, 2012)

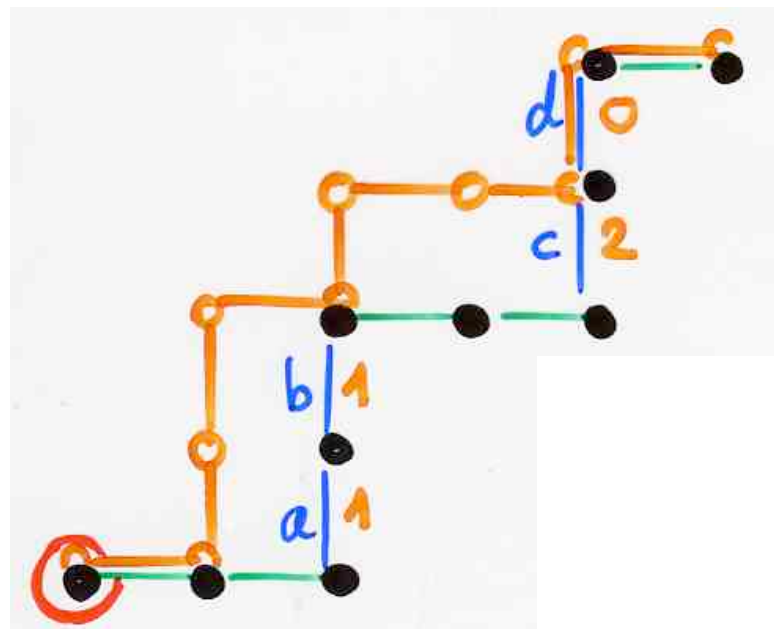
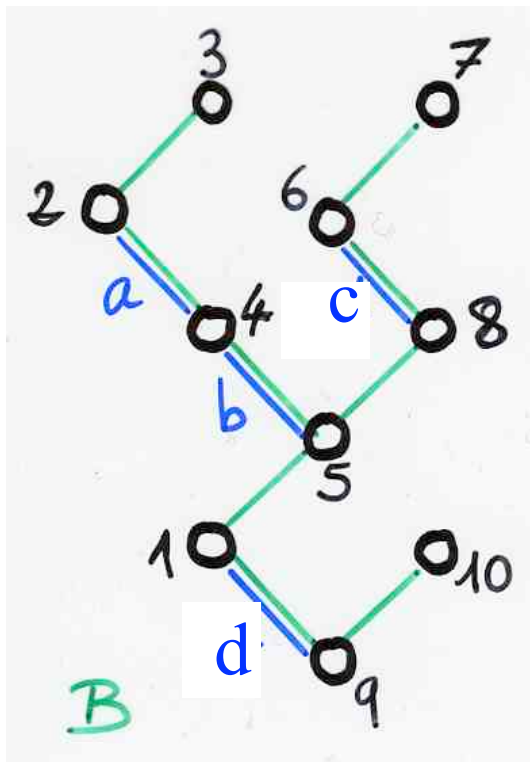


symmetric order

third definition of the canopy

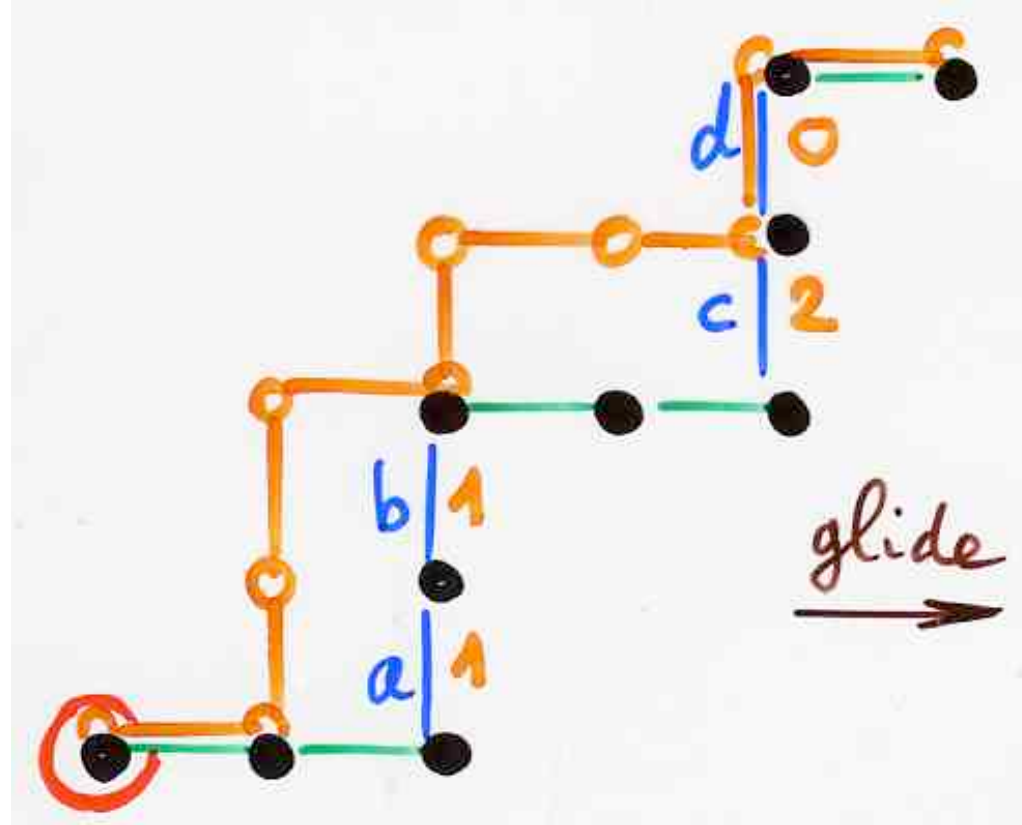


a lemma



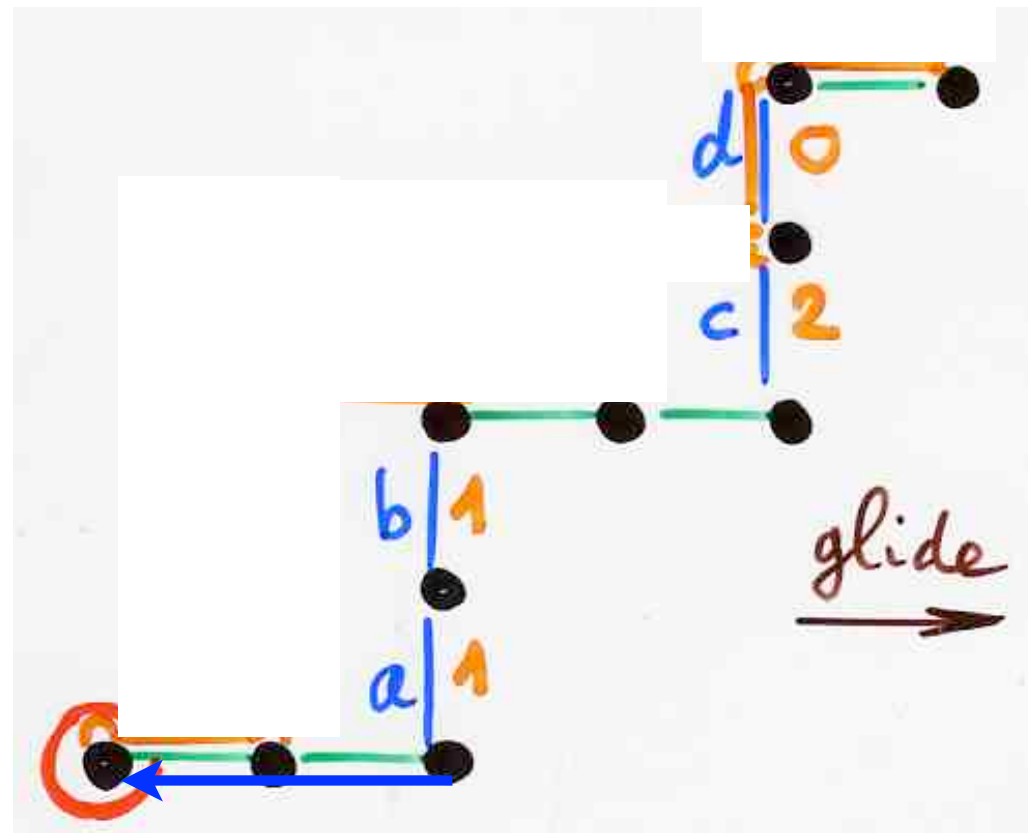
reverse bijection  
binary tree  $B \longleftrightarrow$  pair of paths  $(u, v)$

the «push-gliding» algorithm



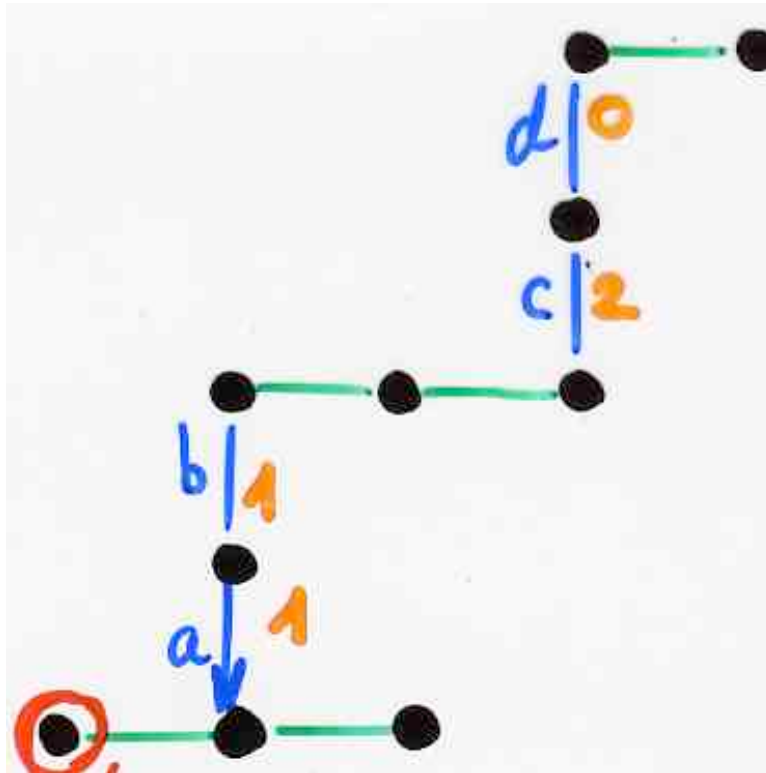
reverse bijection

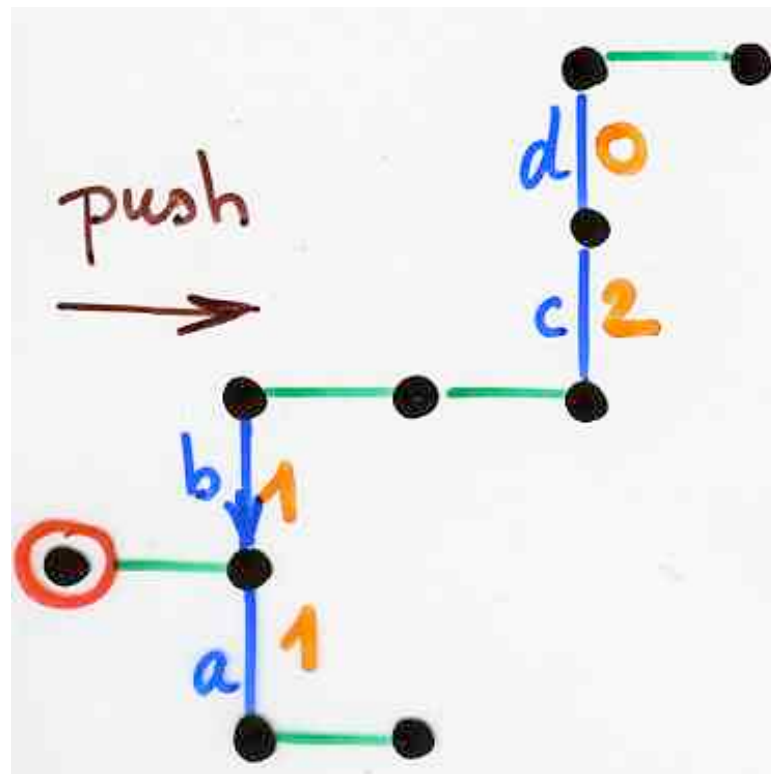
the "push-gliding" algorithm

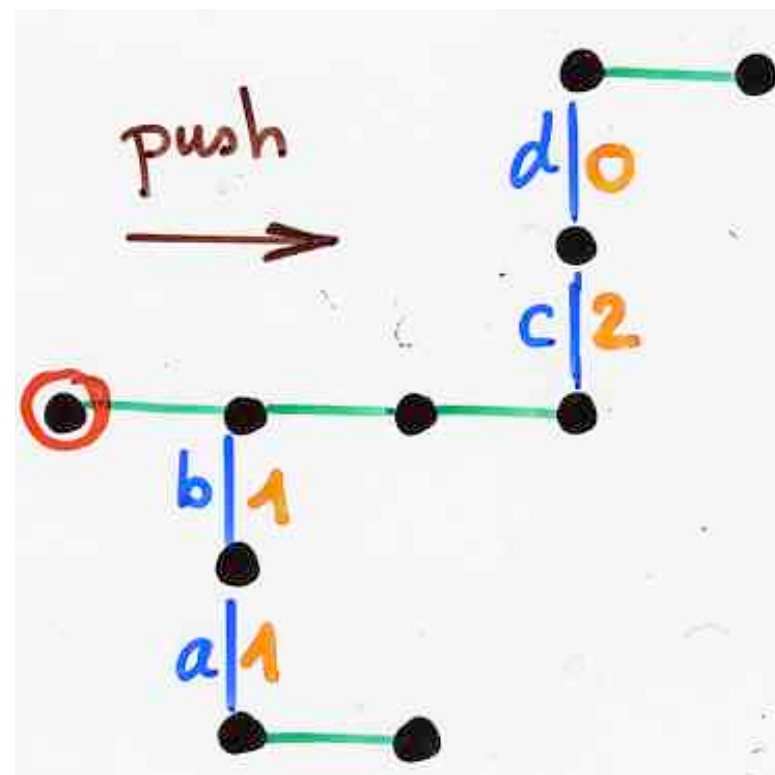


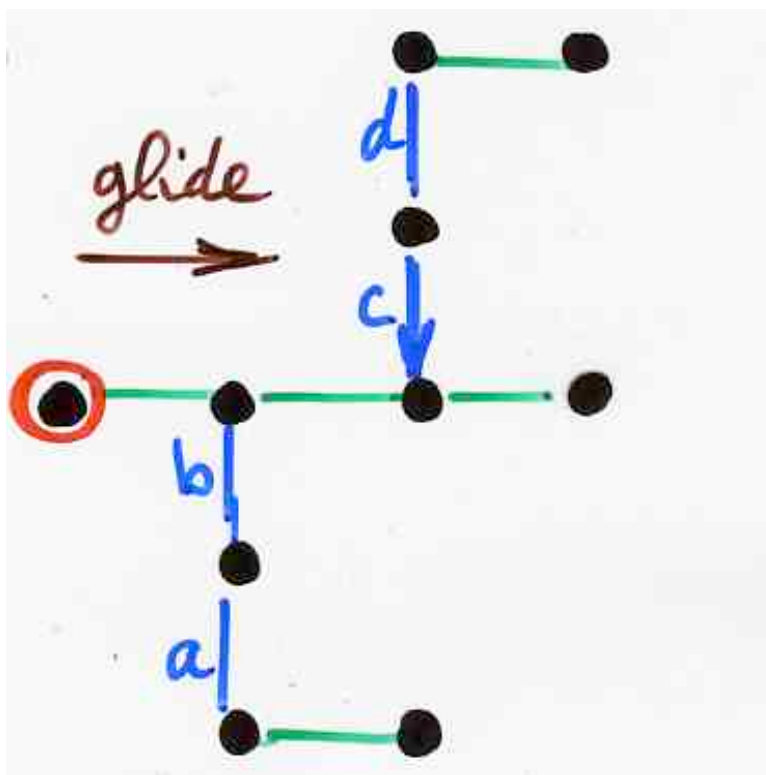
reverse bijection

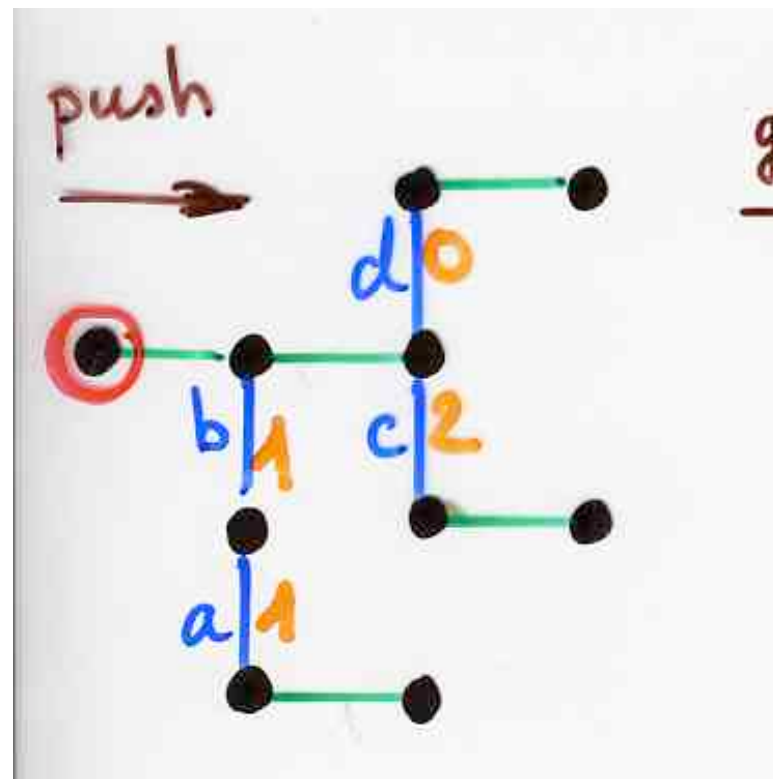
the "push-gliding" algorithm

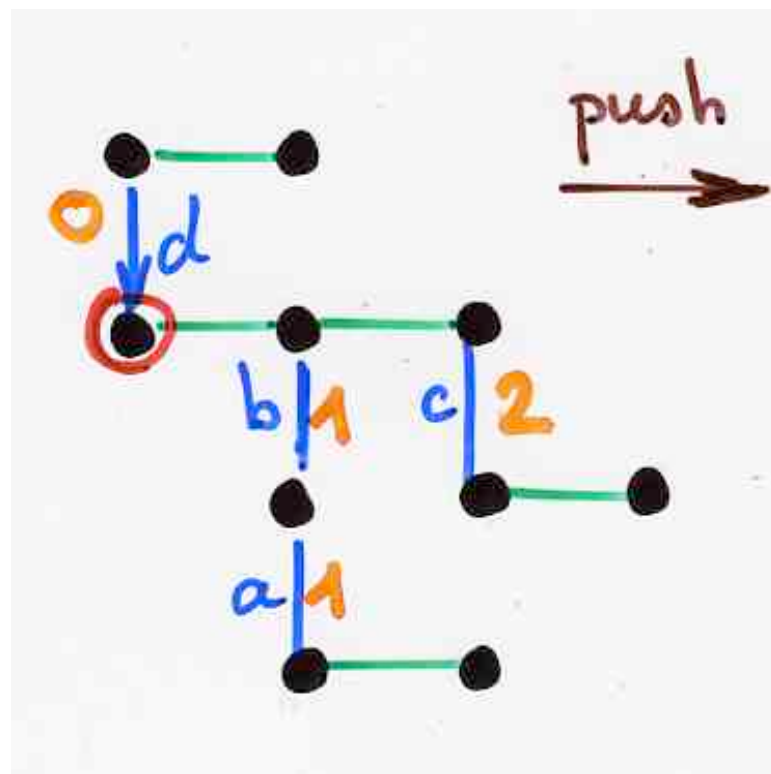


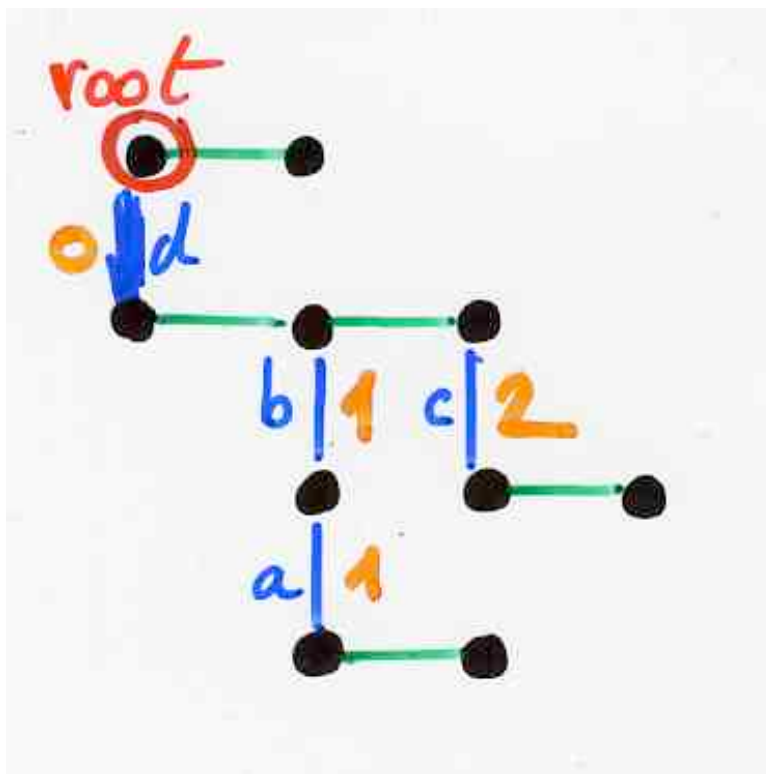


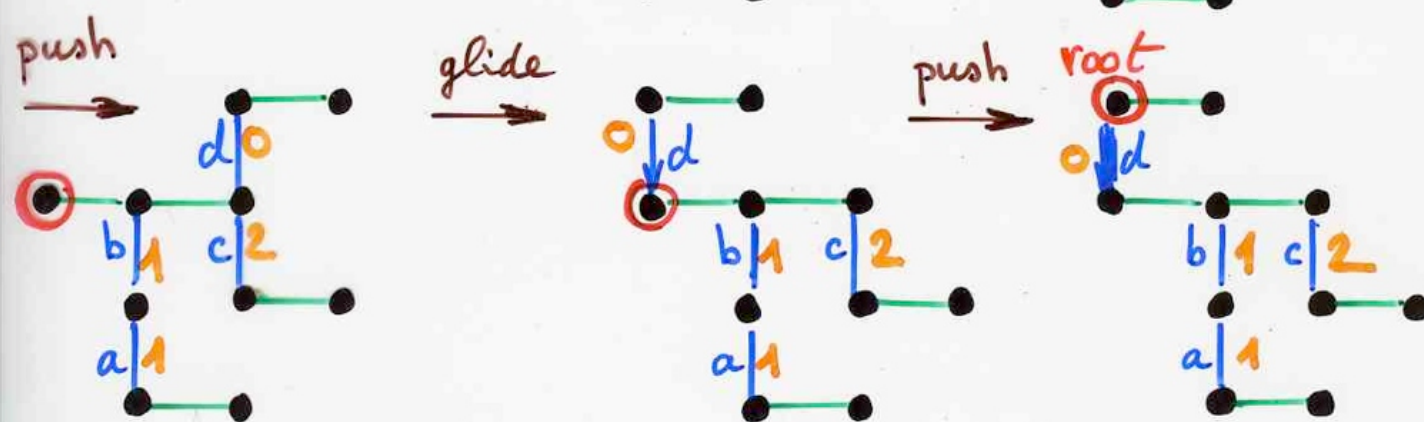
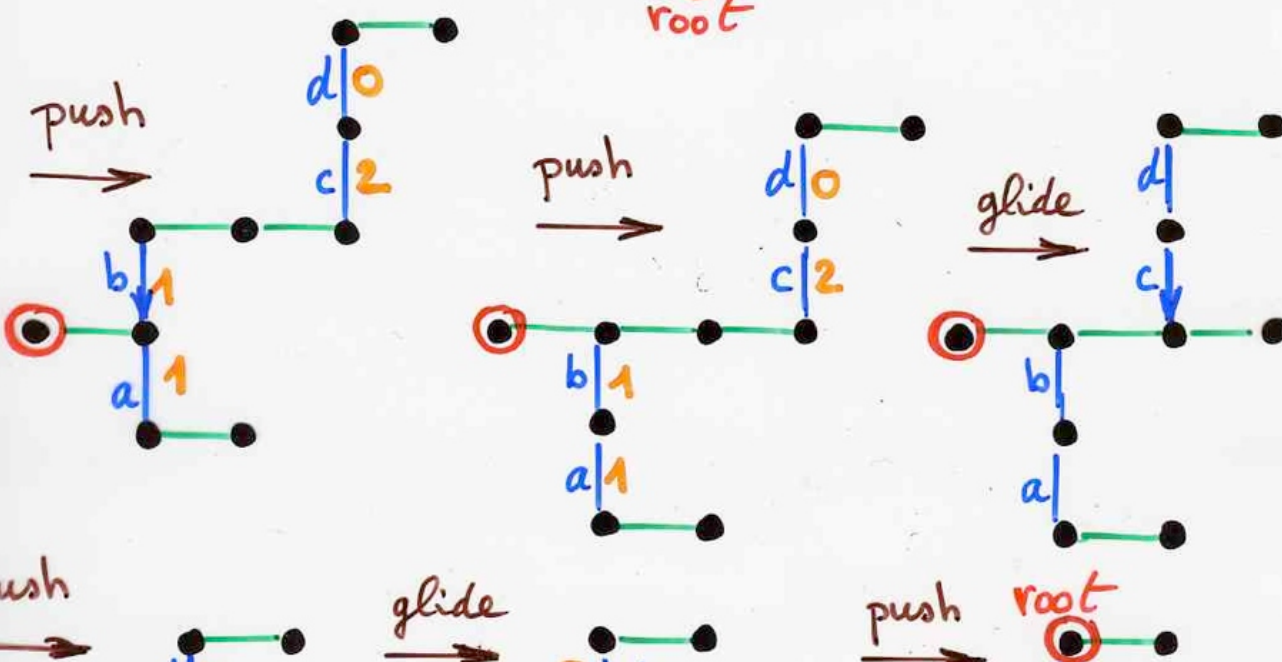
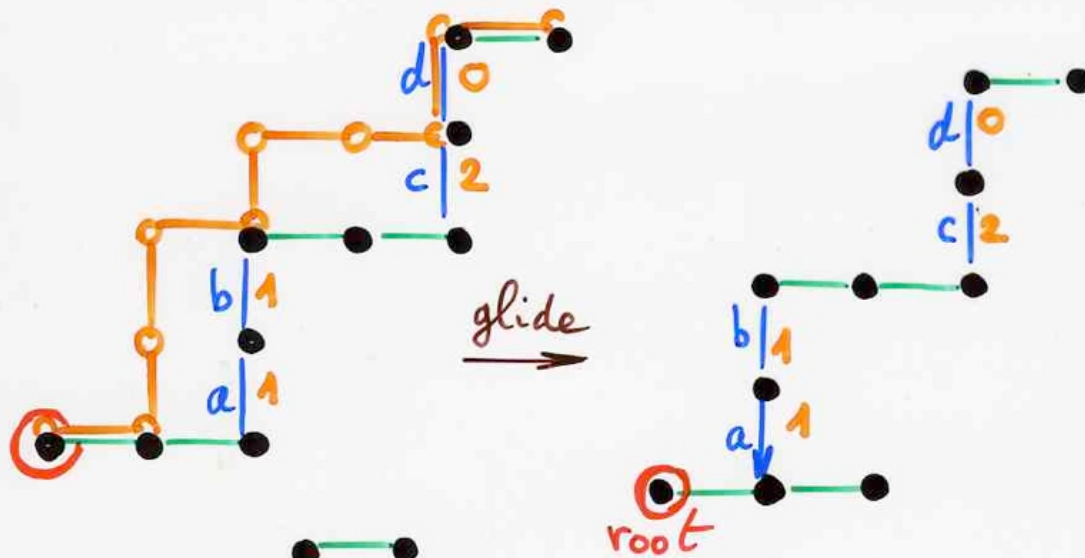








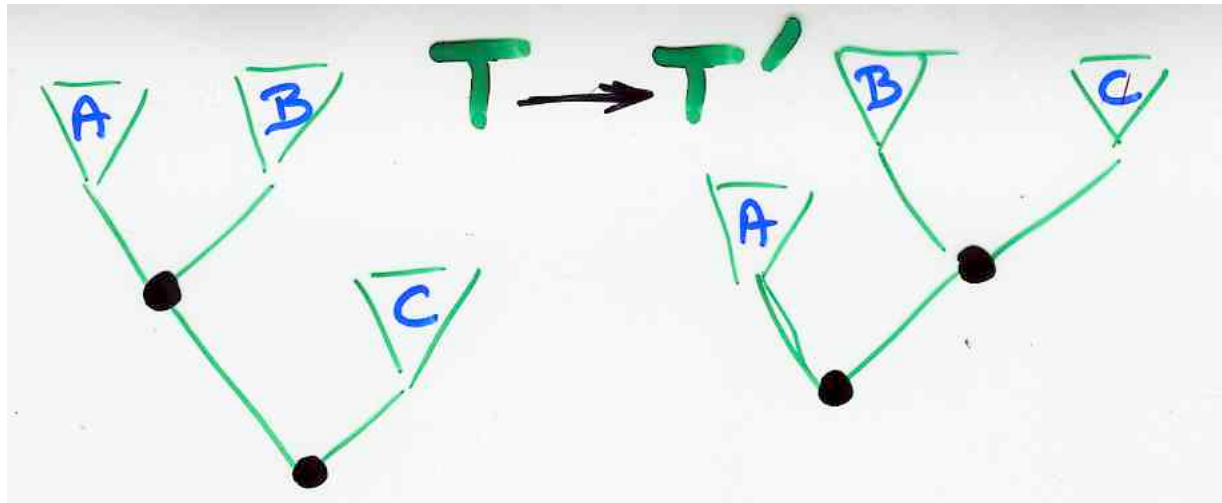




canopy and Tamari lattice

Prop<sup>(i)</sup> The set of binary trees having  
a given canopy  $V$  is an interval  
of the Tamari lattice  $J(V)$

idea of proof



if  $B \neq \bullet$  canopy is invariant

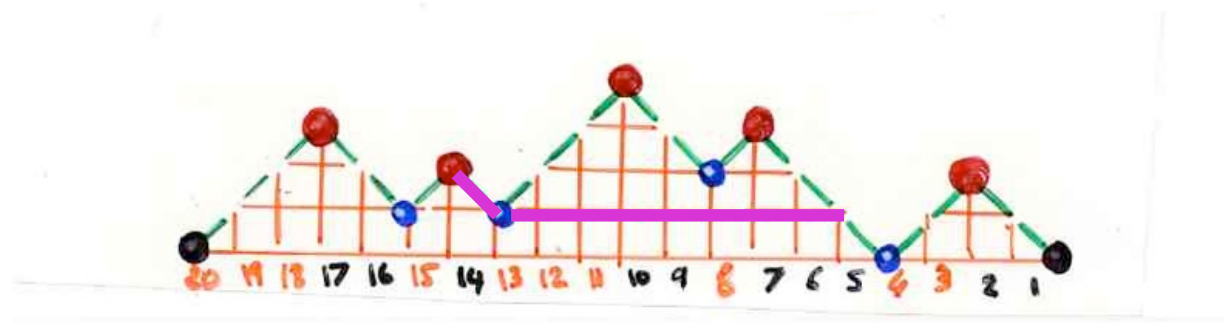
if  $B = \bullet$  canopy  $c(T')$   
not invariant

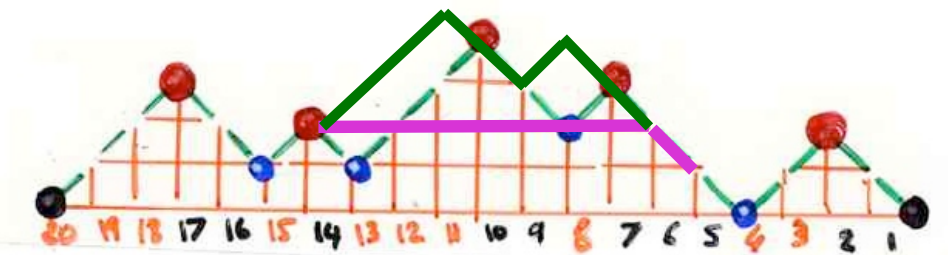
$$c(T) = c(A) + c(B) c(C)$$

$$c(T') = c(A) - c(B) c(C)$$

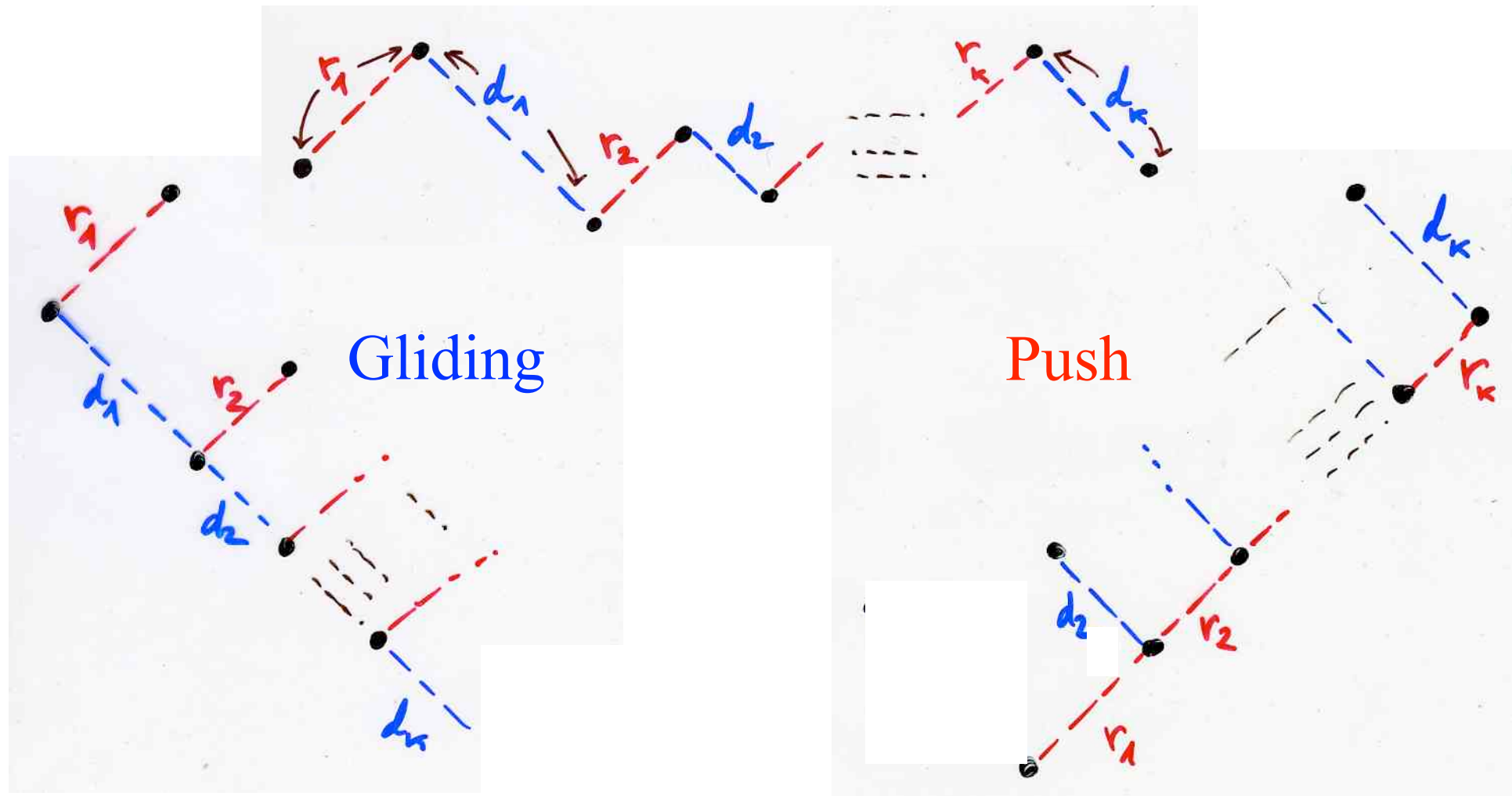
$$c(B) = \emptyset$$

forbidden  
move



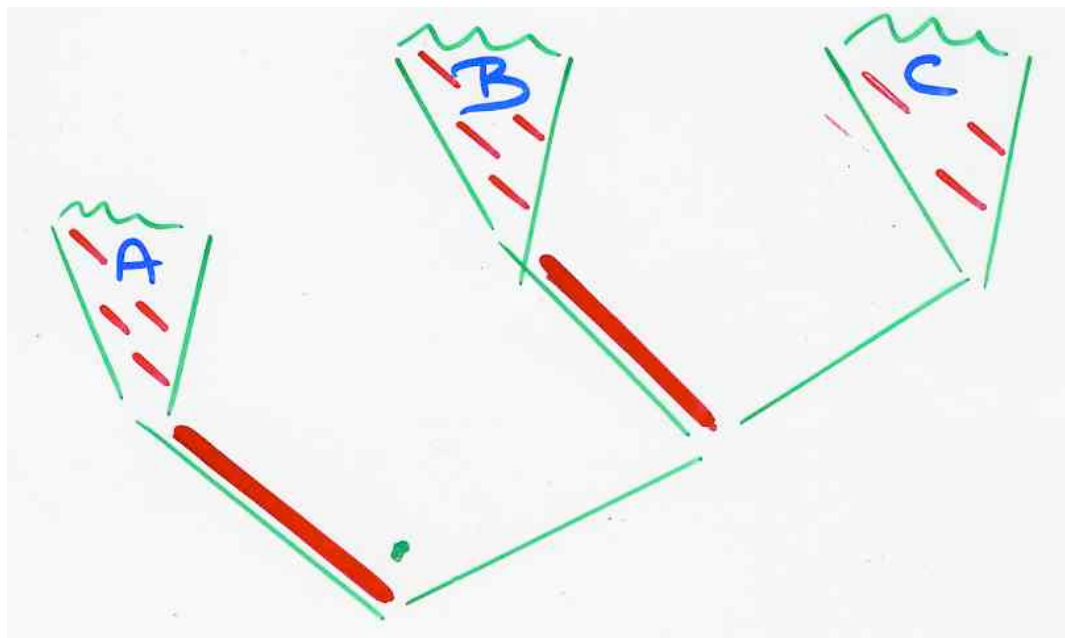
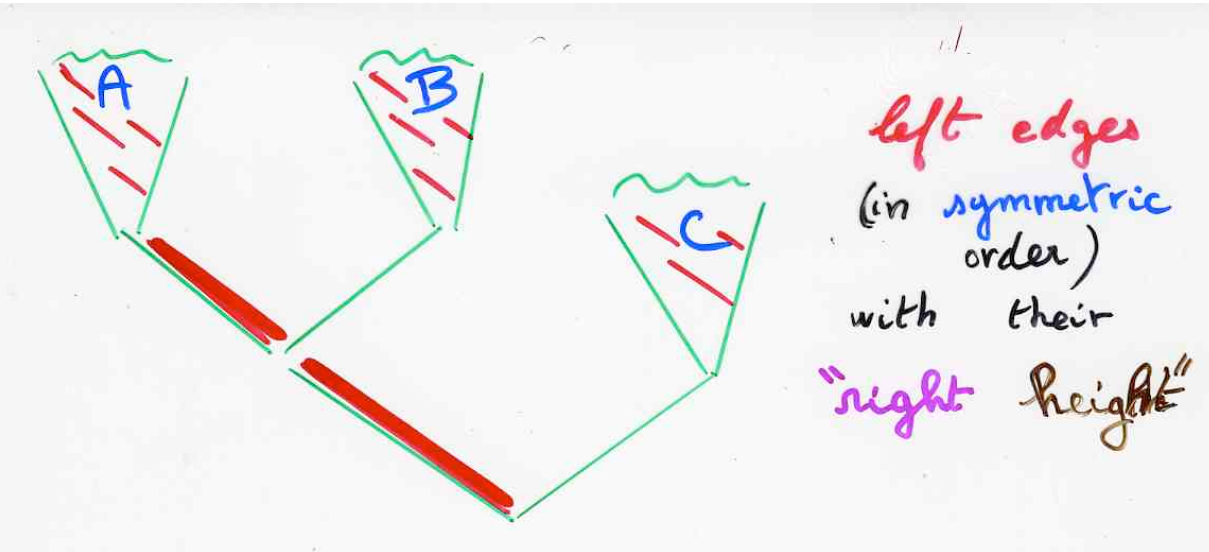


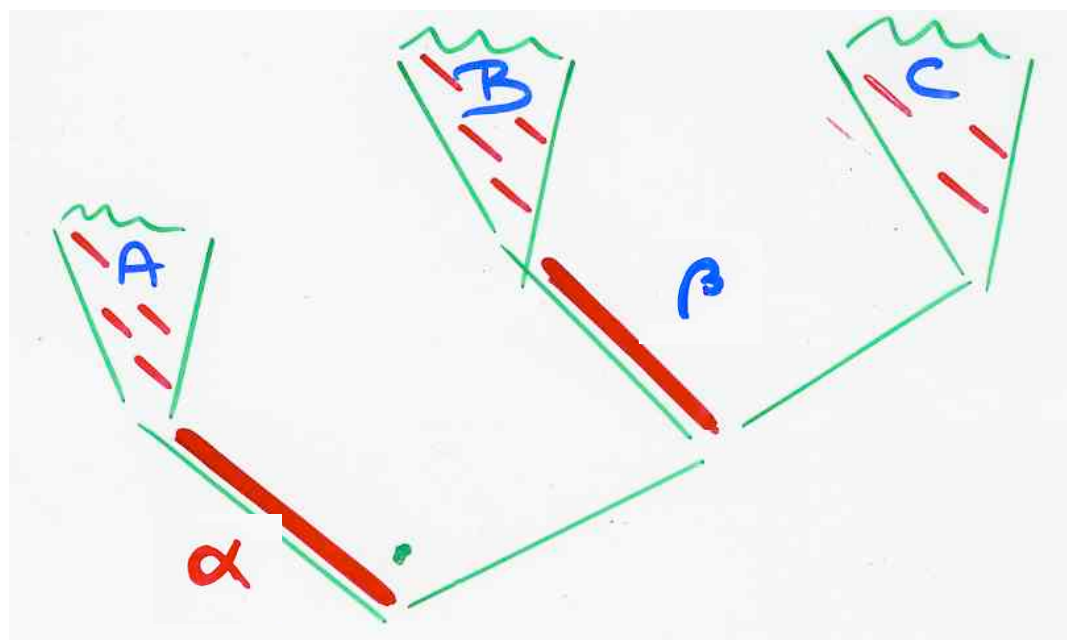
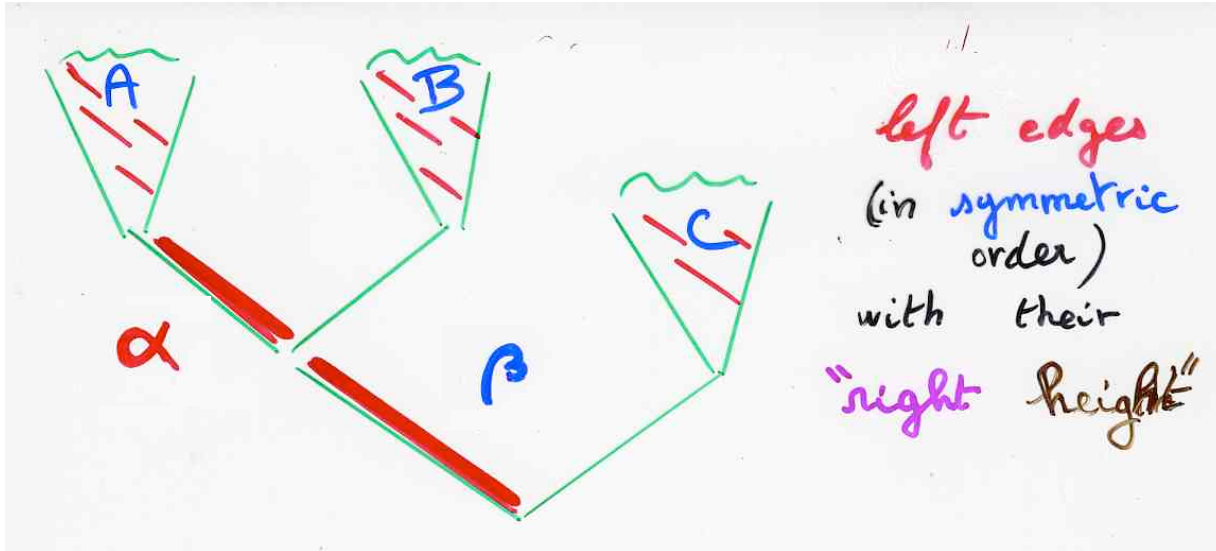
Prop<sup>(i)</sup> The set of binary trees having a given canopy  $w$  is an interval lattice  $J(w)$ .  
 of the Tamari canopy  $w$



Prop<sup>(i)</sup> The set of binary trees having  
a given canopy Tamari lattice  $v$  is an interval  $I(v)$

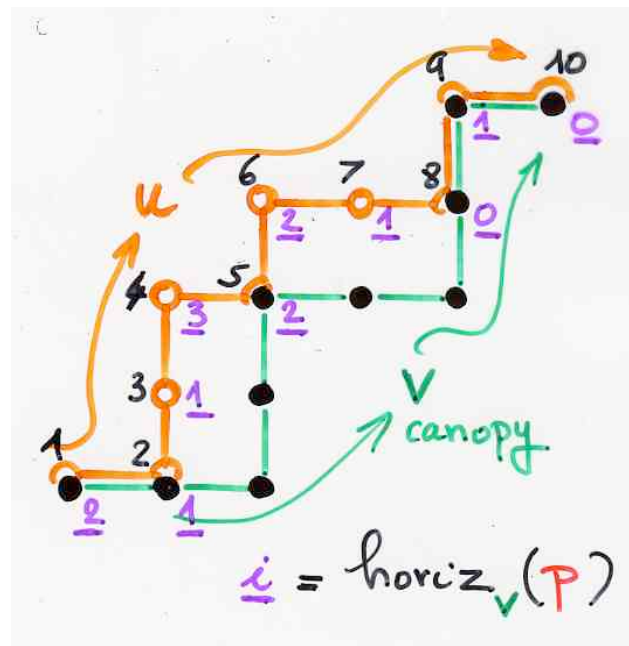
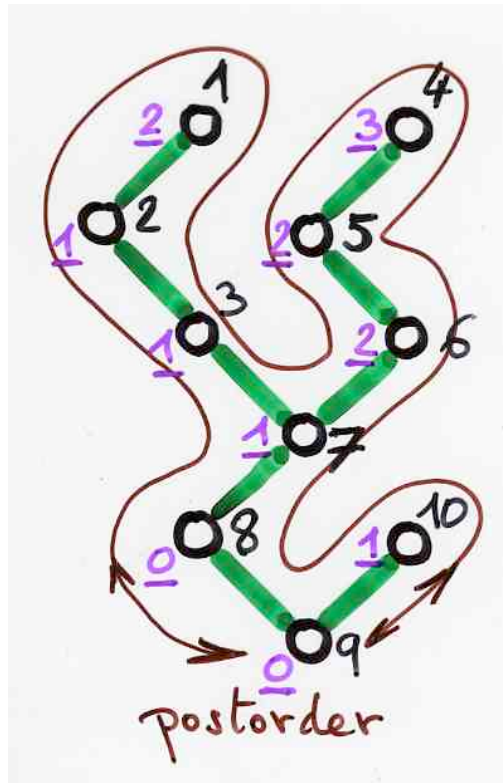
(ii) This interval  $I(v)$  is isomorphic to  $T_v$



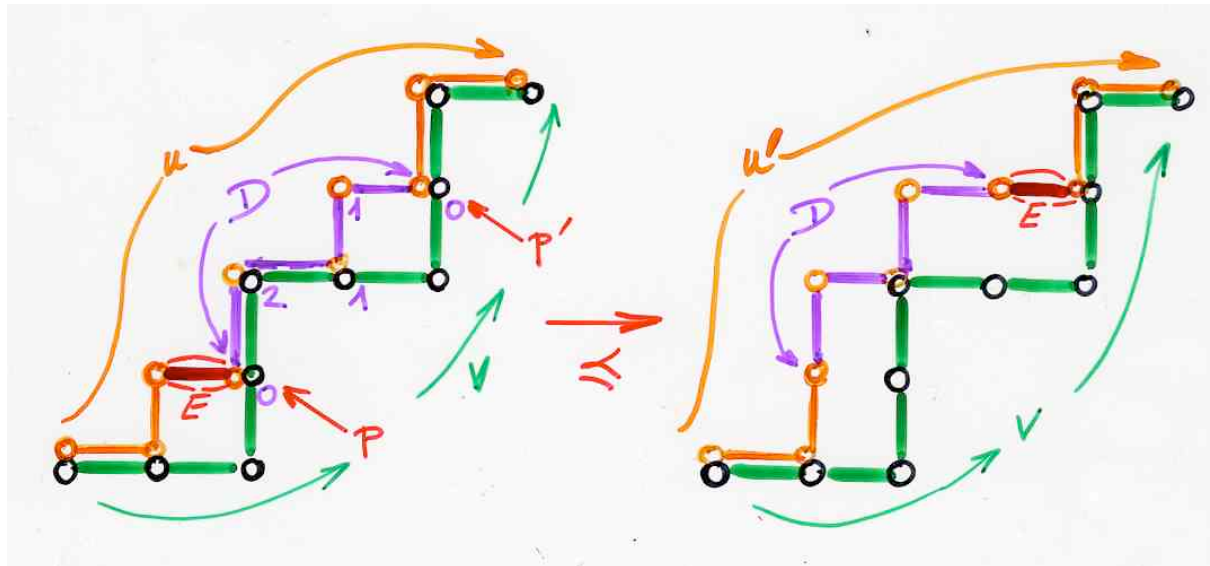


preservation  
of the  
symmetric order  
for left edges

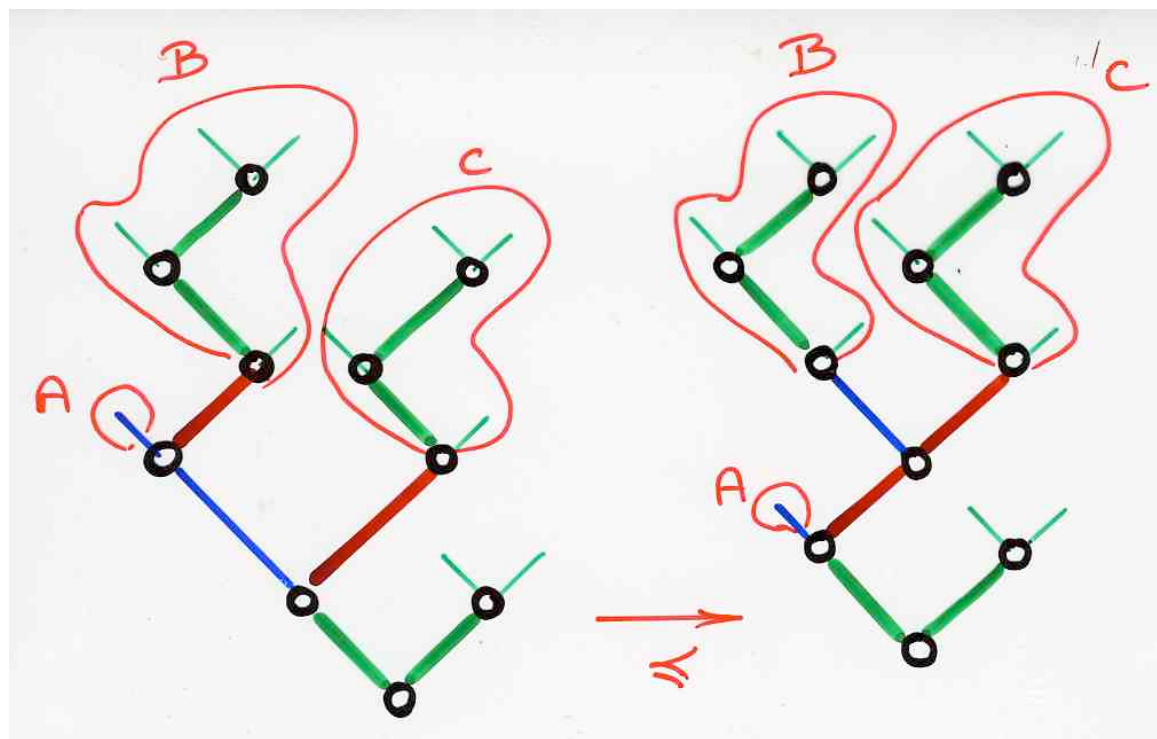
right height:  
 $+1$  in  $C$   
and for  $\beta$



another lemma



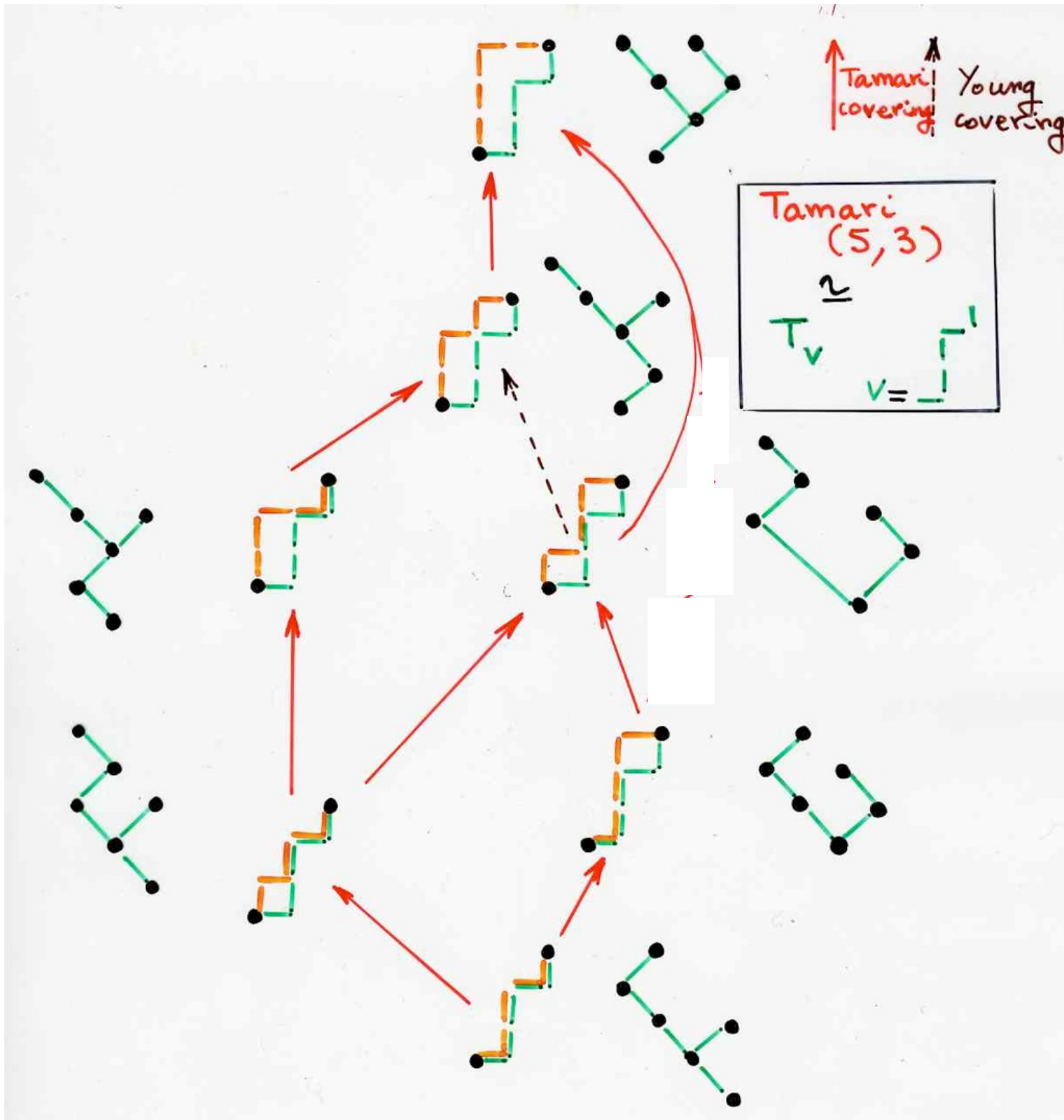
the covering relation in  $T_V$   
and the corresponding rotation  
in (ordinary)  $T$

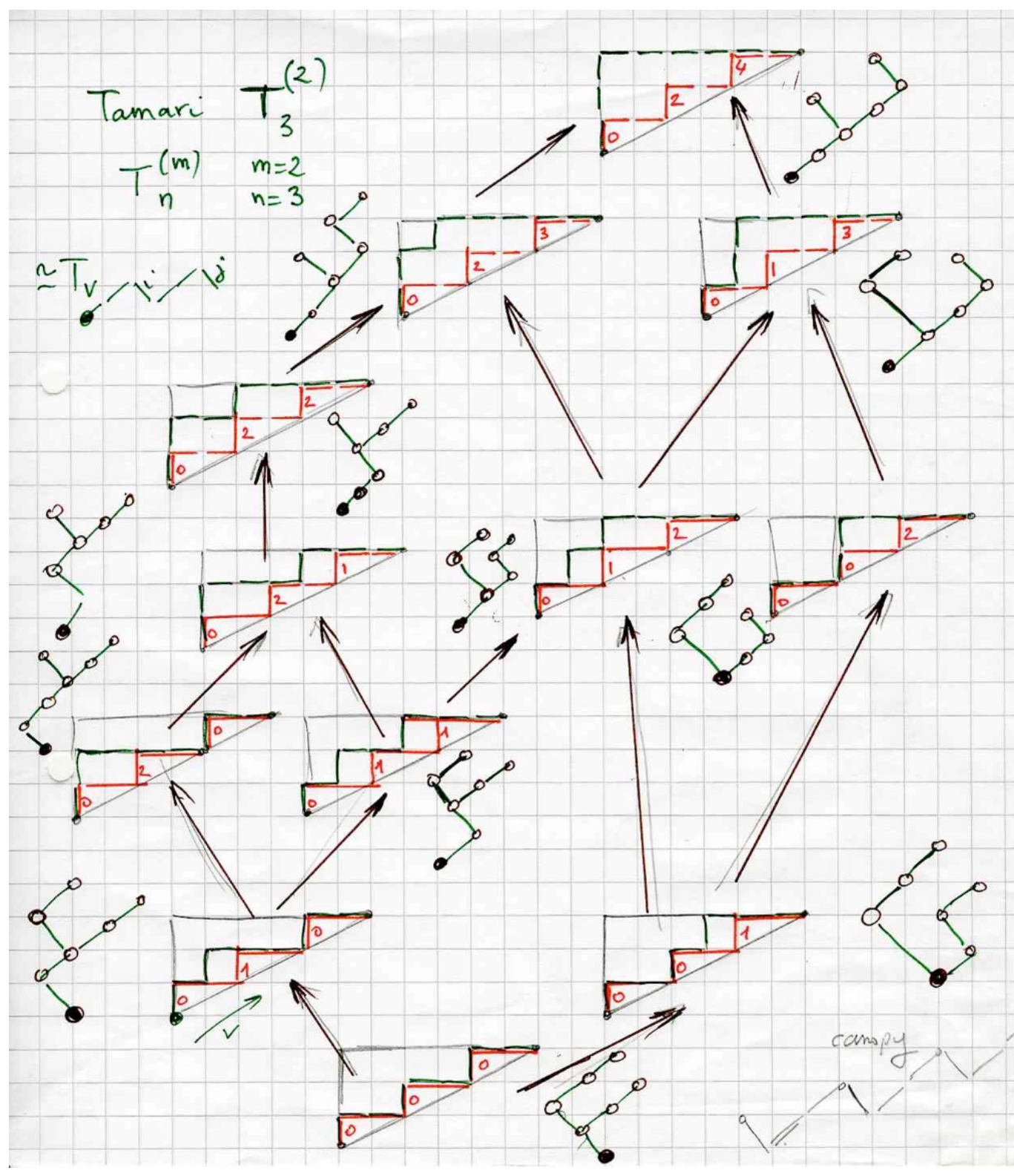


Thm 1. For any path  $v$   
 $T_v$  is a lattice

is a consequence of (ii)

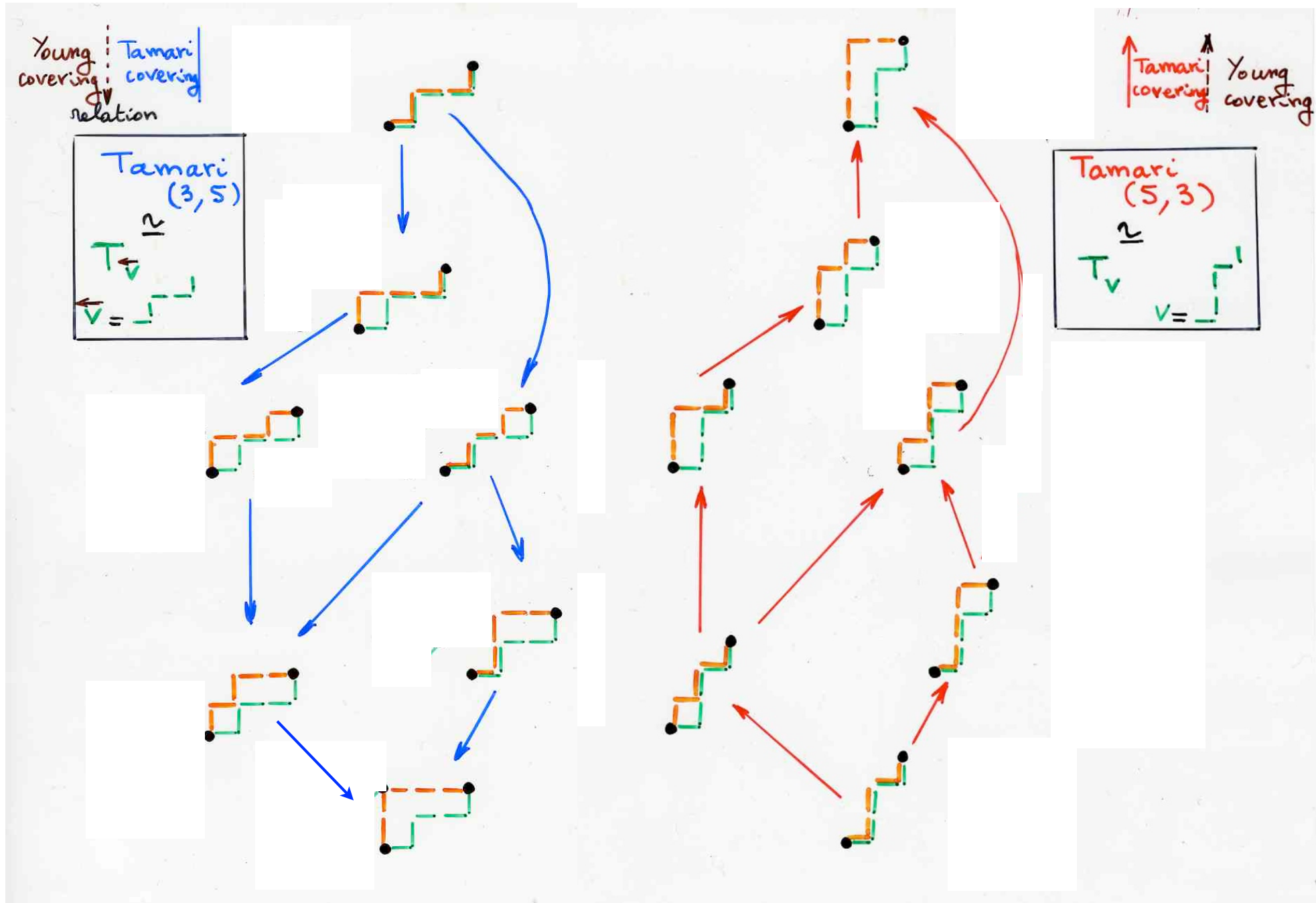
(ii) This interval  $I(v)$  is isomorphic to  $T_v$

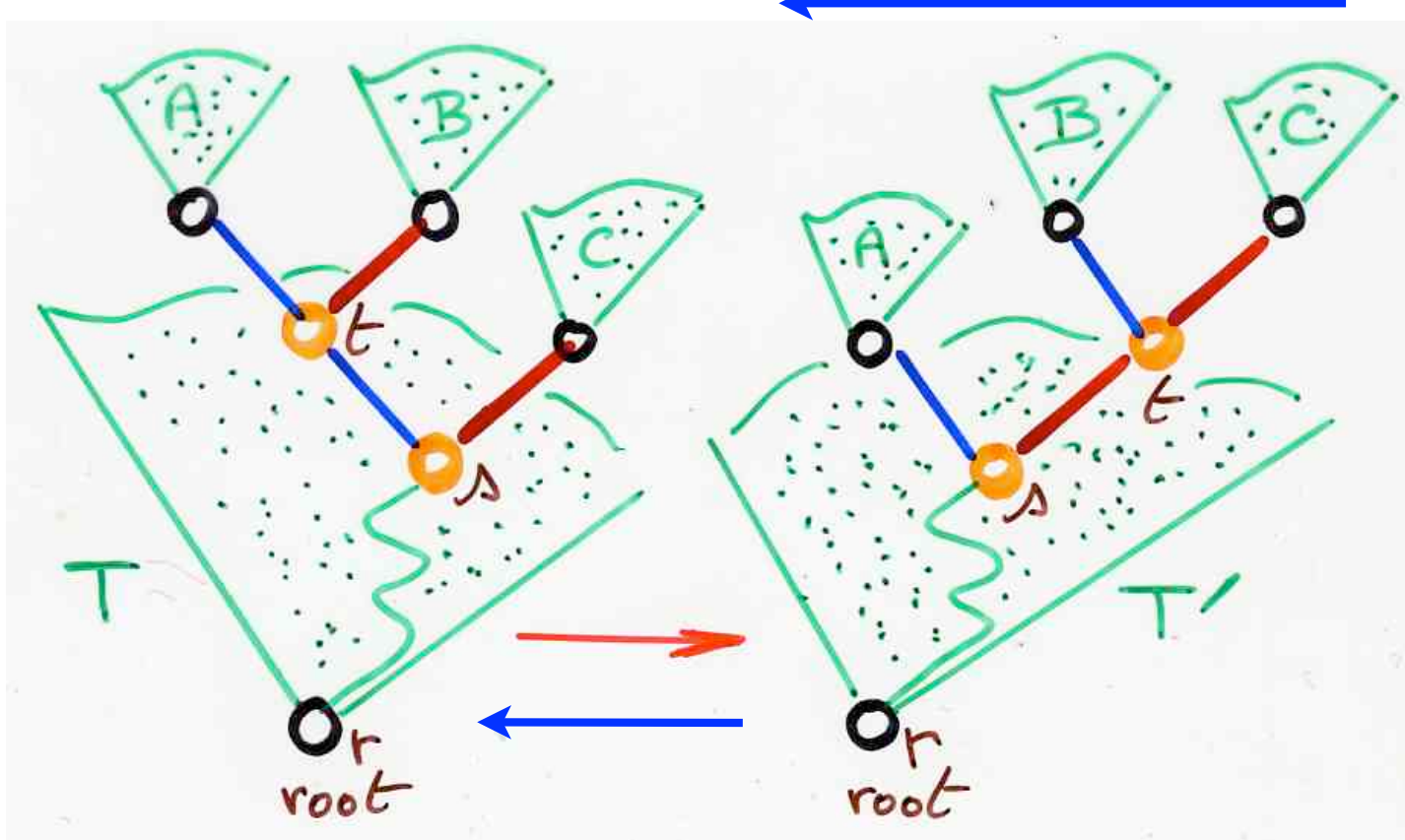




proof of the duality

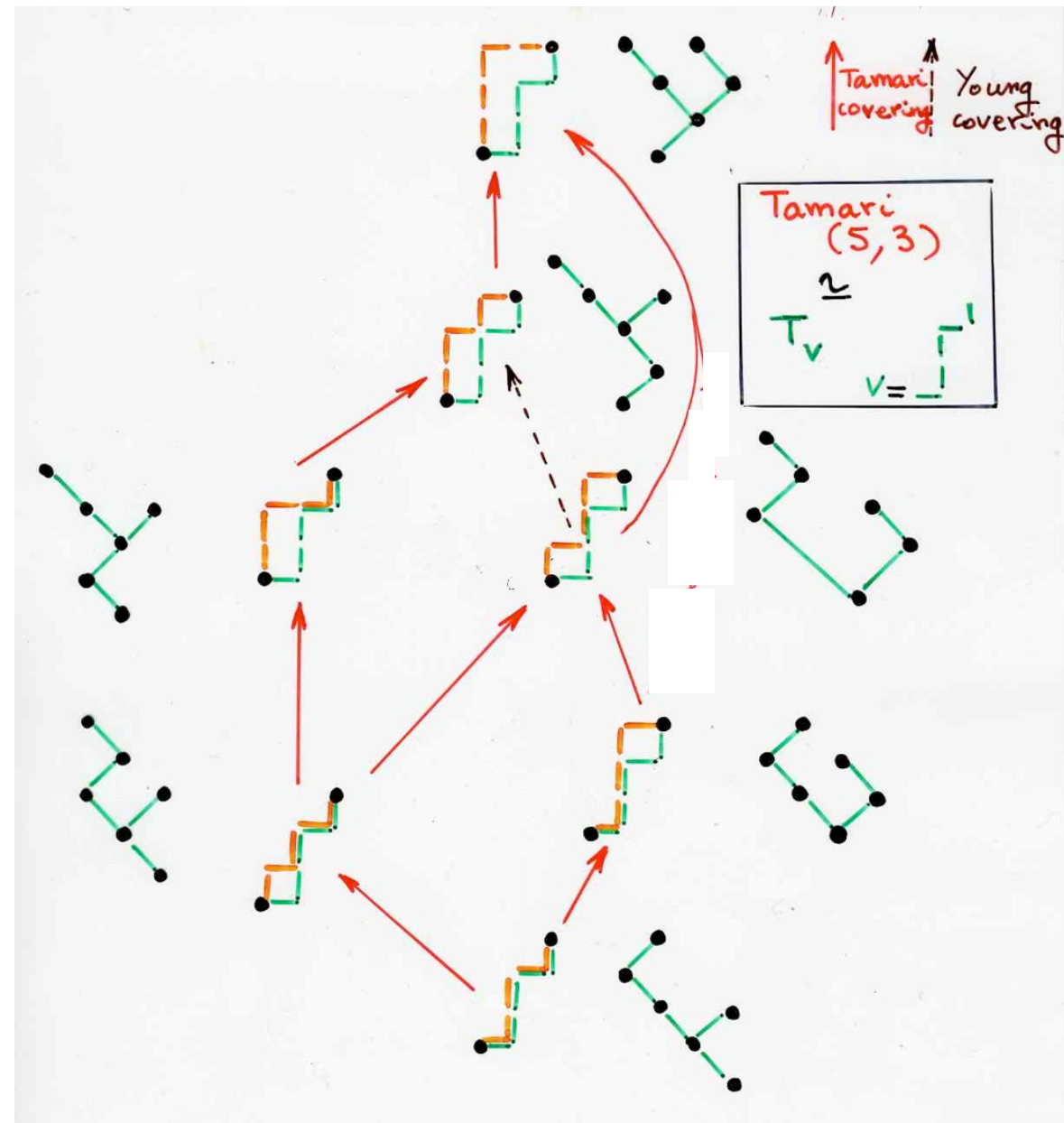
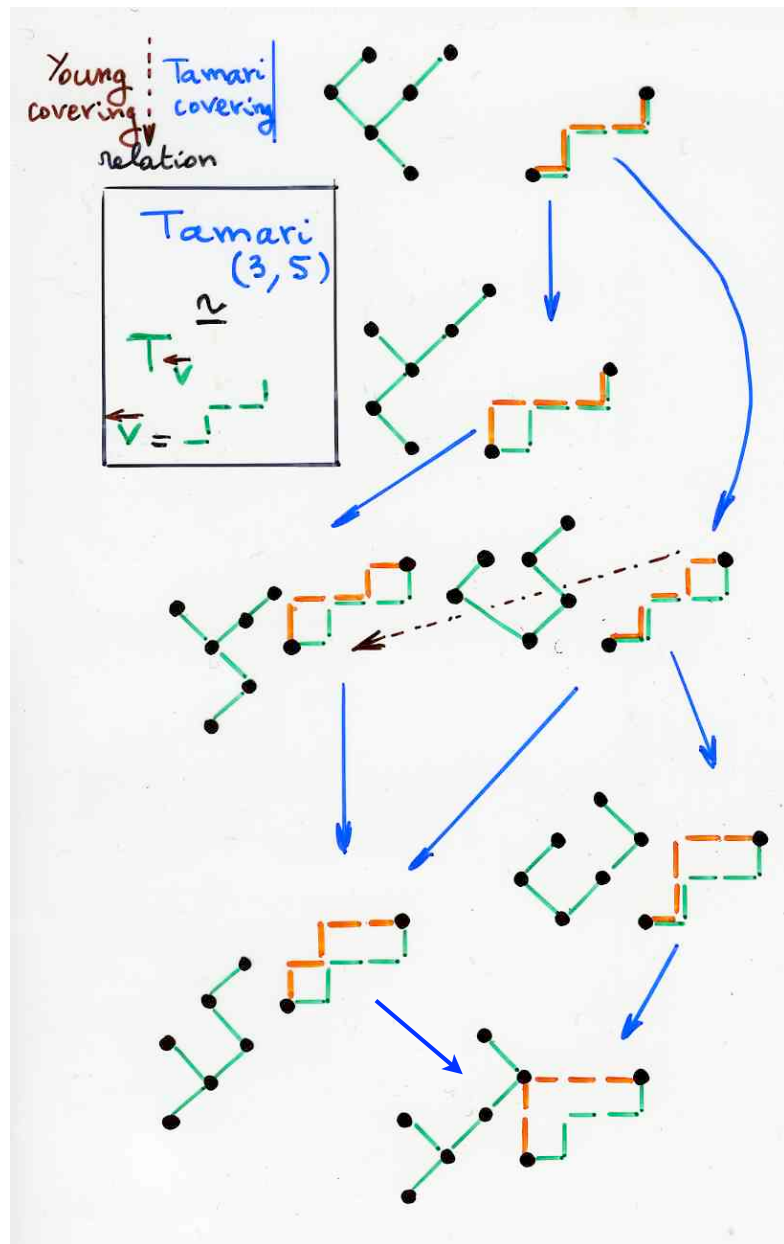
# Duality $T_V \leftrightarrow T_{\check{V}}$

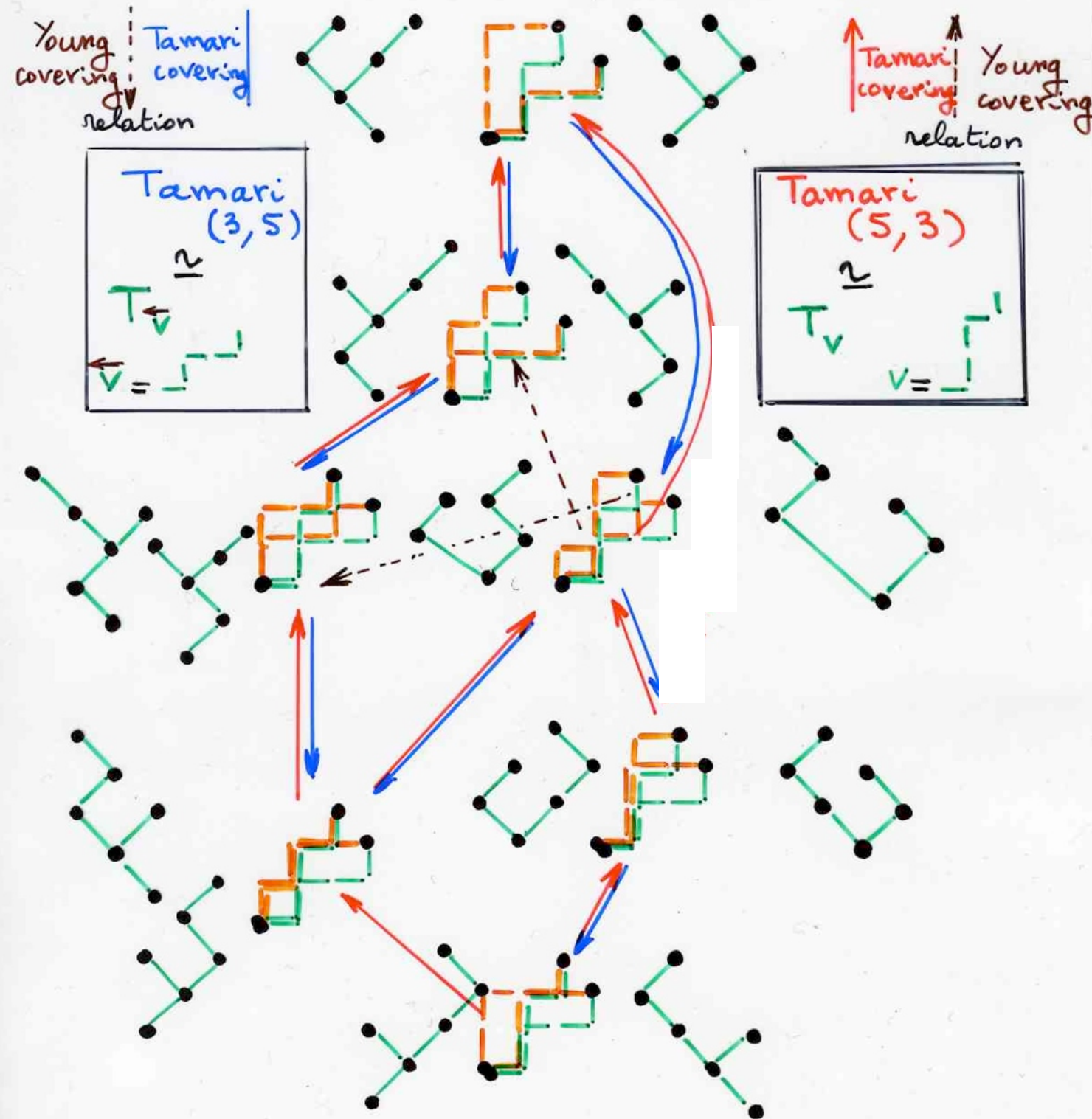




Rotation in a binary tree:  
 the covering relation in the  
 Tamari lattice

# Duality $T_V \leftrightarrow T_{\check{V}}$





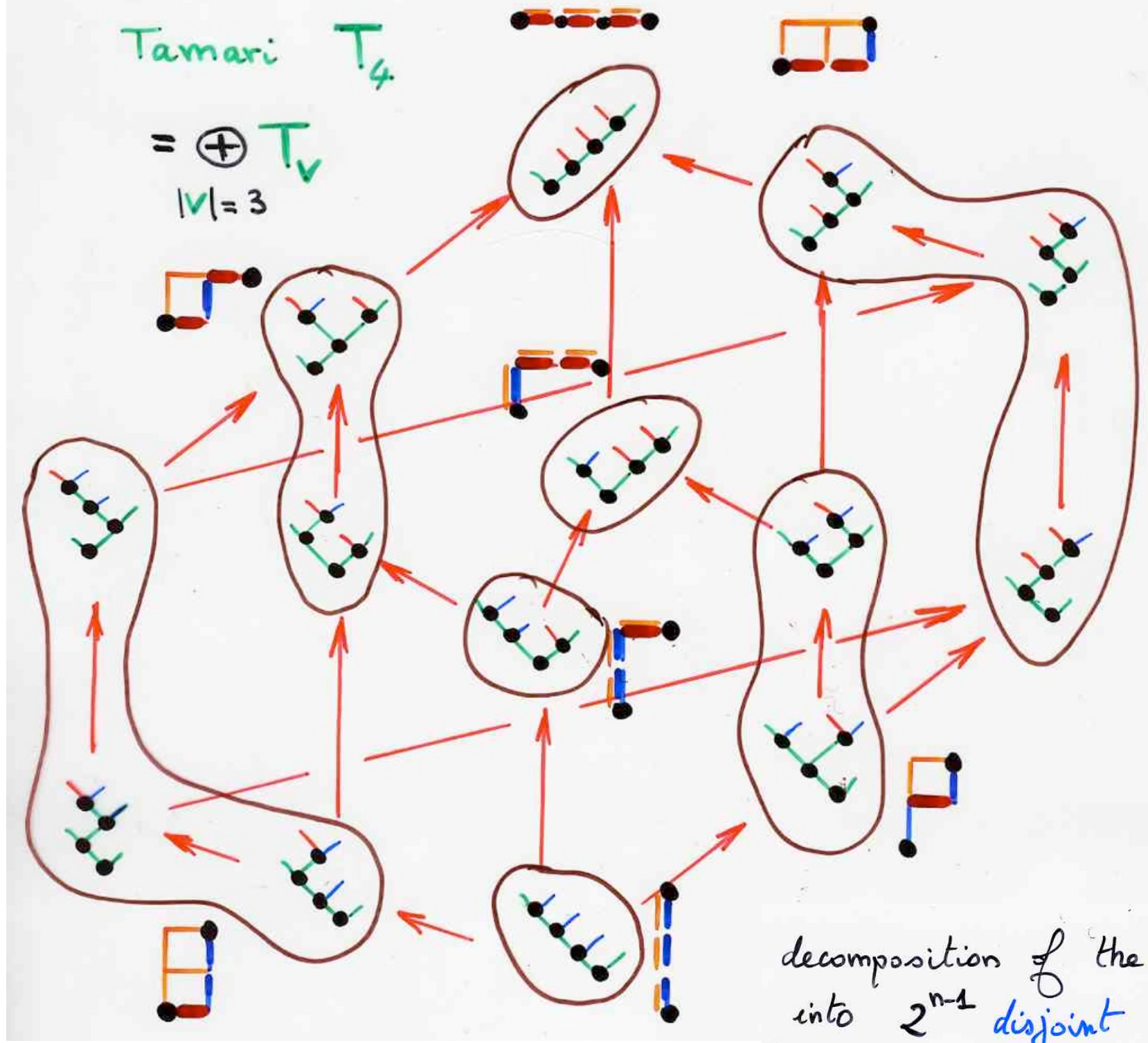
Thm 1. For any path  $v$   
 $T_v$  is a lattice

Thm 2. The lattice  $T_v$   
is isomorphic to the dual of  $T_{\leftarrow}$

Thm 3. The usual Tamari lattice  $T_n$   
can be partitioned into intervals  
indexed by the  $2^{n-1}$  paths  $v$  of  
length  $(n-1)$  with  $\{E, N\}$  steps,

$$T_n \cong \bigcup_{|v|=n-1} I_v,$$

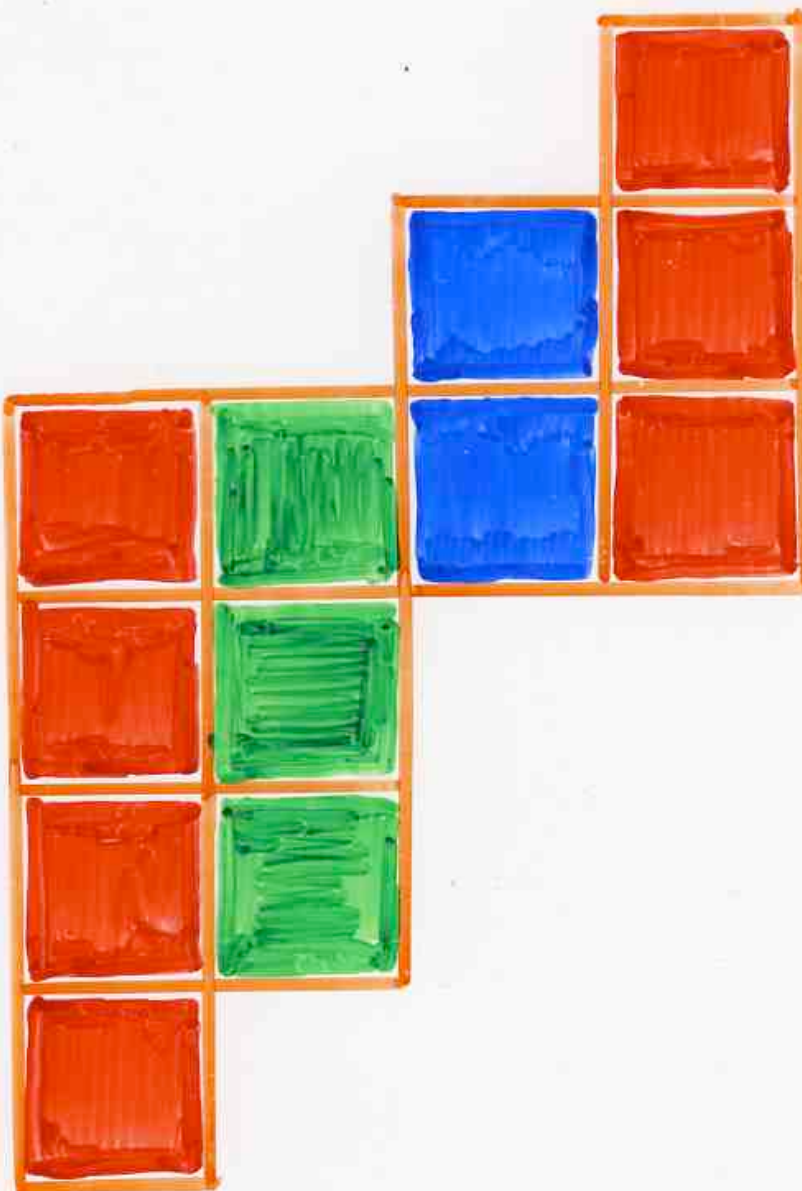
where each  $I_v \cong T_v$ .

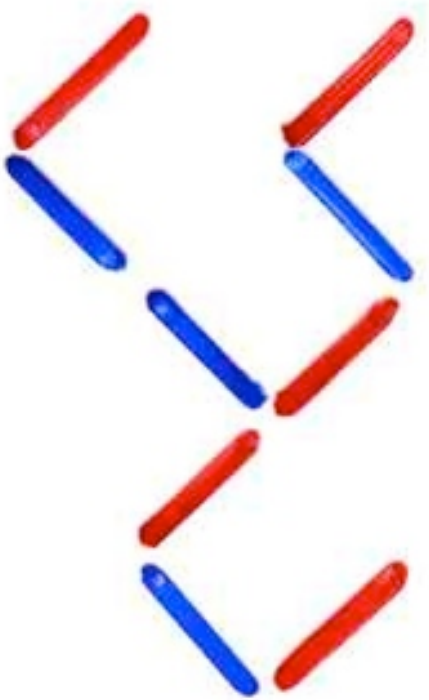


decomposition of the lattice  $T_n$   
 into  $2^{n-1}$  disjoint intervals

# Complements

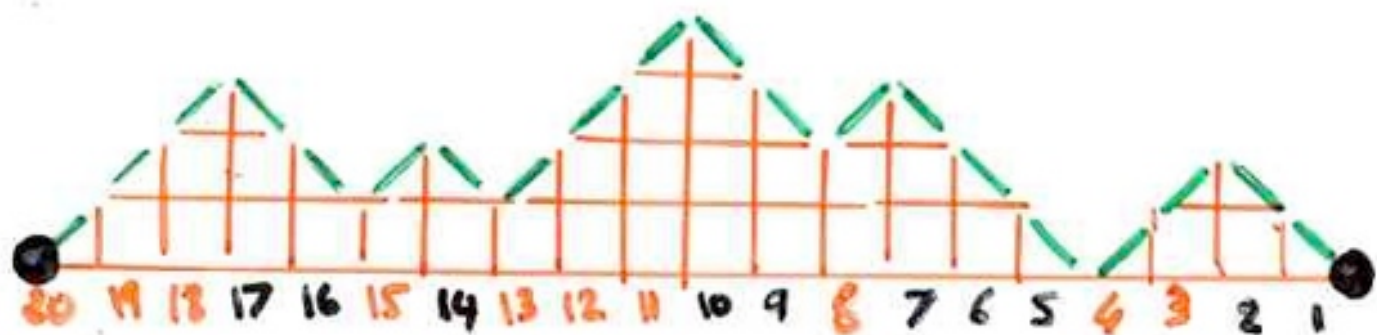
another proof  
with staircase polygons

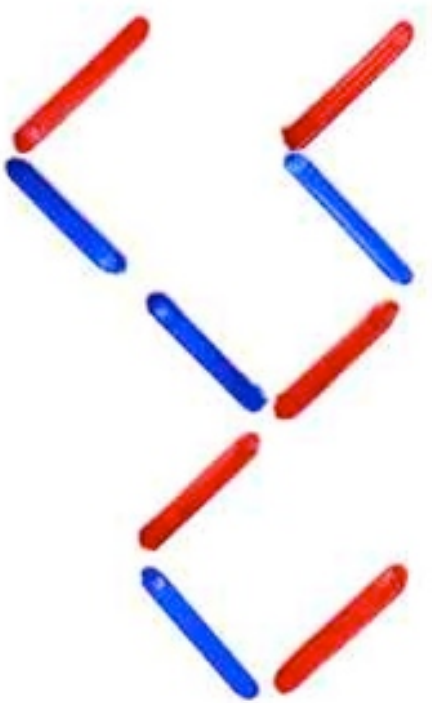




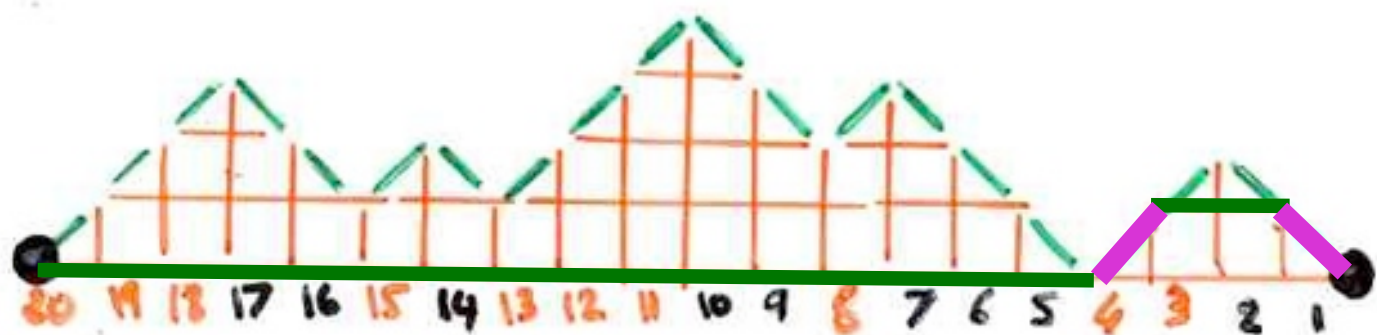
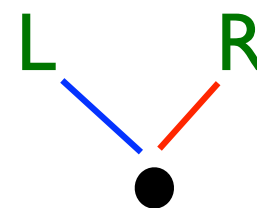
binary  
tree

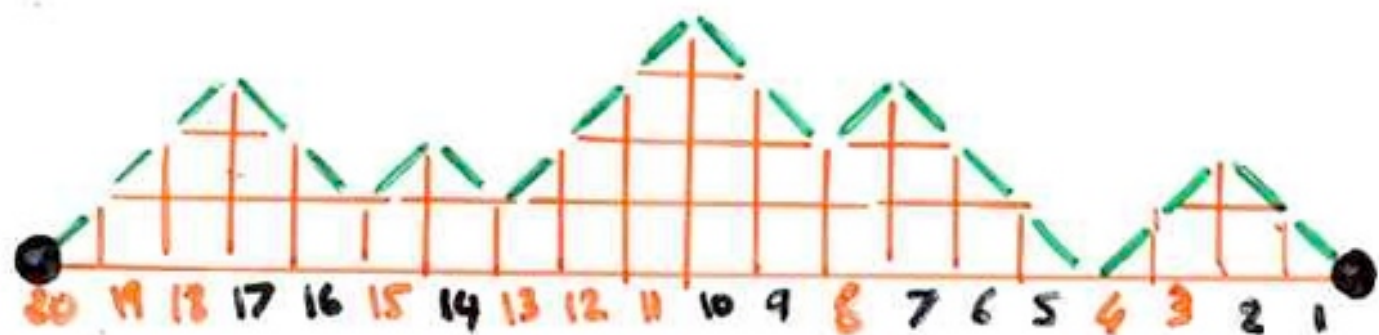
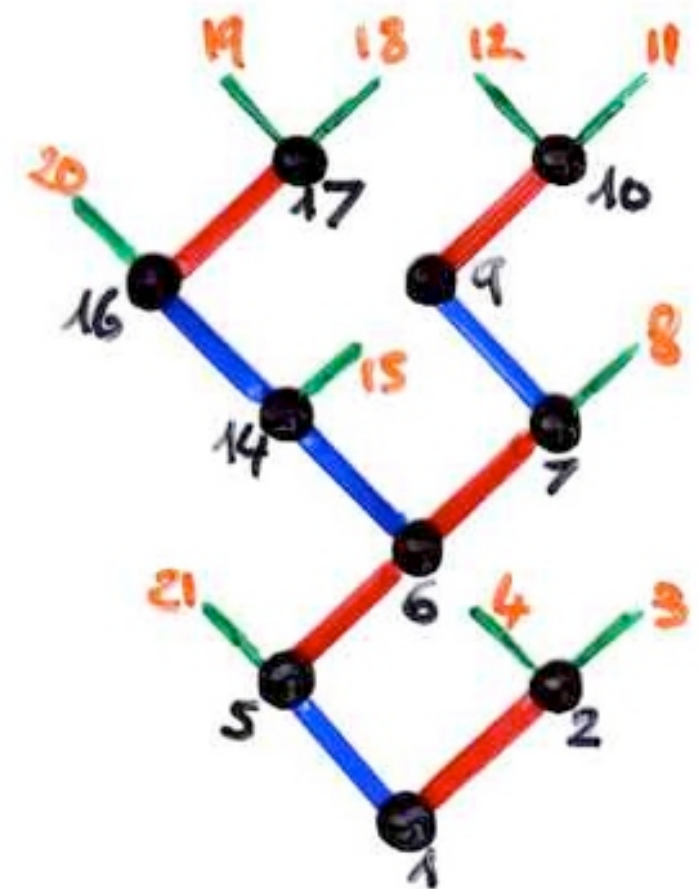
Dyck path

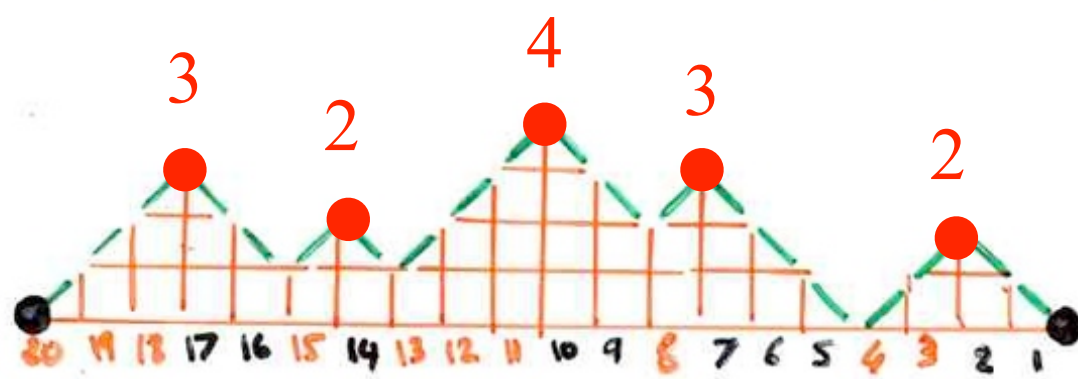
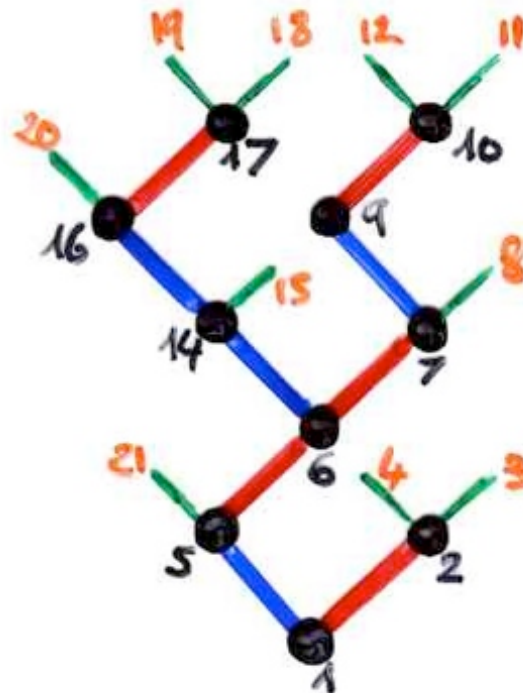


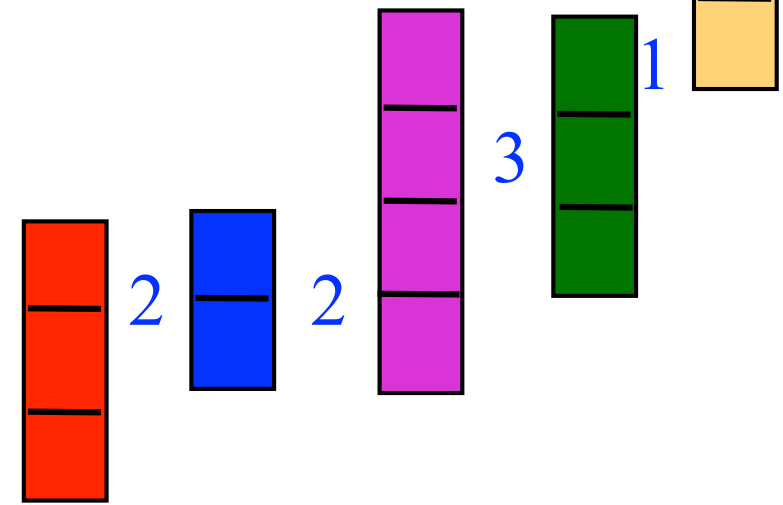
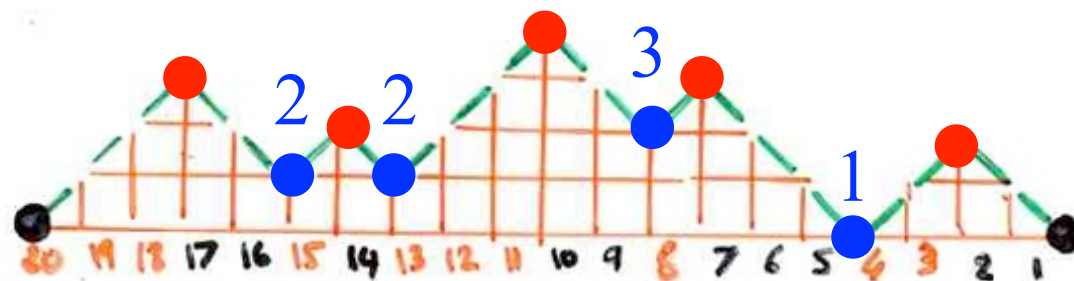
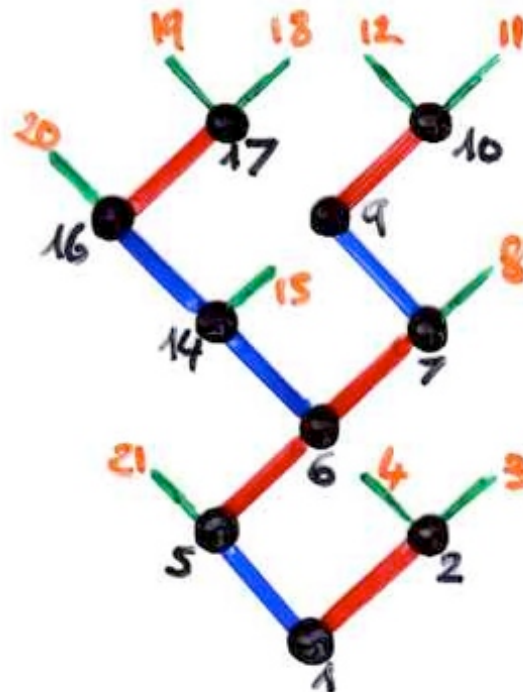


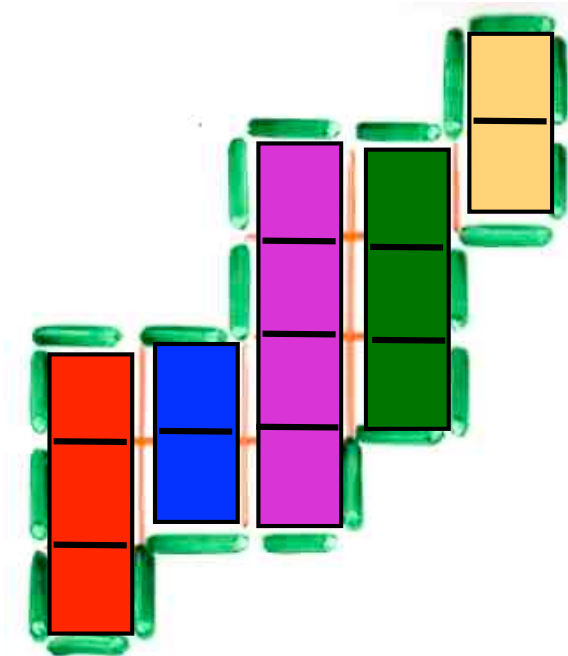
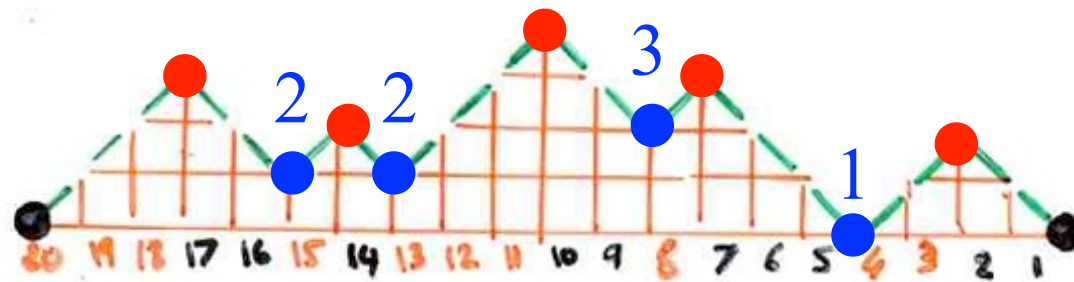
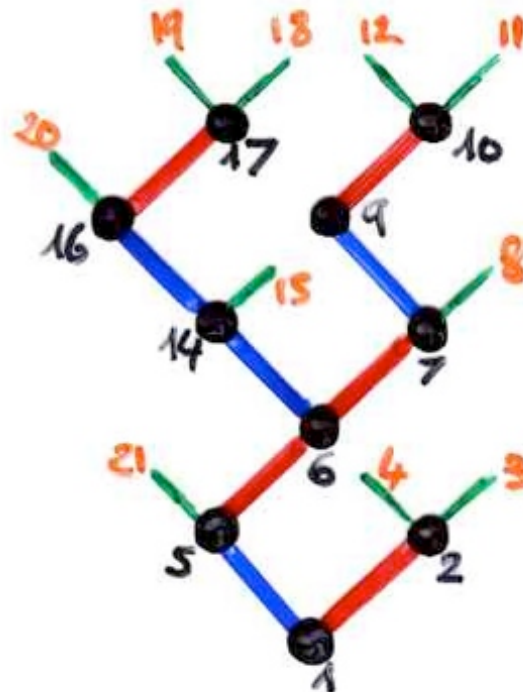
binary  
tree

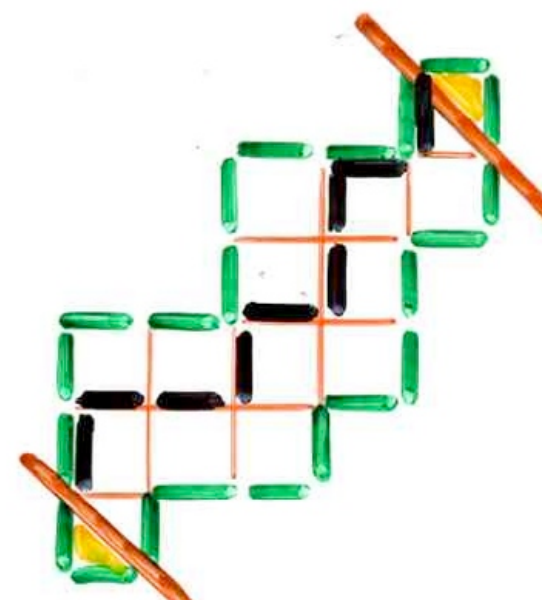
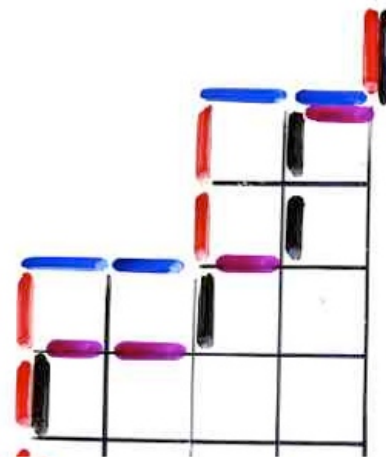
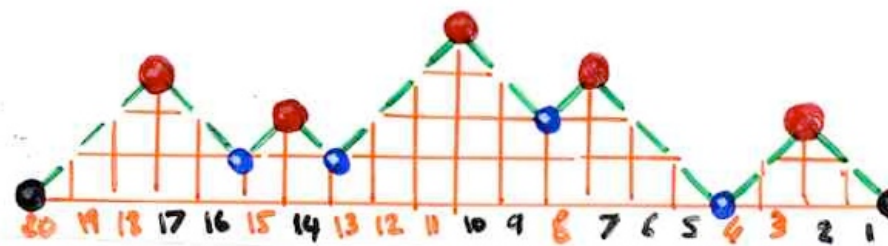
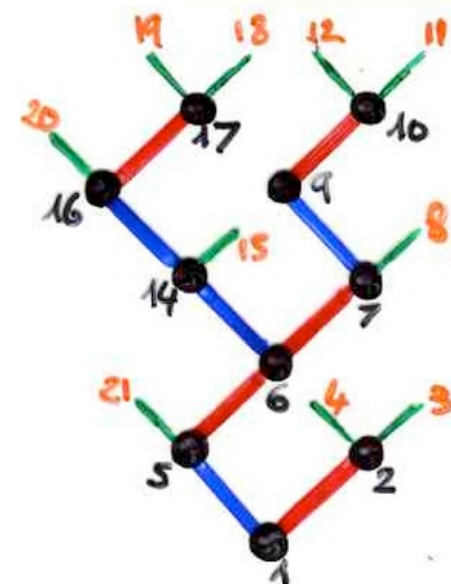




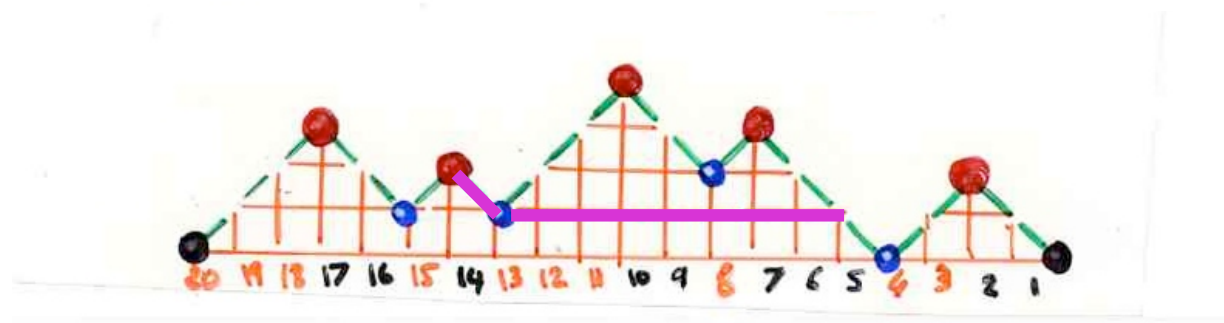


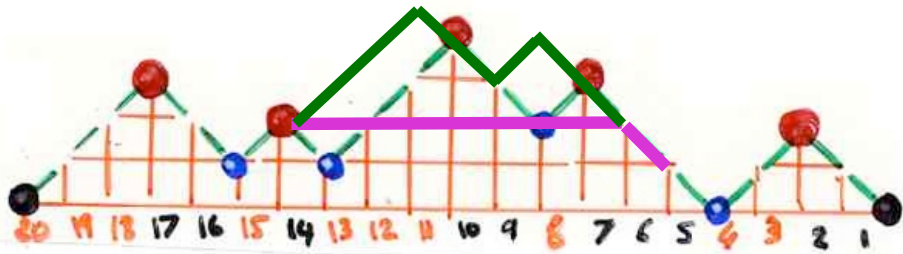






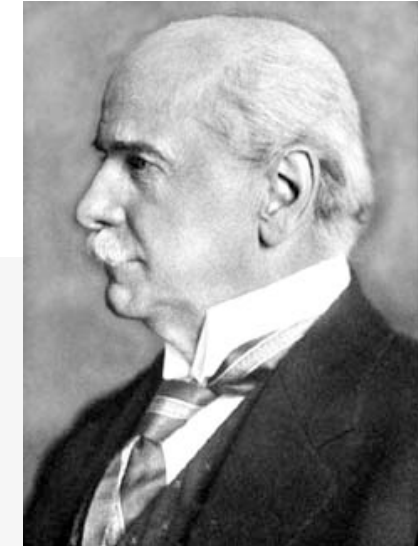
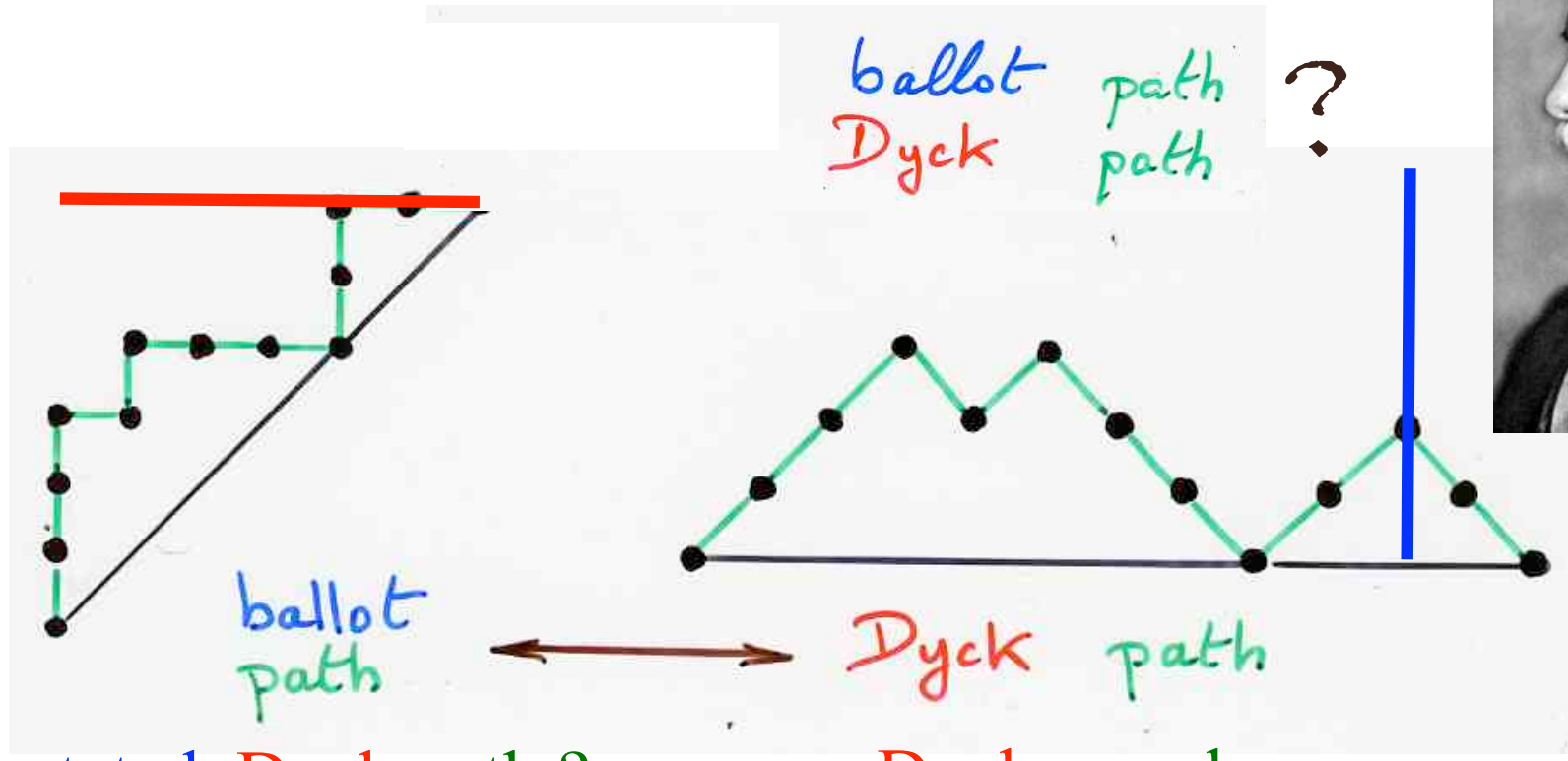
forbidden  
move





# Complements

# Question of vocabulary



Von Dyck

rotated Dyck path ?

Dyck words

Bertrand  
D. André  
problème du scrutin  
(188x)  
ballot numbers

G.Kerweras «bridge»  
D.Dumont «contraction»

$A_{m,-n} =$   
 $\pm \zeta^l \{ A_{0,0} \cdot \zeta^n D_c^{m-n} \cdot \zeta^{l-n-1} - A_{0,1} \cdot \zeta^{n+1} D_c^{m-n-1} \cdot \zeta^{l-n-2} + A_{0,2} \cdot \zeta^{n+2} D_c^{m-n-2} \cdot \zeta^{l-n-3} - \text{etc.} \}$ .  
 D'où il suit que  $A_{m,-n}$  n'est zéro qu'autant que  $m$  est  $< n$ . Ainsi la série récurrente s'étend, sous forme de triangle, dans la quatrième région.

### E X E M P L E V I.

246. Étant donné le commencement de la table suivante, où chaque terme est formé de la somme de celui qui le précède dans la même ligne horizontale et de celui qui le suit d'un rang dans la ligne horizontale immédiatement supérieure, avec la condition que chacun des termes de la première ligne horizontale soit égal à l'unité : on demande le terme général de cette table :

|      |      |      |      |      |      |
|------|------|------|------|------|------|
| 1    | 1    | 1    | 1    | 1    | etc. |
| 1    | 2    | 3    | 4    | 5    | etc. |
| 2    | 5    | 9    | 14   | 20   | etc. |
| 5    | 14   | 28   | 48   | 75   | etc. |
| 14   | 42   | 90   | 165  | 275  | etc. |
| etc. | etc. | etc. | etc. | etc. | etc. |

L'équation de relation est  $A_{m,n} = A_{m-1,n} + A_{m+1,n-1}$ ; j'y mets  $m-1$  au lieu de  $m$ , et elle devient

ballot numbers in 1800 (!)

DU CALCUL  
DES  
DÉRIVATIONS;

PAR L. F. A. ARBOGAST,

De l'Institut national de France, Professeur de  
Mathématiques à Strasbourg.

A STRASBOURG,

DE L'IMPRIMERIE DE LEVRAULT, FRÈRES.

AN VIII (1800).

214

DU CALCUL

Donc on a enfin

$$A_{m,n} = \dots \dots \dots \quad (3)$$

$$\pm \xi^{l-m} \{ A_{0,n} \gamma^m + A_{0,n+1} m \gamma^{m-1} \xi + A_{0,n-2} \frac{m(m-1)}{1 \cdot 2} \gamma^{m-2} \xi^2 \\ + \text{etc.} + A_{0,n+m-1} m \gamma^{m-1} + A_{0,n+m} \xi^m \},$$

le signe supérieur ou inférieur ayant lieu suivant que  $m$  est pair ou impair.  
Ce résultat s'accorde avec celui que l'on peut déduire d'une solution différente du même exemple, donnée par LAPLACE dans les mémoires de Paris, année 1779, n.<sup>o</sup> XVII, page 267.

Si l'on fait  $n$  négatif dans la formule (1) ci-dessus, on trouve, en rejetant les termes et celles de leurs parties où les indices de  $\alpha$  sont négatifs et ceux de  $\beta$  négatifs ou positifs  $> 0$ , que cette formule se réduit à la suivante :

$$A_{m,-n} = \dots \dots \dots \quad (4)$$

$$\pm \xi^l \{ A_{0,0} \beta^m (\alpha^n \cdot \xi^{l-n-1}) - A_{0,1} \beta^m (\alpha^{n+1} \cdot \xi^{l-n-2}) + A_{0,2} \beta^m (\alpha^{n+2} \cdot \xi^{l-n-3}) - \text{etc.} \}$$

laquelle, à cause que  $\alpha = 0$  et que sa seule dérivée  $\alpha'$  est  $\xi$ , devient

$$A_{m,-n} = \dots \dots \dots \quad (5)$$

$\pm \xi^l \{ A_{0,0} \xi^n \beta^{m-n} \cdot \xi^{l-n-1} - A_{0,1} \xi^n + 1 \beta^{m-n-1} \xi^{l-n-2} + A_{0,2} \xi^n + 2 \beta^{m-n-2} \xi^{l-n-3} - \text{etc.} \}.$

D'où il suit que  $A_{m,-n}$  n'est zéro qu'autant que  $m$  est  $< n$ . Ainsi la série récurrente s'étend, sous forme de triangle, dans la quatrième région.

EXAMPLE VI.

246. Étant donné le commencement de la table suivante, où chaque terme est formé de la somme de celui qui le précède dans la même ligne horizontale et de celui qui le suit d'un rang dans la ligne horizontale immédiatement supérieure, avec la condition que chacun des termes de la première ligne horizontale soit égal à l'unité : on demande le terme général de cette table :

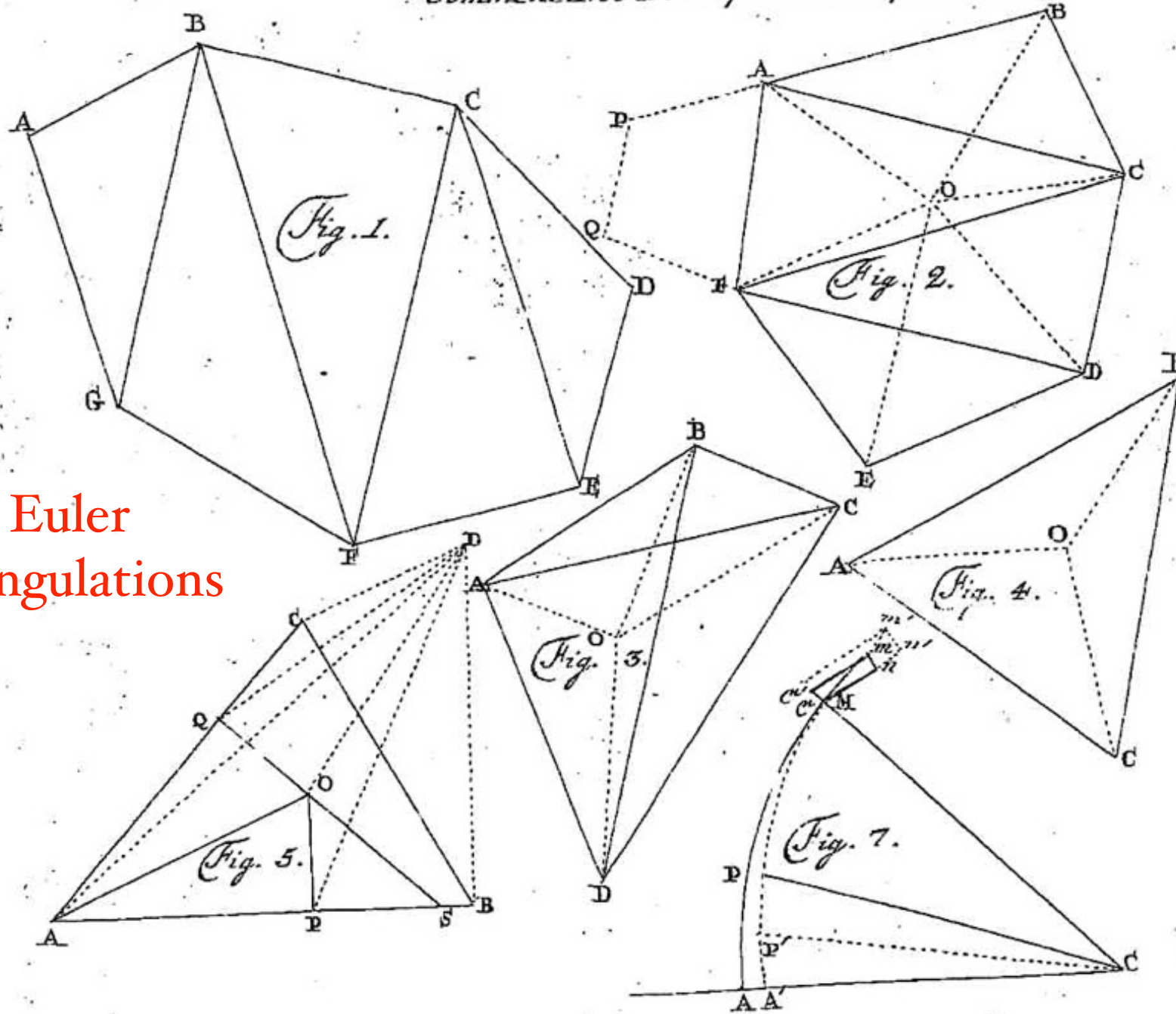
|      |      |      |      |      |      |
|------|------|------|------|------|------|
| 1    | 1    | 1    | 1    | 1    | etc. |
| 1    | 2    | 3    | 4    | 5    | etc. |
| 2    | 5    | 9    | 14   | 20   | etc. |
| 5    | 14   | 28   | 48   | 75   | etc. |
| 14   | 42   | 90   | 165  | 275  | etc. |
| etc. | etc. | etc. | etc. | etc. | etc. |

L'équation de relation est  $A_{m,n} = A_{m-1,n} + A_{m+1,n-1}$ ; j'y mets  $m-1$  au lieu de  $m$ , et elle devient

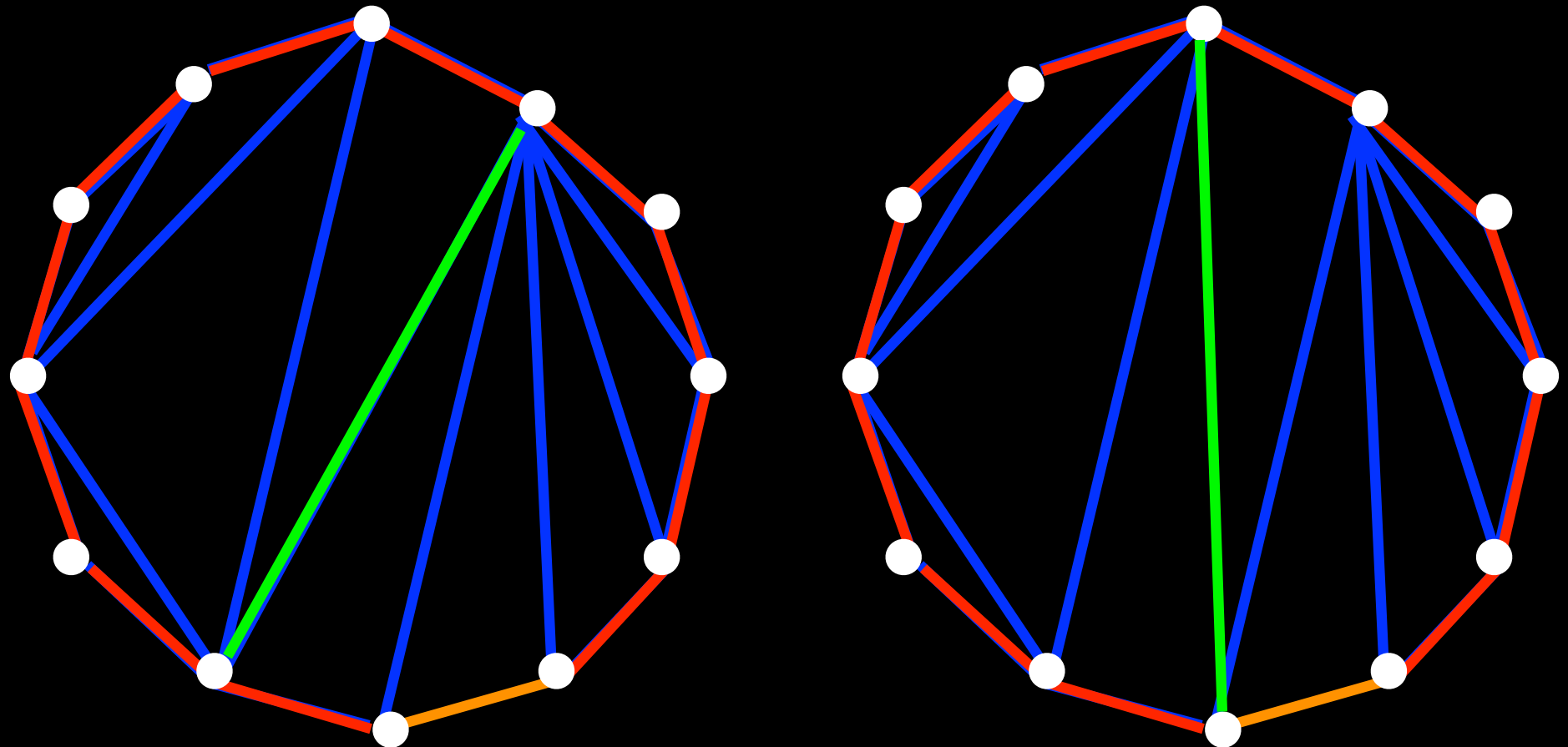
ballot numbers in 1800 (!)



Euler  
triangulations



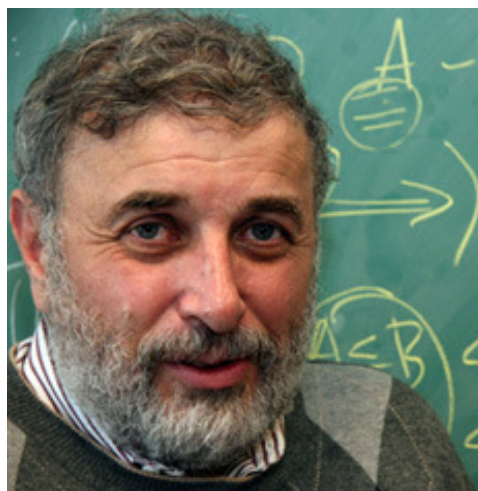
another way to define the associahedron



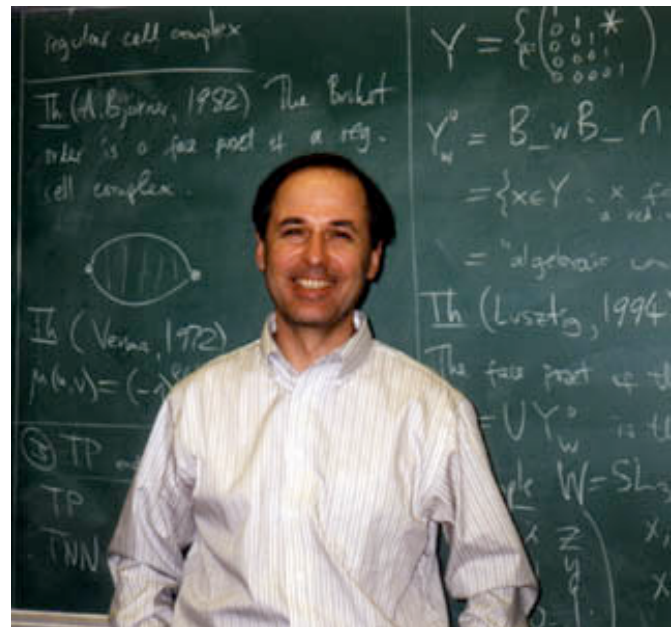
flip in triangulation

pedagogical introduction to .....

# root systems cluster algebras



$$\begin{aligned}
 & A - B = B - A \\
 \Rightarrow & A - B = B - A \\
 \Downarrow & \\
 \Delta \subset B & \Leftrightarrow A - B = \emptyset \\
 \Leftrightarrow & B - A = \emptyset
 \end{aligned}$$



## associahedron

# algebraic structures Hopf algebra

descent  
algebra

dim

$$2^{n-1}$$

Loday-Ronco  
algebra

$$C_n$$

Catalan

Reutenauer-  
Malvenuto  
algebra

$$n!$$

hypercube

Boolean lattice  
inclusion

associahedron



Tamari  
order

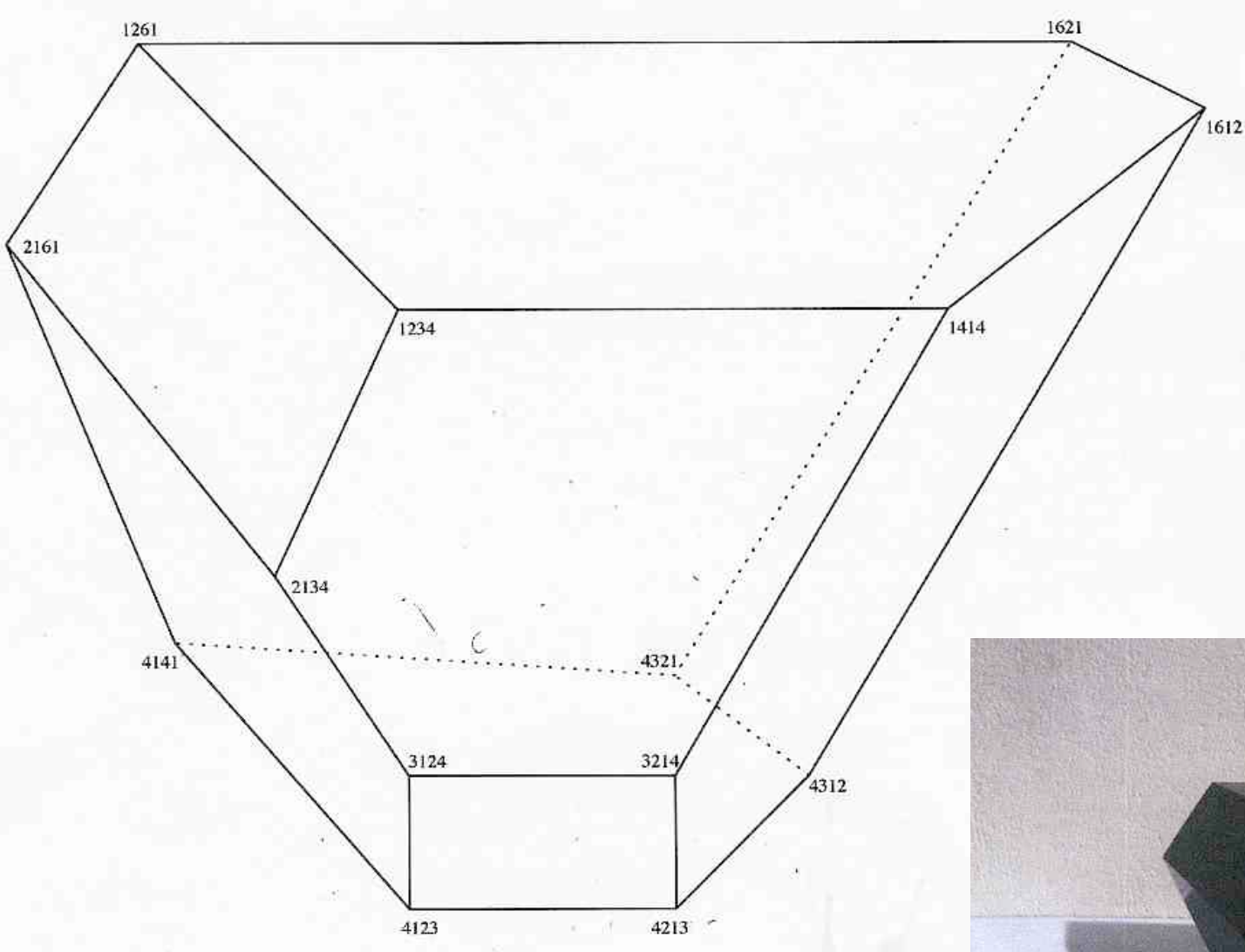
permutohedron

weak Bruhat  
order



J.-L.Loday, M. Ronco

(1998, 2012)



associahedron



$$(\alpha < \gamma) < z = \alpha < (\gamma * z)$$

$$(\alpha > \gamma) < z = \alpha > (\gamma < z)$$

$$(\alpha * \gamma) > z = \alpha > (\gamma > z)$$



Jean-louis Loday  
(1946 - 2012)

C. Hohlweg, C. Lange (2007)

F. Chapoton, S. Fomin, A. Zelevinsky (2002)

## extensions :

C. Ceballos

V. Pilaud

N. Reading

R. Marsh

D. Speyer

J.-P. Labb 

N. Bergeron

H. Thomas

M. Reinke

J. Stella

C. Stump

F. Santos

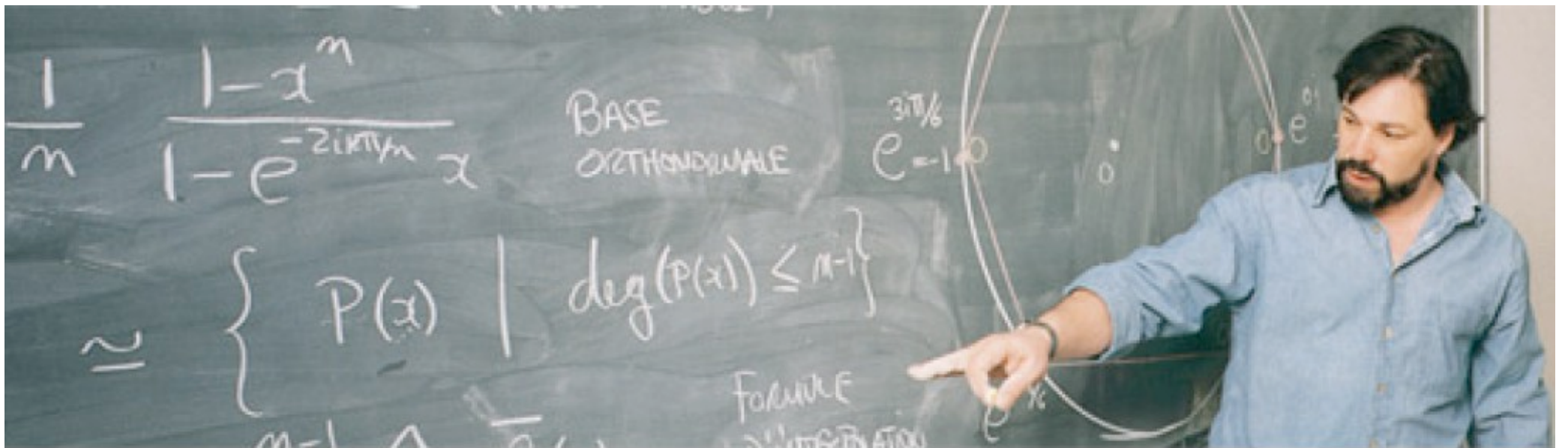
A. Postnikov

C. Athanasiadis

G. Ziegler

Gil Kalai

and many others ...



François Bergeron



diagonal  
coinvariant  
spaces

Adriano Garsia

$X = (x_{i,j})_{\substack{1 \leq i \leq k \\ 1 \leq j \leq n}}$  matrix of variables

$\sigma \in S_n$  symmetric group

$\sigma(X) = (x_{i, \sigma(j)})_{\substack{1 \leq i \leq k \\ 1 \leq j \leq n}}$  action on  $\mathbb{C}[X]$

diagonal coinvariant spaces

$$DR_{k,n} = \mathbb{C}[X]/J$$

higher diagonal coinvariant spaces

$$DR_{k,n}^m = E^{m-1} \otimes A^{m-1}/JA^{m-1} \text{ alternants}$$

$DR_{k,n}^{m,E}$  subspace of alternants

$k=1$

classical

$k=2$

Garsia, Haiman

→ Macdonald polynomials

$DR_{2,n}^m \in$

$DR_{2,n}^m$

$$\text{dimension } \frac{1}{(m+1)^{n+1}} \binom{(m+1)n+1}{mn}$$

$$(mn+1)^{n-1}$$

$m$ -ballot  
paths

$m$ -parking  
functions

$DR_{2,n}^m$

20 years of studies

$m$ -shuffle conjecture

Frobenius series  $(q, t)$  sum on  
 $m$ -parking  
(area  
dinv)

$k=3$  Haiman (conjecture) 1990

DR<sub>3,n</sub><sup>E</sup>

DR<sub>3,n</sub>

dimension  $\frac{2}{n(n+1)} \binom{4n+1}{n-1}^{n-2}$   $2^n (n+1)^{n-2}$

Chapoton  
(2006)  
number of interval  
Tamari<sub>n</sub>

F. Bergeron (2008) introduced the m-Tamari lattice

conjecture  $\frac{m+1}{n(mn+1)} \binom{(m+1)^2 n + m}{n-1}^{n-2}$   $(m+1)^n (mn+1)^{n-2}$

nb of intervals nb of labelled intervals

Hikita, Armstrong  
paths and parking functions  
above the line  $(0,0) \xrightarrow{(p,q)} p, q$  relatively prime integers

Armstrong, Garcia, Haglund, Heimann, Hicks,  
Lee, Li, Loehr, Morse, Remmel, Rhoades,  
Stout, Xin, Wauington, Zabrocki, ---.  
+ -----

This work was done at Universidad de Talca, Chile  
at the invitation of Luc Lapointe,  
and in the various following places

Constitution  
Isla Negra  
Viña del Mar  
Valparaiso



Luc Lapointe

UNIVERSIDAD  
DE TALCA



La Universidad  
de Los mejores

[www.utalca.cl](http://www.utalca.cl)





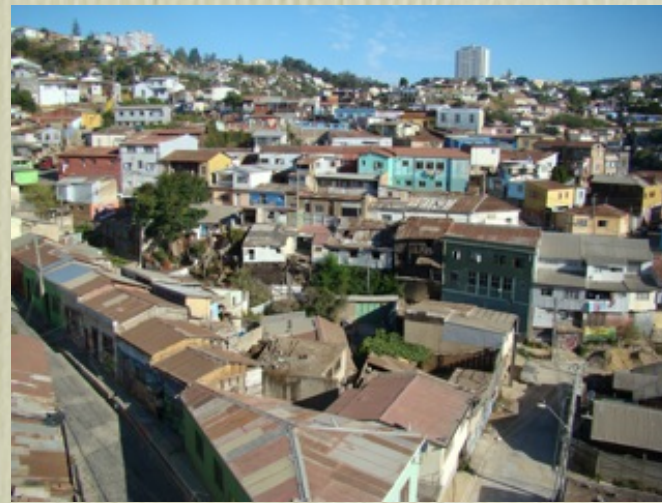
## From Talca to Constitution



Maule valley



## workshop in Valparaiso



# Viña del Mar

(close to Valaparaiso)





## Isla Negra Pablo Neruda

Oda al vino

vino color de día,  
vino color de noche,  
vino con pies de  
púrpura o sangre  
de topacio,  
vino, estrellado hijo  
de la Tierra, vino...



¡ muchas gracias !

